

Neruda, Petr

Obrázky

In: Neruda, Petr. *Střední paleolit v moravských jeskyních*. Měřínský, Zdeněk (editor); Klápště, Jan (editor). 1. vyd. Brno: Masarykova univerzita, 2011, pp. 113-169

ISBN 9788021054448

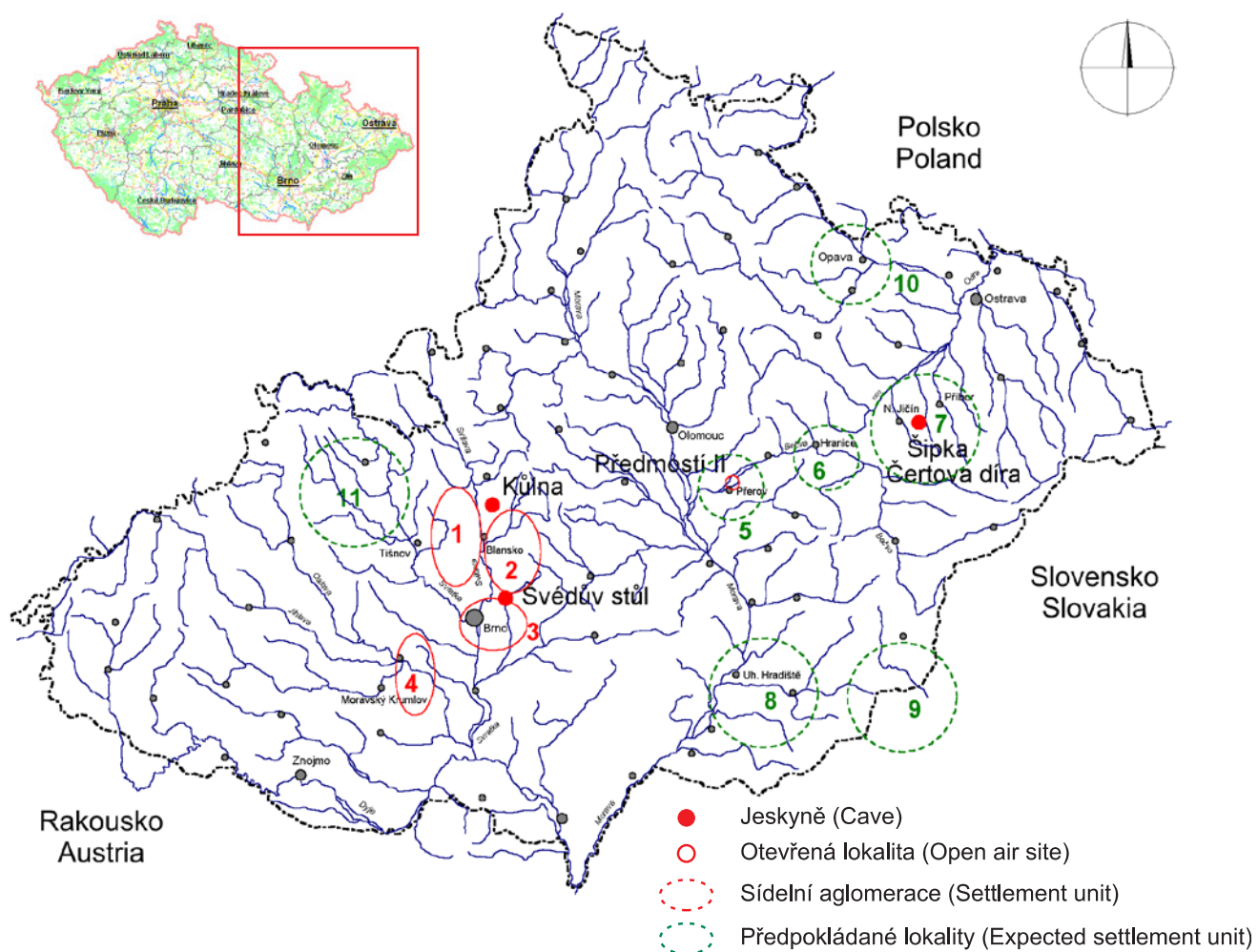
Stable URL (handle): <https://hdl.handle.net/11222.digilib/127586>

Access Date: 19. 02. 2024

Version: 20220831

Terms of use: Digital Library of the Faculty of Arts, Masaryk University provides access to digitized documents strictly for personal use, unless otherwise specified.

OBRÁZKY / FIGURES



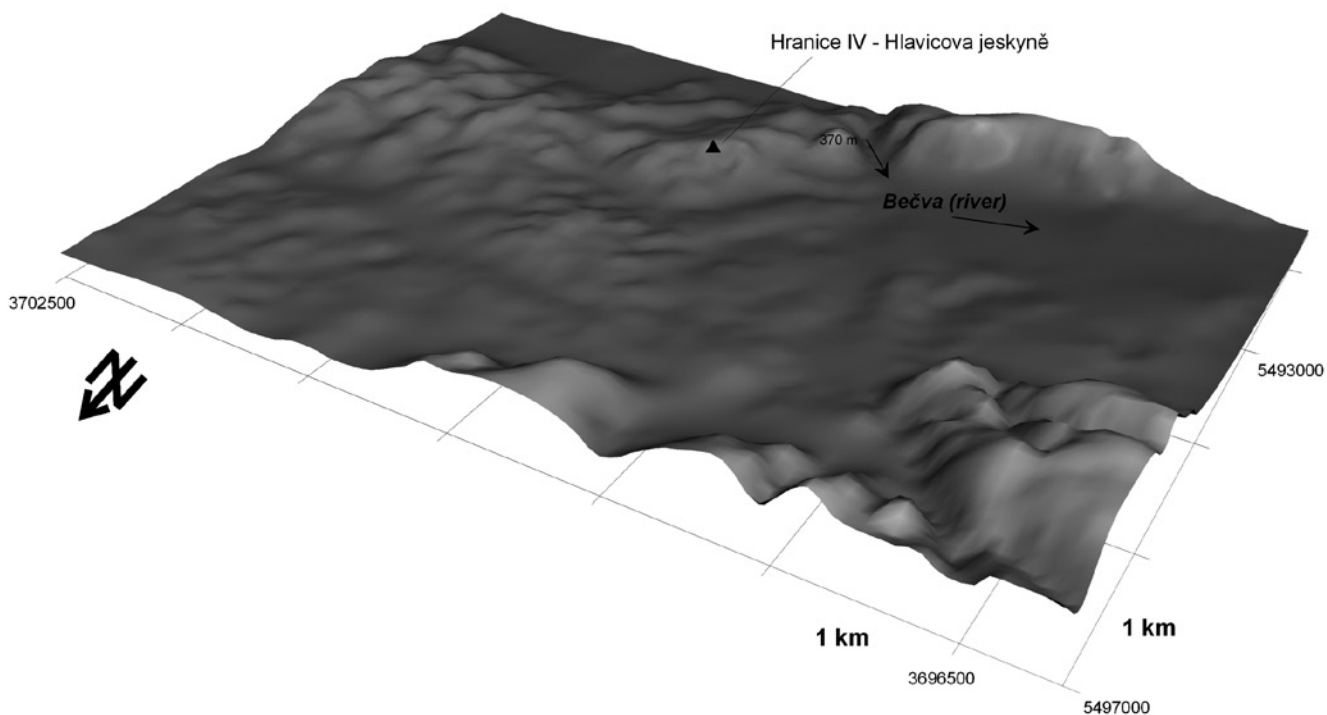
Obr. 1. Středopaleolitické osídlení Moravy.
Fig. 1. Middle Palaeolithic sites in Moravia.



Obr. 2. Poloha jeskyní se středopaleolitickými nálezy v Moravském krasu.

Fig. 2. Locations of caves with Middle Palaeolithic artefacts in the Moravian Karst region.

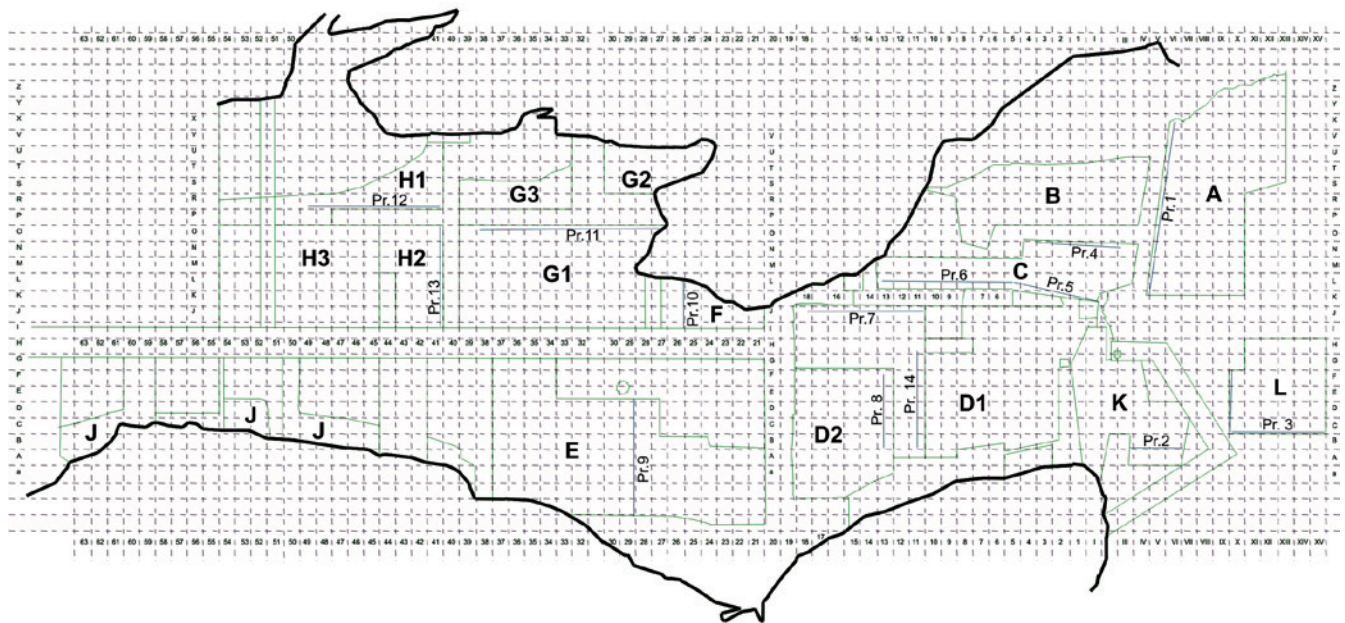
1 – Kůlna, 2 – Balcarka, 3 – Výpustek, 4 – Drátenická, 5 – Švédův stůl, 6 – Pekárna.



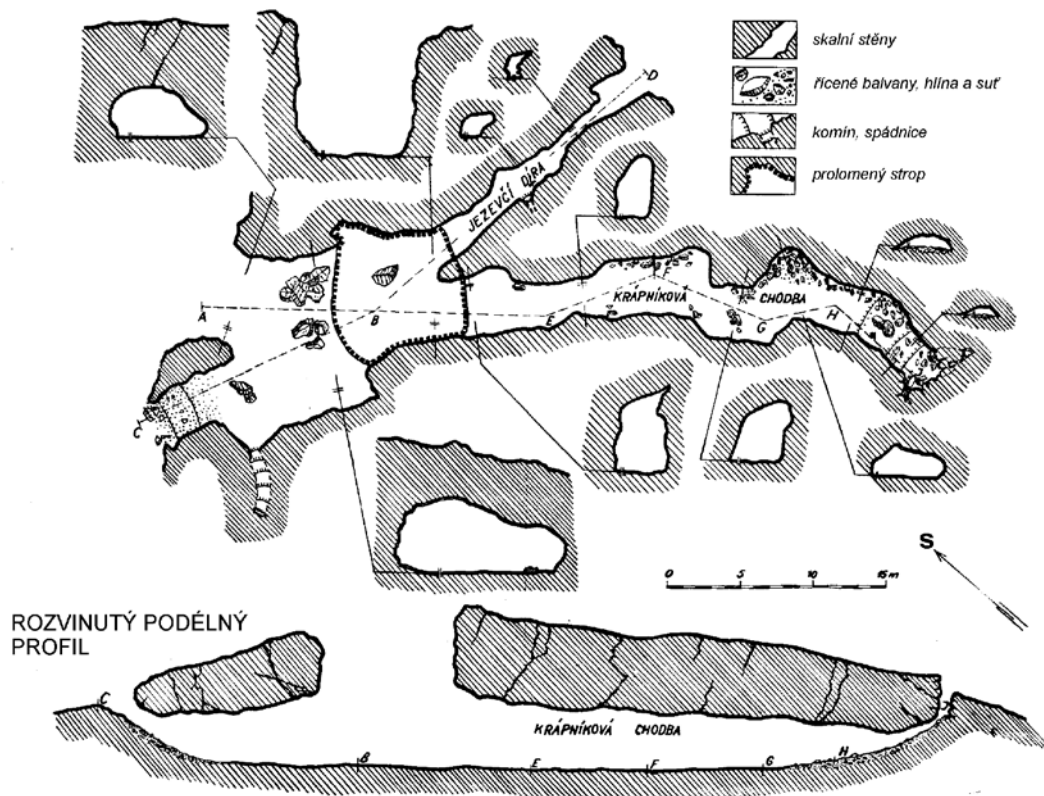
Obr. 3. Pravděpodobná poloha dnes neexistující Hlavicevy jeskyně v oblasti Hranic na Moravě.
 Fig. 3. Probable position of the “Hlaviceva” Cave in the Hranice na Moravě region.



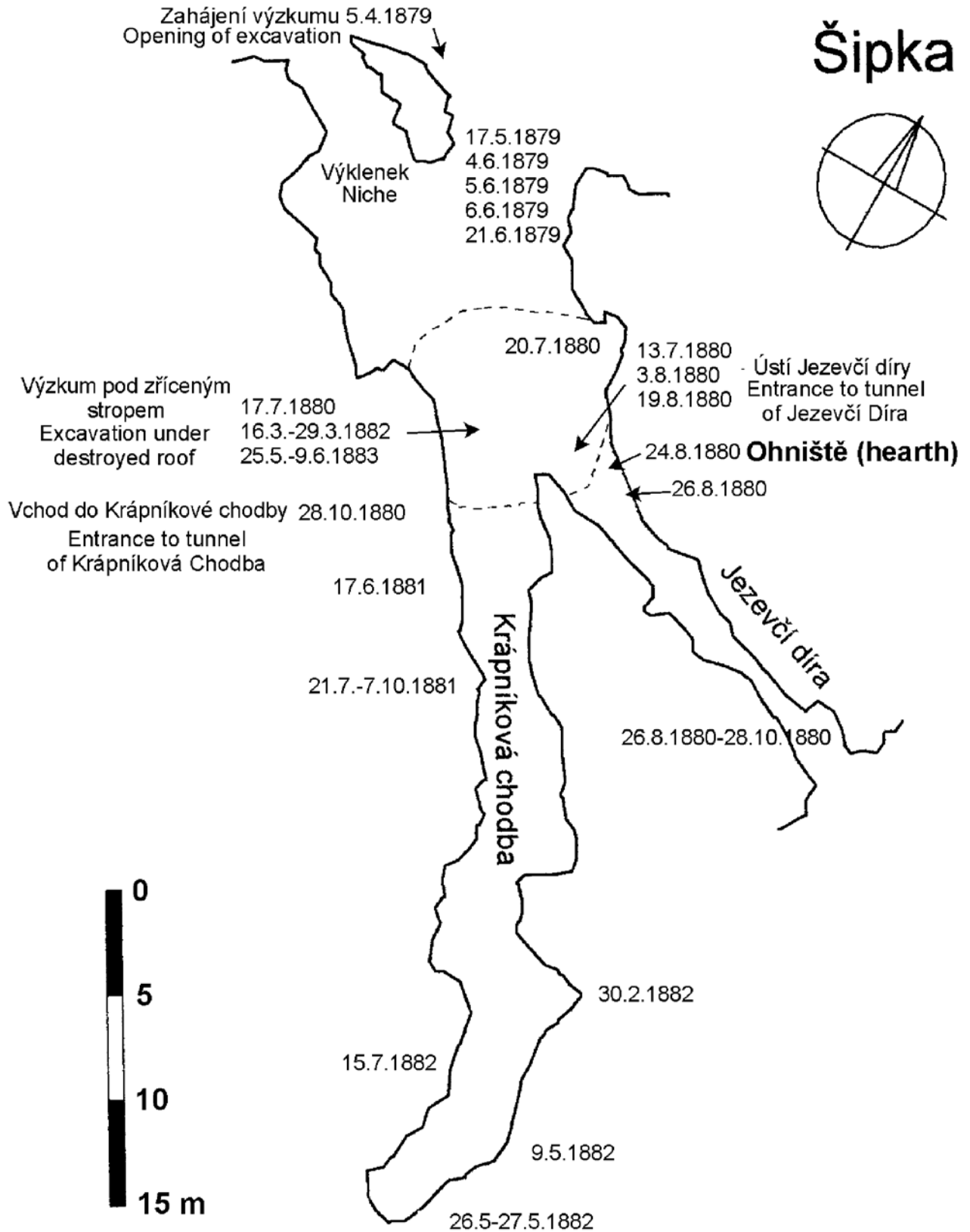
Obr. 4. Mapa oblasti Štramberského krasu s podrobným plánkem vrchu Kotouče s naznačenými jeskyněmi (podle Knies 1929).
 Fig. 4. Map of the Karst region near Štramperk and plan of Kotouč Hill with caves (after Knies 1929).



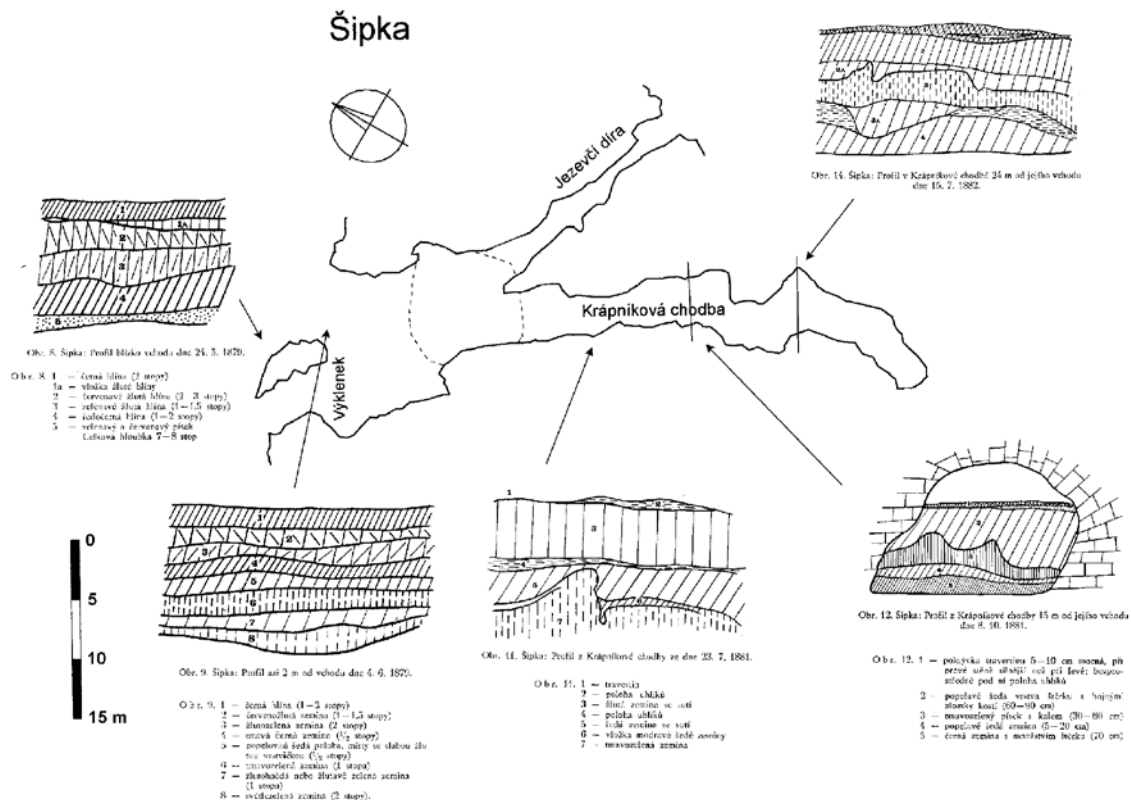
Obr. 5. Členění jeskyně Kůlny. A–H – hlavní sektory; Pr. 1–13 hlavní profily.
 Fig. 5. Plan of Kůlna Cave. A–H – main sectors; Pr. 1–13 main profiles.



Obr. 6. Plán jeskyně Šipky (upraveno podle Prosova 1952).
 Fig. 6. Plan of Šipka Cave (after Prosova 1952, modified).

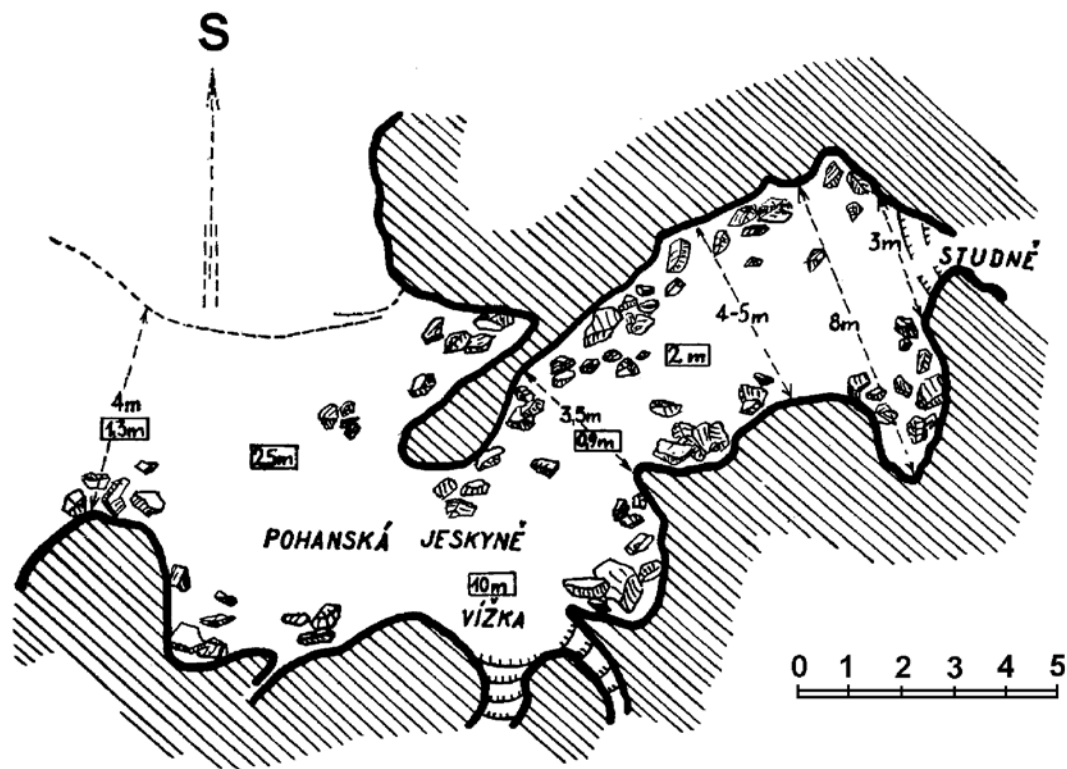


Obr. 7. Průběh výzkumů K. J. Mašky v jeskyni Šipce.
Fig. 7. Course of the K. J. Maška's excavation of Šipka Cave.



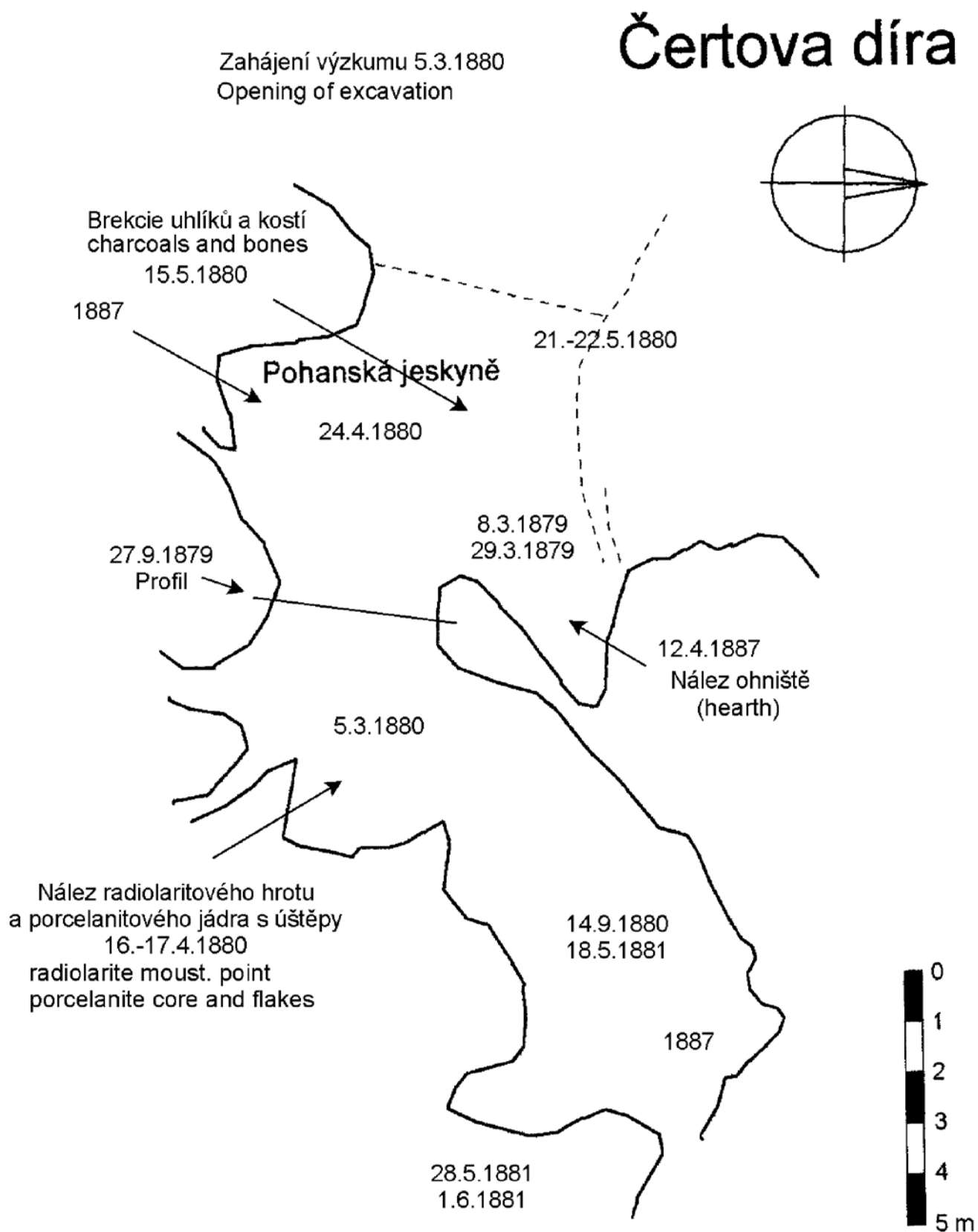
Obr. 8. Rekonstrukce stratigrafické situace v jeskyni Šipce. Měřitko profilů je relativní (upraveno podle Valoch 1965a).

Fig. 8. Reconstruction of the stratigraphic sequence of Šipka Cave. The dimensions are relative and the pictures are not in scale or proportional (after K. Valoch 1965a, modified).



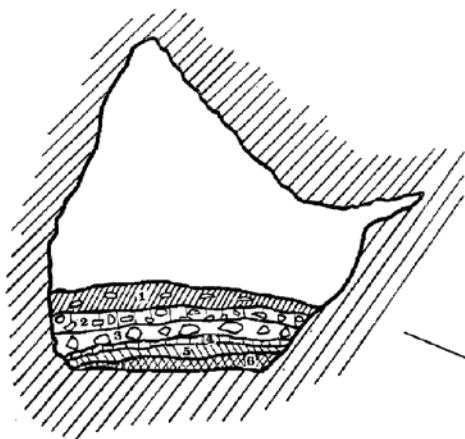
Obr. 9. Plánek jeskyně Čertova díra (Pohanská jeskyně; upraveno podle Prosová 1952).

Fig. 9. Plan of Čertova díra Cave (the "Pohanská" Cave; after Prosová 1952, modified).



Obr. 10. Průběh výzkumů K. J. Mašky v jeskyni Čertově díře (Pohanská jeskyně).
Fig. 10. Stage of K. J. Maška's excavation of Čertova díra Cave (the "Pohanská" Cave).

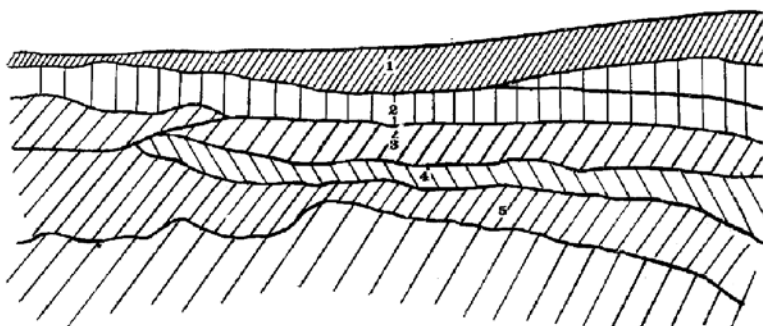
Čertova díra



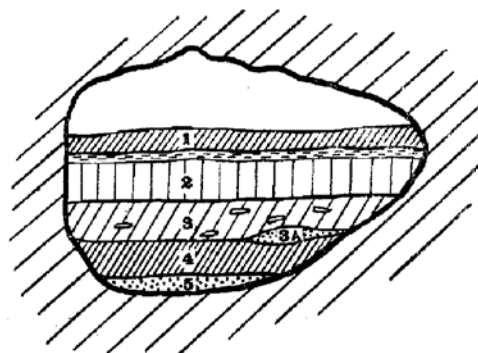
Obr. 3. Čertova díra: Příčný profil ze dne 27. 9. 1879.

- Obr. 3. 1 – černá hlína, která byla zčásti asi již dříve odklízena
 2 – žlutohnědá zemina se suti, v níž byly nalezeny kusy sobích parohů a ojedinělé medvědí zuby
 3 – nezaoblená suť 80 cm mocná bez nálezů
 4 – světlá zelnavěžlutá zemina; ojediněle liščí a medvědí kosti
 5 – hnědá, tmavozelená zemina obsahující velmi mnoho drobných kůstek (30 cm)
 6 – kompaktní skalní slin bez nálezů

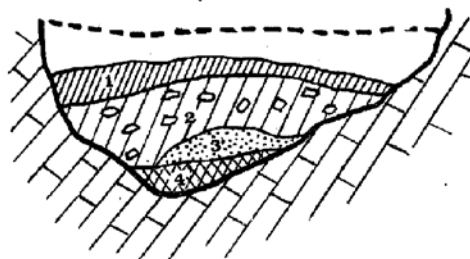
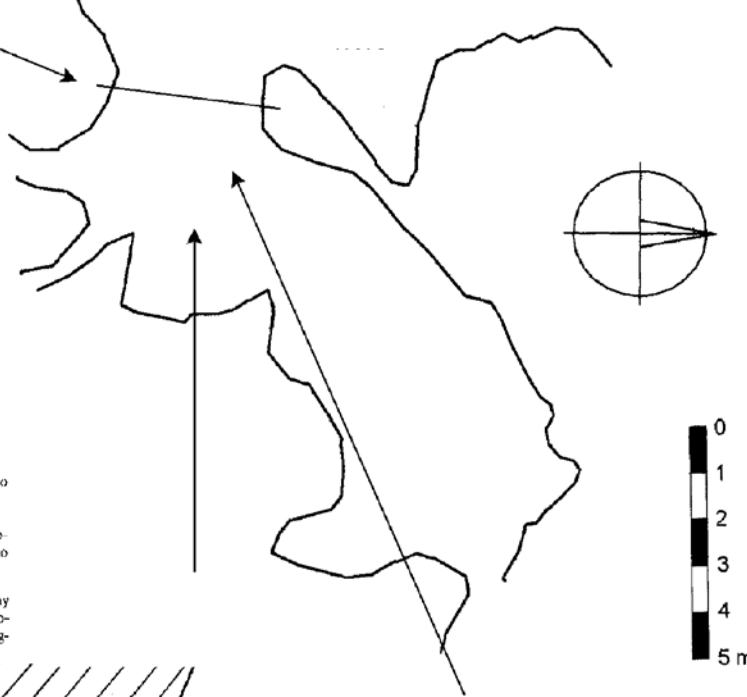
- Obr. 5. 1 – suť a šetrk s černou hlínou (65 cm)
 2 – žlutavzelená naplavenina obsahující malo nálezů (30 cm)
 3 – tmavá zemina (40 cm)
 4 – červená zemina s množstvím ptáčích a hlodavčích kostí, na basi velké dvojité drásadlo (t. III/2) i s příslušnými úštěpky (30 cm).
 5 – tmavá popelovitě šedá zemina, u levé stěny přecházející do zelené zbarvené; v ní radiolaritový hrot (t. II/1) a zaoblené fragmenty kostí.



Obr. 5. Čertova díra: Podélný profil ze dne 17. 4. 1880.



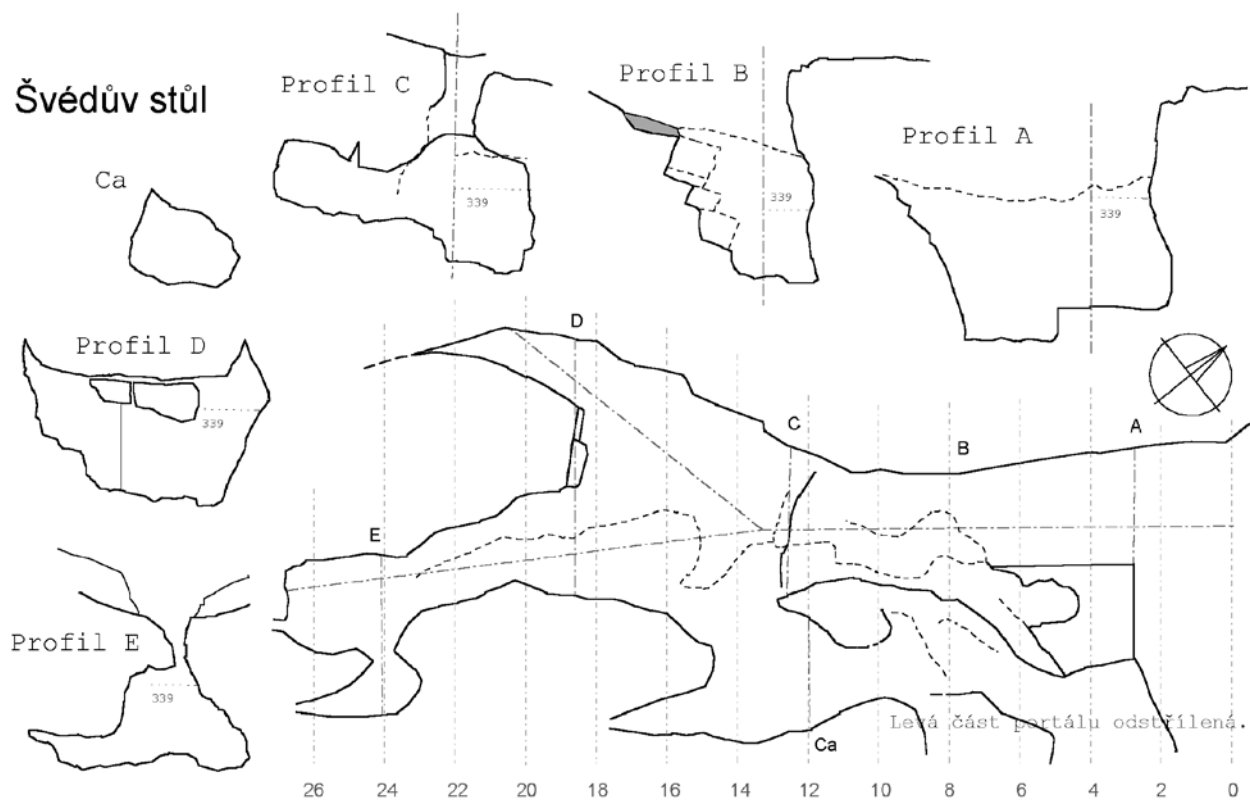
Obr. 6. Čertova díra: Ideální profil 1 m od vchodu (24. 4. 1880).



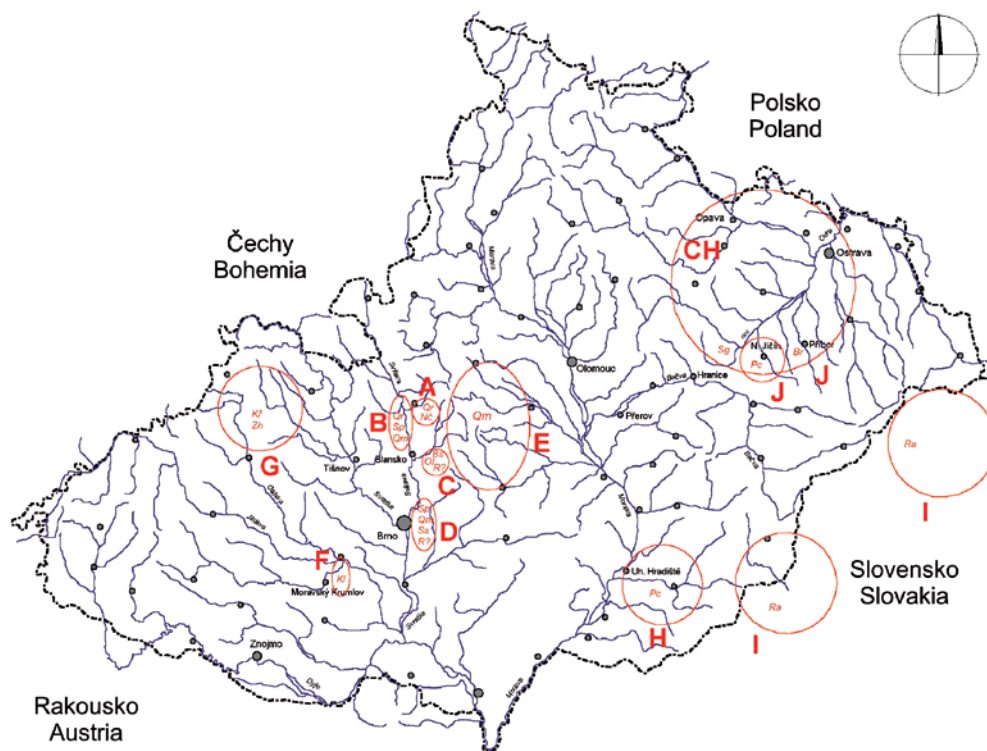
Obr. 4. Čertova díra: Profil pod komínem ze dne 5. 3. 1880.

- Obr. 4. 1 – svrchní suť s černou zemínou, s rozštípanými sobími kostmi a parohy, medvědími zuby a jednotlivými střepy nádob; většina kostí je ohlodána
 2 – žlutá zemina s oválnými kameny i ostrorannou suti, 100 cm mocná, bez nálezů. Na její basi se místy objevuje tenký proužek zeleného jílu.
 3 – tmavá zemina 40 cm mocná s neobyčejným množstvím kostí drobných hlodavců a ptáků, někdy celé kostry pohromadě.
 4 – slin 50 cm mocný, rostlinné zbytky, střepiny kostí, medvědí zuby.

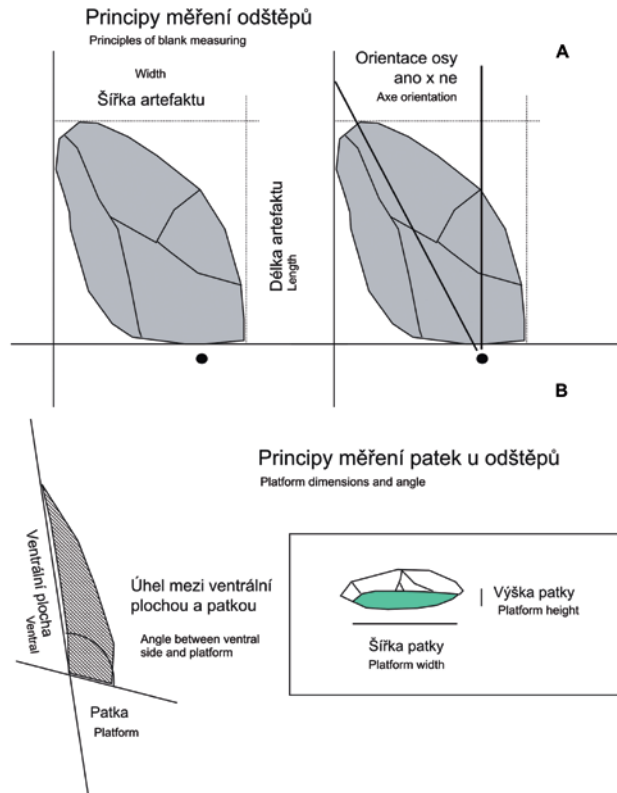
Obr. 11. Rekonstrukce stratigrafické situace v jeskyni Čertově díře. Měřitko profilů je relativní (upraveno podle Valoch 1965a).
 Fig. 11. Reconstruction of the stratigraphic sequence of Čertova díra Cave. The dimensions are relative and the pictures are not in scale or proportional (after Valoch 1965a, modified).



Obr. 12. Plán jeskyně Švédův stůl (podle Klíma 1962).
 Fig. 12. Plan of Švédův stůl Cave (after Klíma 1962).



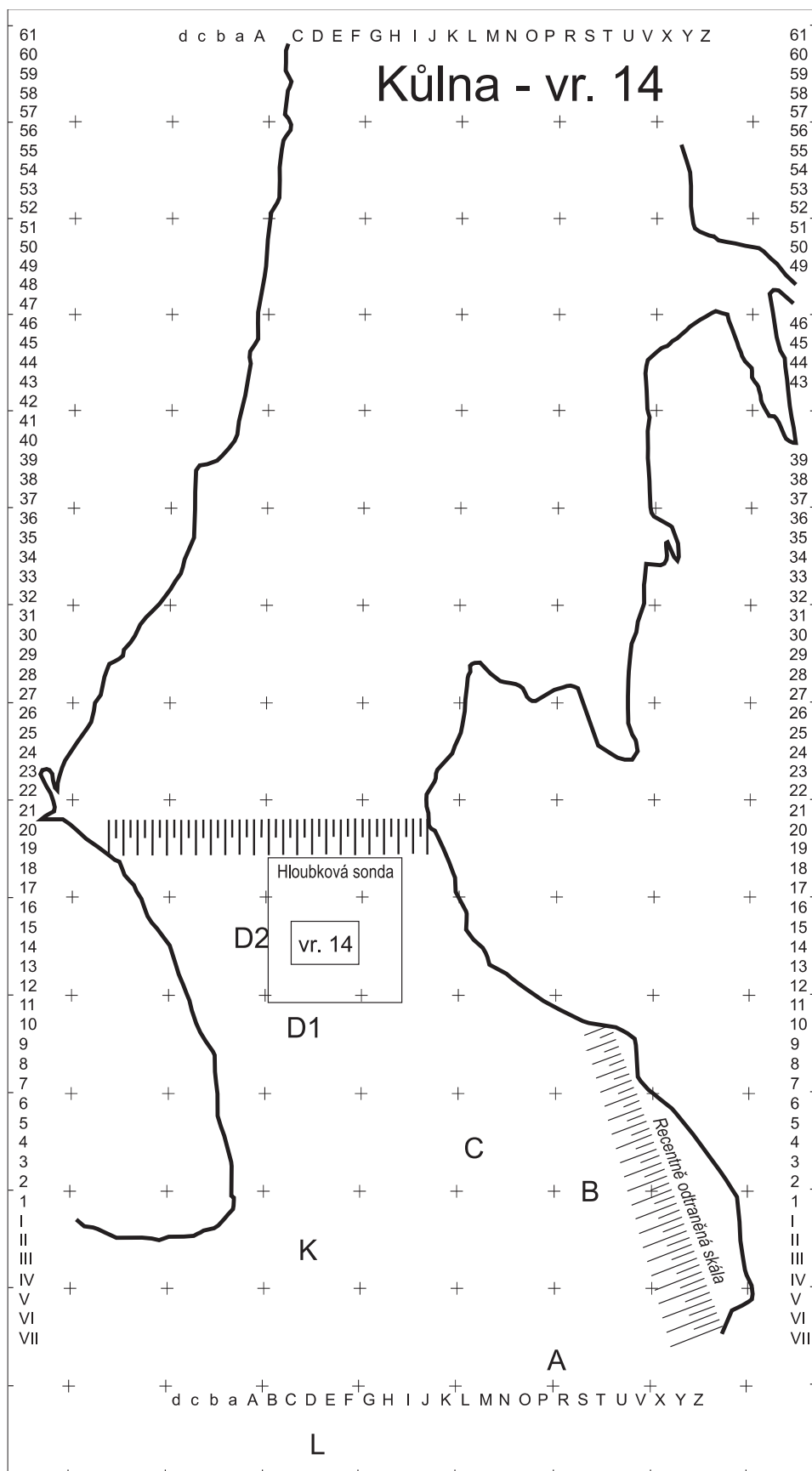
Obr. 13. Moravské zdroje kamenné suroviny. Zkratky viz kap. 3.2.2. a příloha 1N.
 Fig. 13. Moravian sources of stone raw materials. For abbreviations, see Appendix 1N.



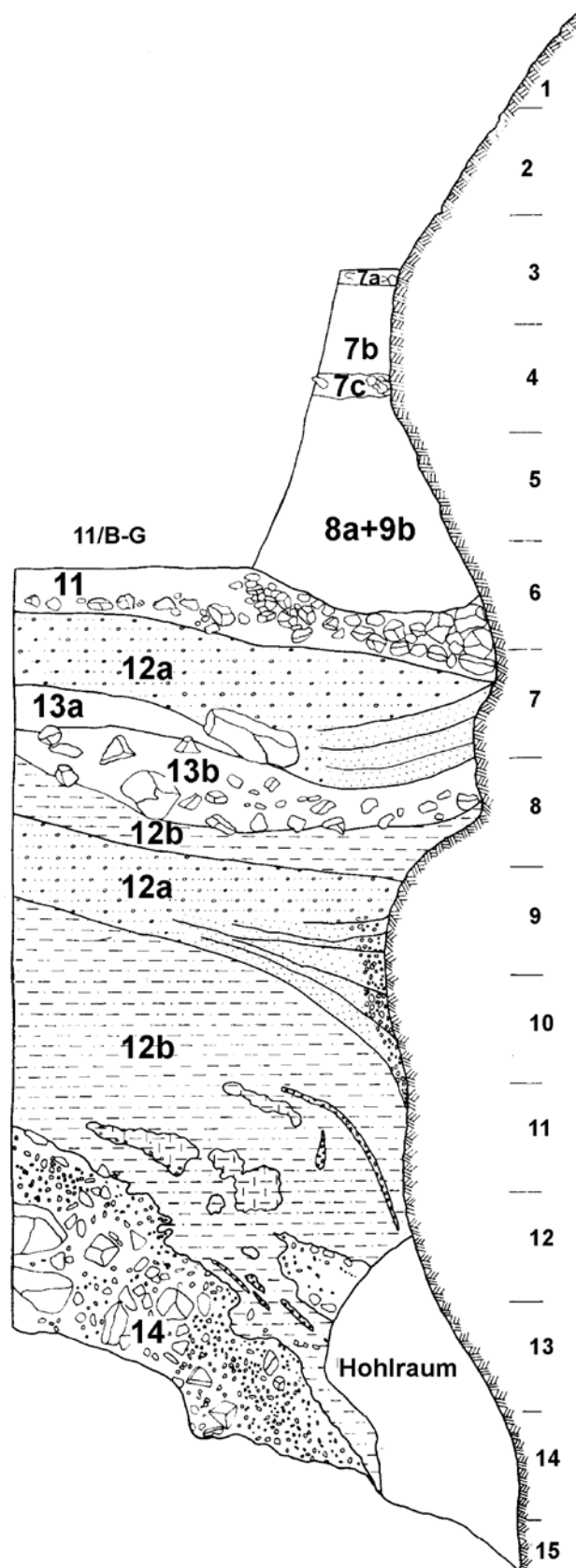
Obr. 14. Principy měření artefaktů. A – měření úštěpů, B – měření patek.
Fig. 14. Principles of measuring blanks. A – blank dimension, B – striking platform dimension.



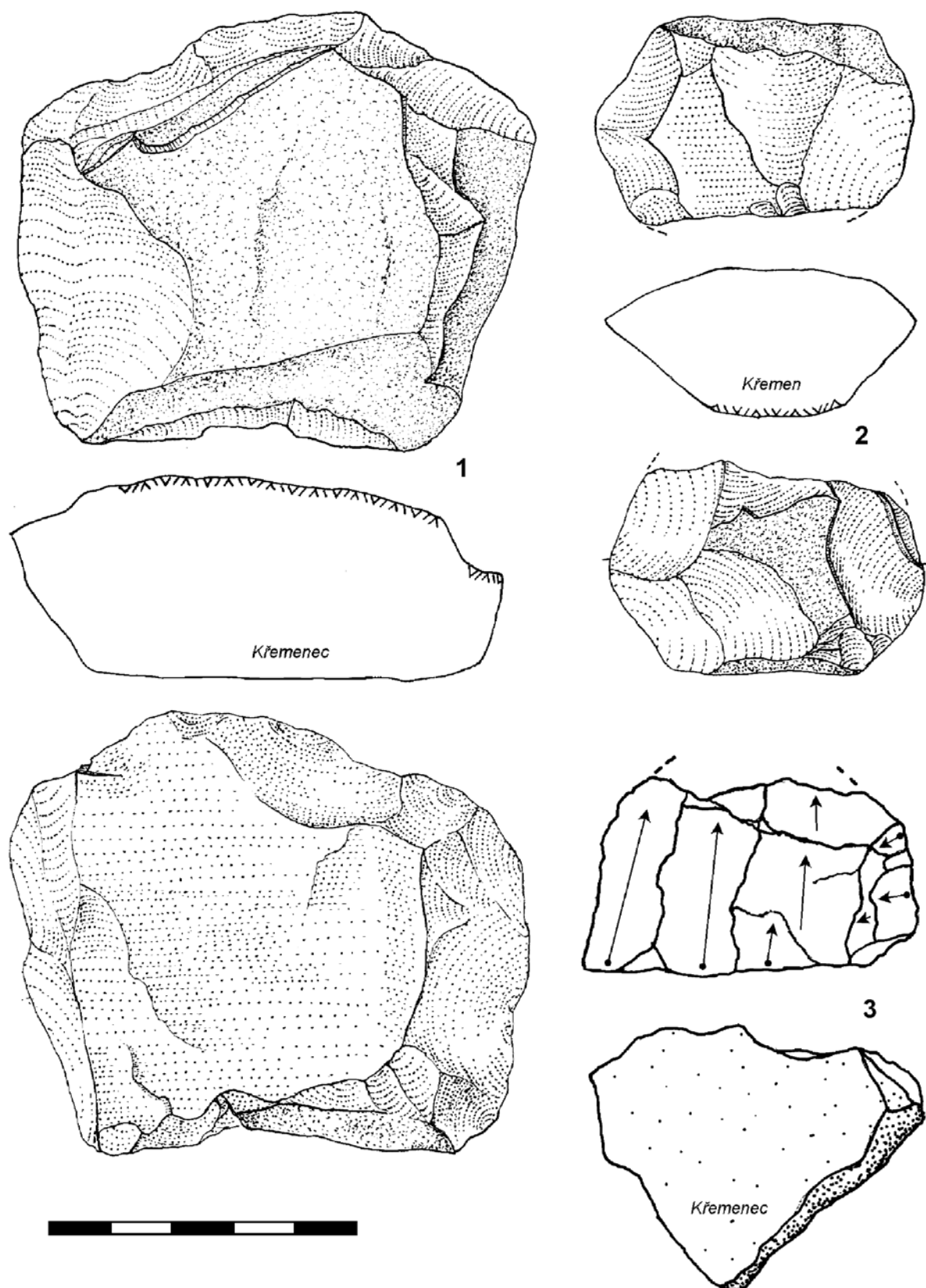
Obr. 15. Mapa oblasti Kůlna–Bořitov s možnými zónami ekonomických aktivit. 1 – zdroje surovin; 2 – lovecká zóna.
Fig. 15. Map of the Kůlna–Bořitov region with zones of economic activity. 1 – sources of raw materials; 2 – hunting zone.



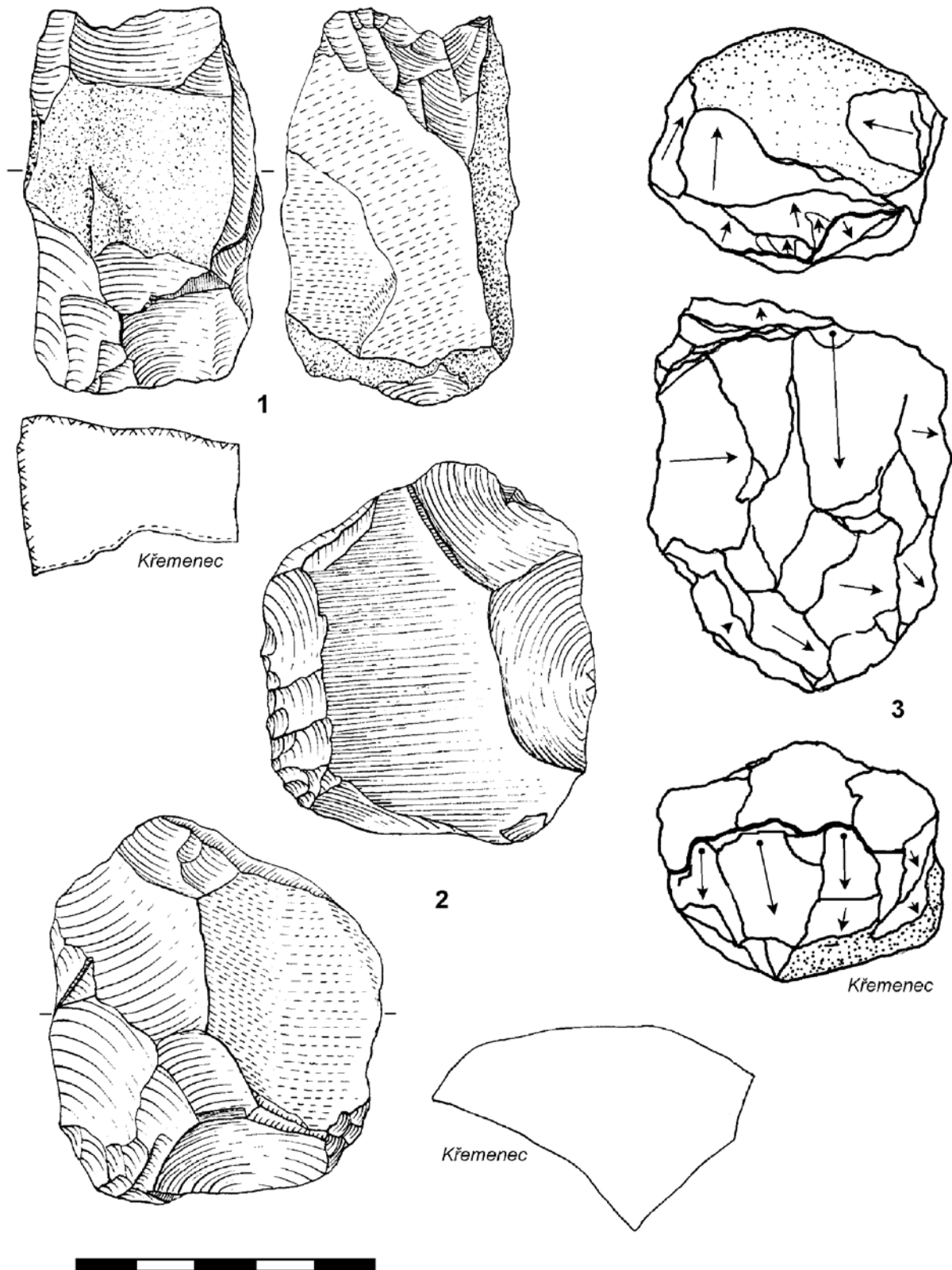
Obr. 16. Jeskyně Kůlna, vr. 14. Prostorové členění.
 Fig. 16. Kůlna Cave, spatial structure of layer 14.



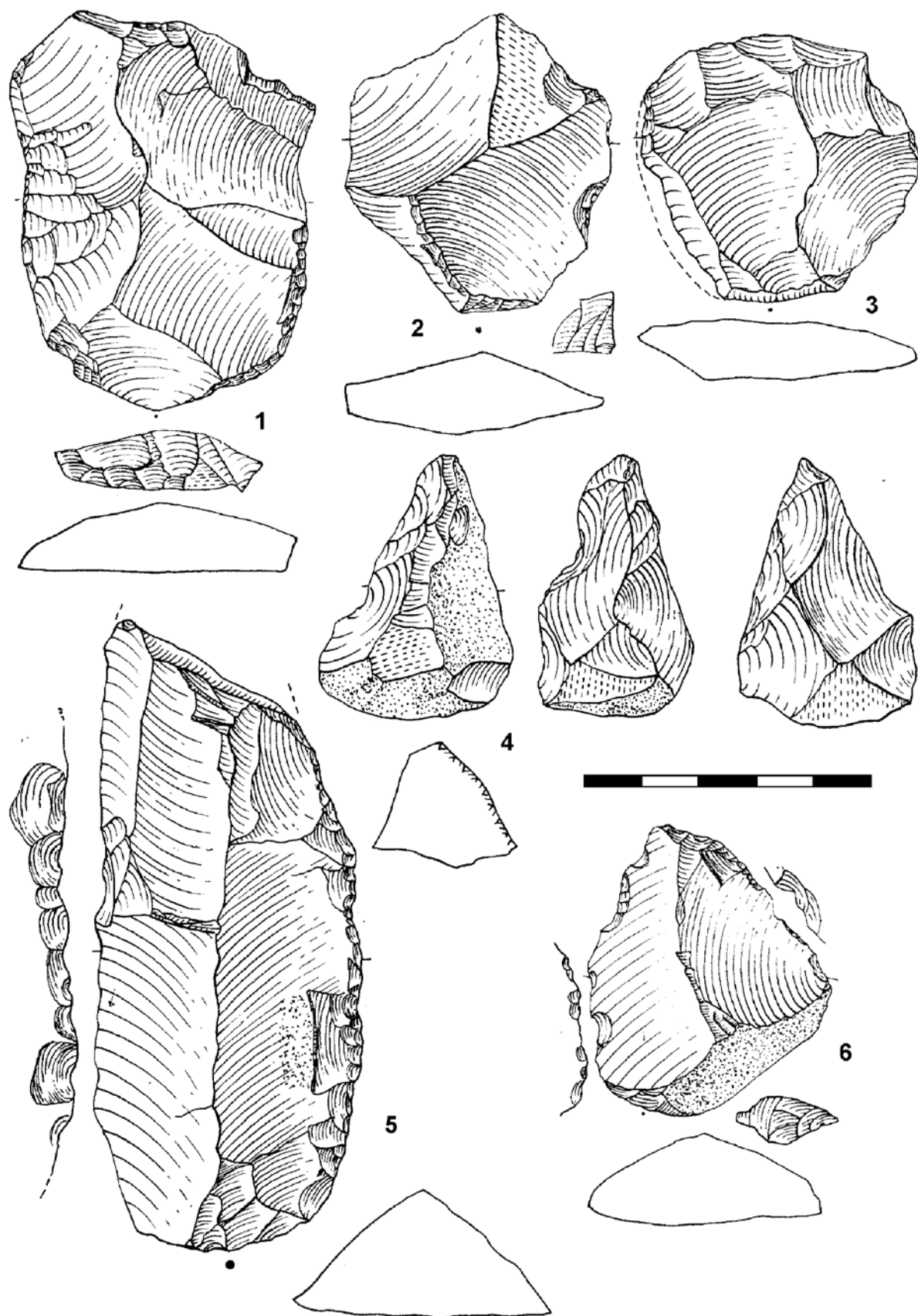
Obr. 17. Jeskyně Kůlna. Stratigrafická pozice vr. 14.
Fig. 17. Kůlna Cave, stratigraphic position of layer 14.



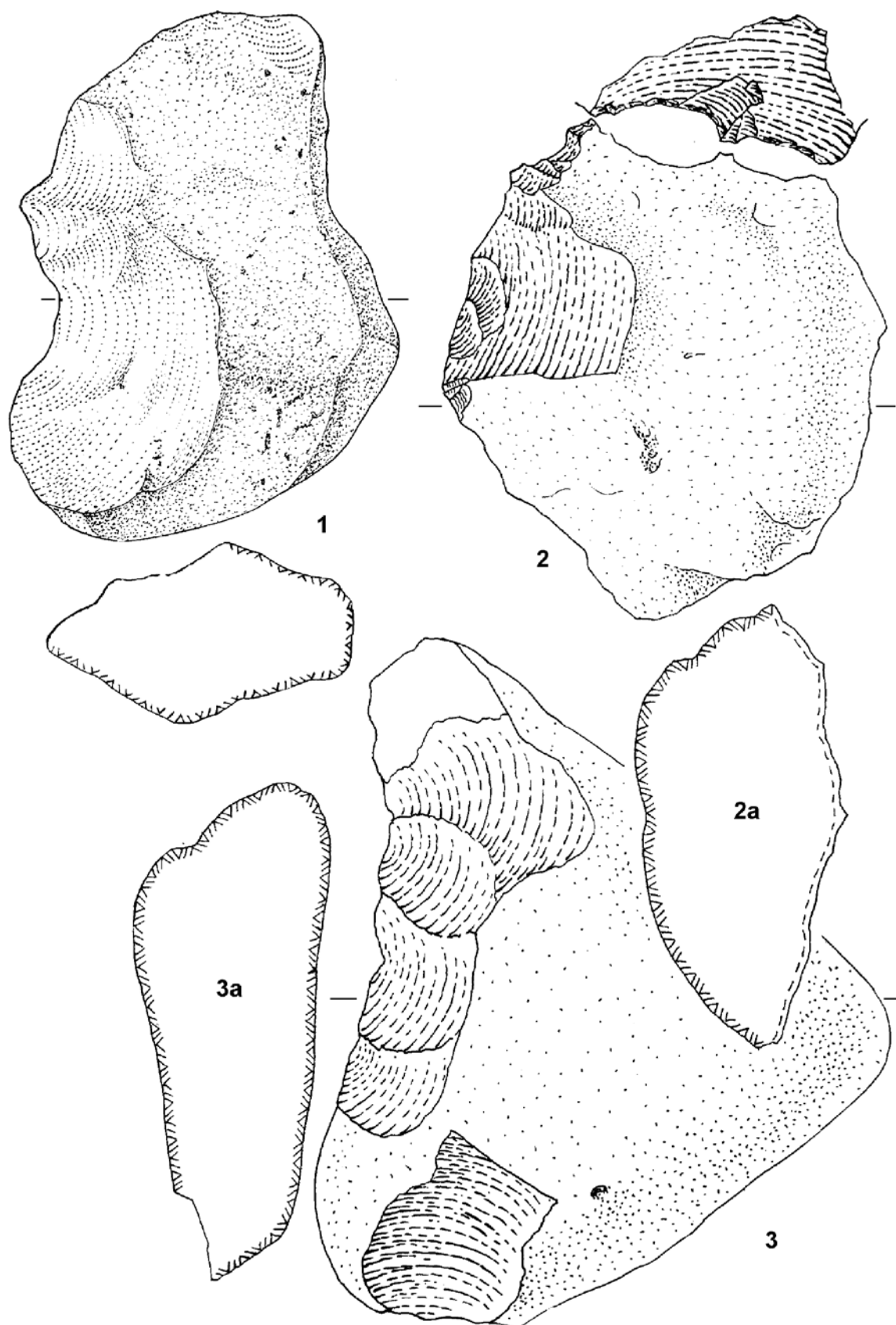
Obr. 18. Jeskyně Kůlna, vr. 14. 1, 2 – diskoidní jádra; 3 – jádro s paralelní těžbou. 1, 3 křemenec; 2 – křemen.
 Fig. 18. Kůlna Cave, layer 14. 1, 2 – discoid cores; 3 – core with parallel reduction. 1, 3 quartzite; 2 – quartz.



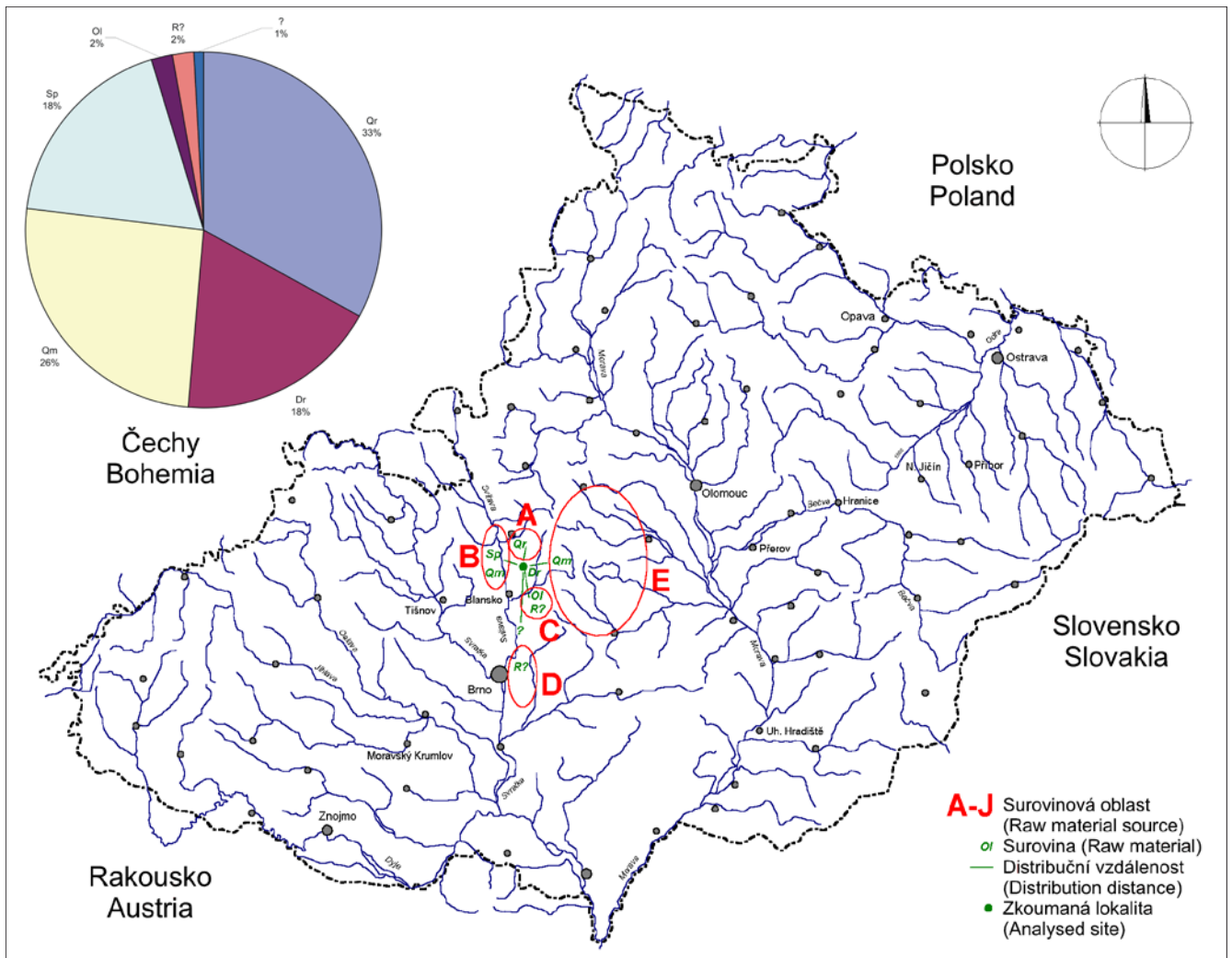
Obr. 19. Jeskyně Kůlna, vr. 14. 1 – počátkové levalloiské (?) dvoupodstavové jádro; 2 – levalloiské jádro pro preferenční ústěp; 3 – levalloiské rekurentní dvoupodstavové jádro.
 Fig. 19. Kůlna Cave, layer 14. 1 – Levallois bidirectional pre-core – quartzite; 2 – Classic Levallois core, quartzite; 3 – Levallois bidirectional core – quartzite.



Obr. 20. Jeskyně Kůlna, vr. 14. 1, 3 – levalloiské úštěpy; 2, 6 – preparační levalloiské úštěpy; 5 – retušovaná čepel; 6 – klínek.
 Fig. 20. Kůlna Cave, layer 14. 1, 3 – Levallois flakes; 2, 6 – Levallois prepared flakes; 5 – retouched blade; 6 – small hand-axe.

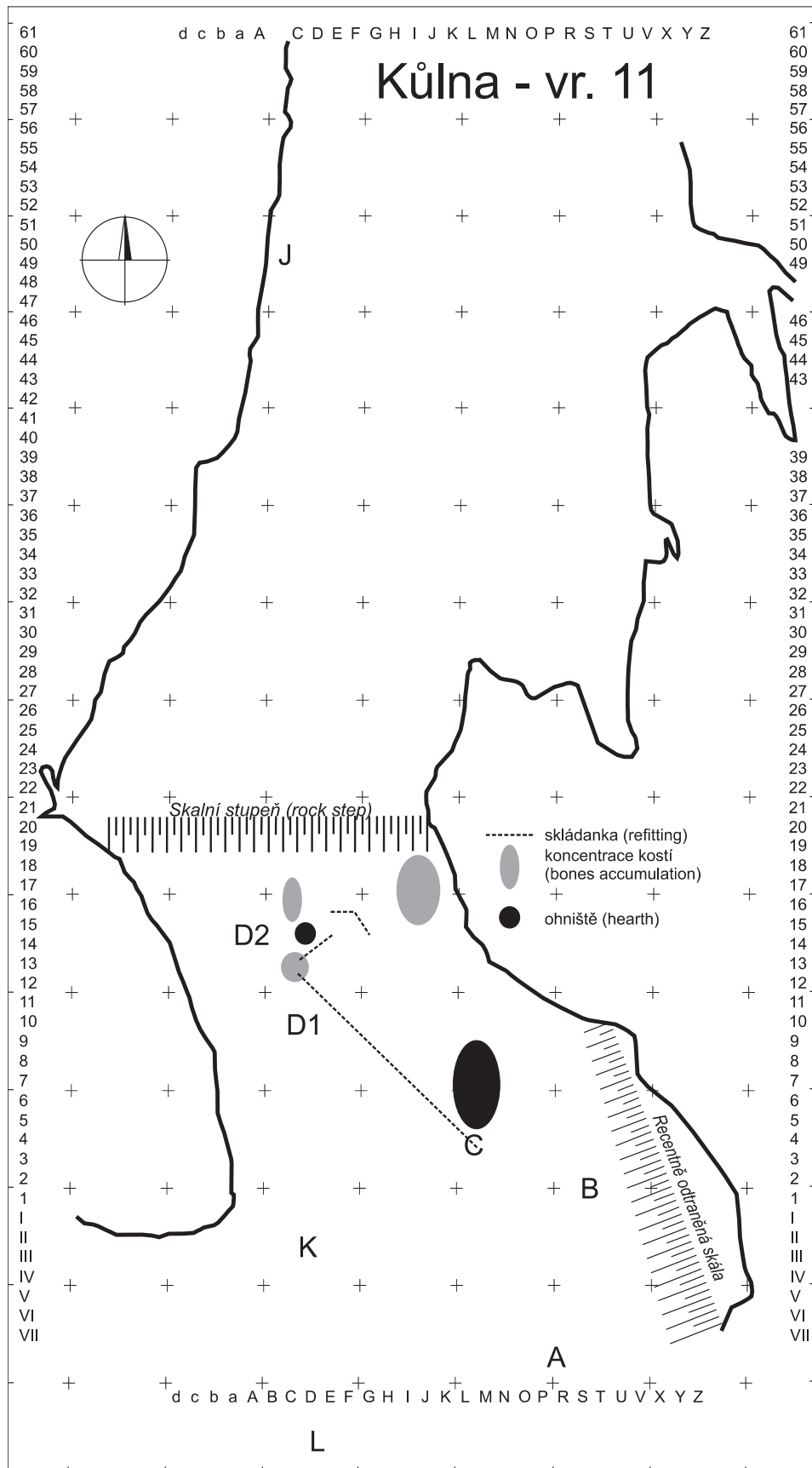


Obr. 21. Jeskyně Kůlna, vr. 14. Sekáče.
Fig. 21. Kůlna Cave, layer 14. Choppers.

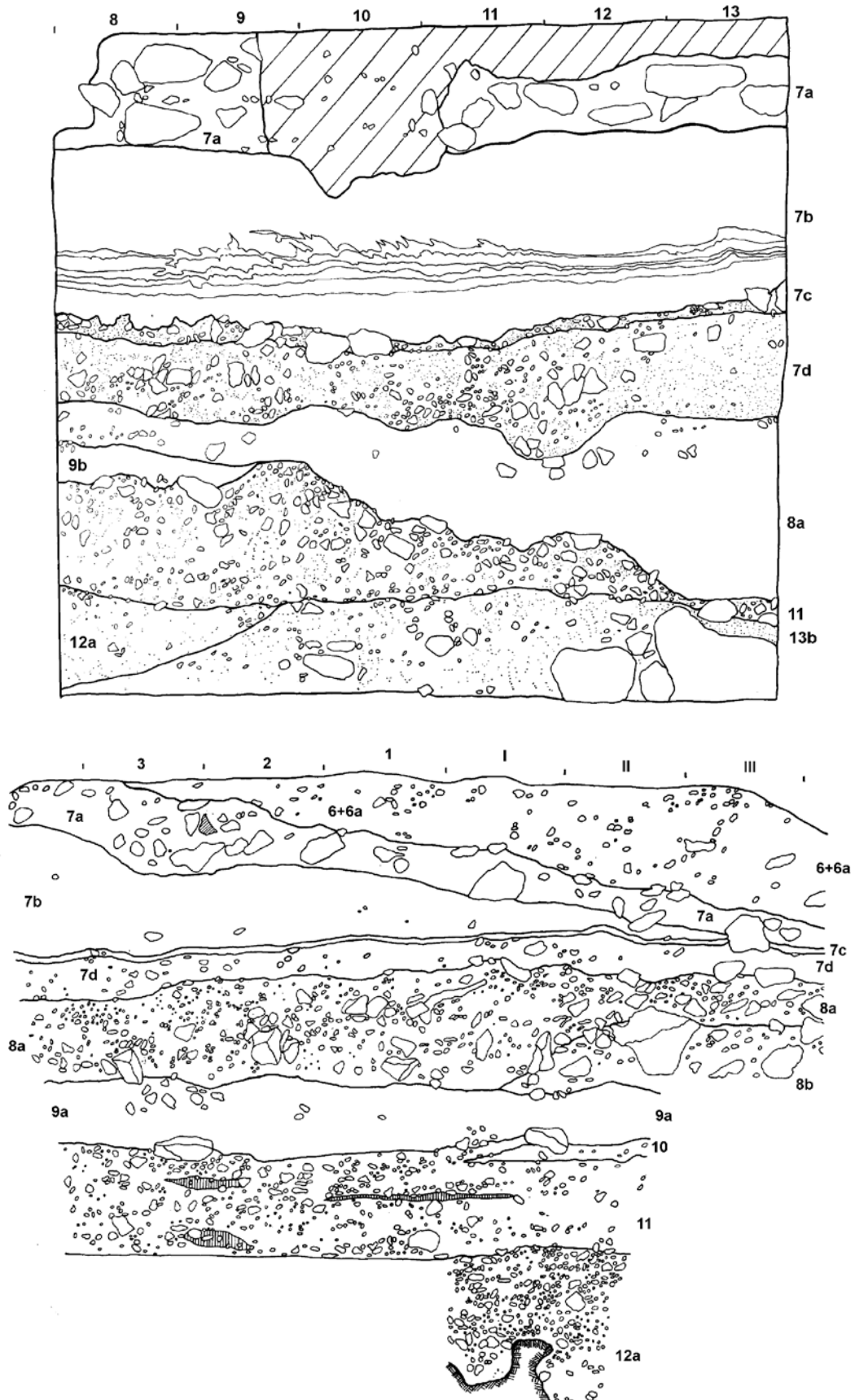


Obr. 22. Jeskyně Kůlna, vr. 14. Skladba kamenné suroviny a její distribuce v rámci Moravy. Zkratky viz příloha 1N.

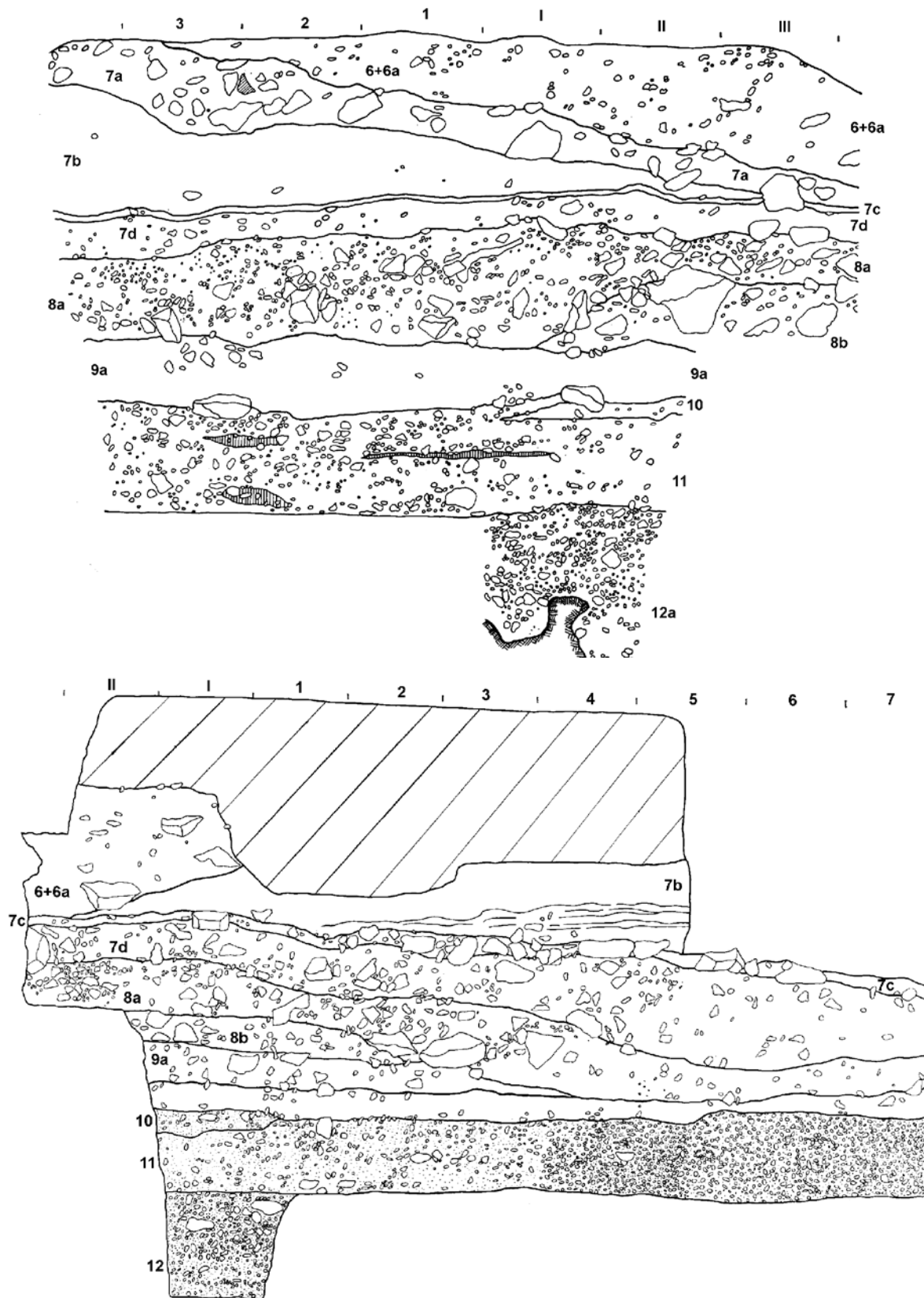
Fig. 22. Kůlna Cave, layer 14. Composition of raw materials and Moravian distribution map. For abbreviations, see Appendix 1N.



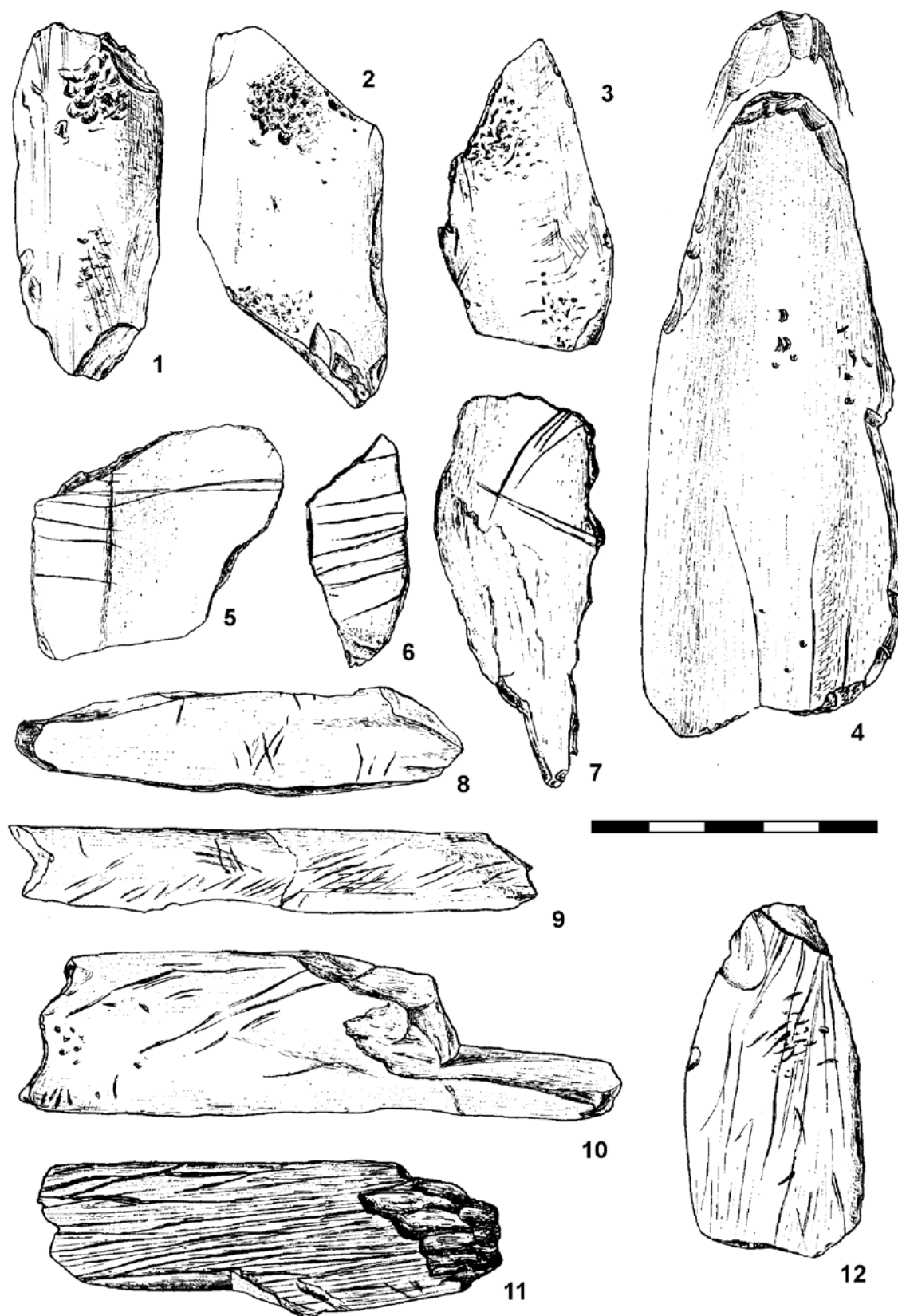
Obr. 23. Jeskyně Kůlna, vr. 11. Prostorové členění.
 Fig. 23. Kůlna Cave, layer 11. Spatial structure.



Obr. 24. Jeskyně Kůlna. Stratigrafická pozice vr. 11. (a) – profil č. 6, čtverec 8–13/K; (b) – profil č. 7, čtverec 11–18/K. Podle Valoch 1988b.
 Fig. 24. Kůlna Cave. Stratigraphic position of layer 11. (a) – profile n. 6 (8–13/K m²); (b) – profile n. 7 (11–18/K m²). After Valoch 1988b.

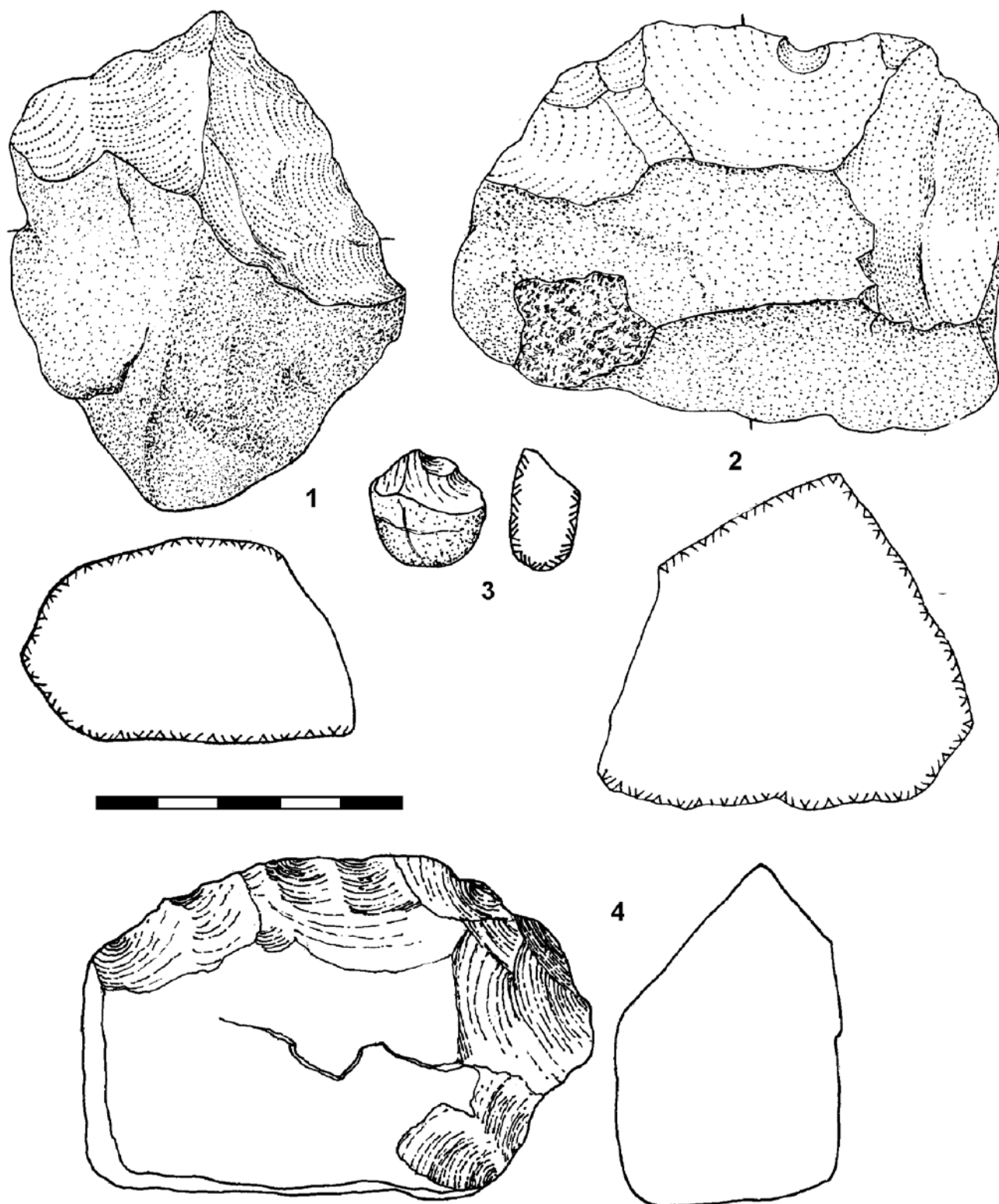


Obr. 25. Jeskyně Kůlna. Stratigrafická pozice vr. 11. (a) – profil č. 4, čtverec III–3/O; (b) – profil č. 5, čtverec II–7/K. Podle Valoch 1988b.
 Fig. 25. Kůlna Cave. Stratigraphic position of layer 11. (a) – profile n. 4 (III–3/O m²); (b) – profile n. 5 (II–7/K m²). After Valoch 1988b.

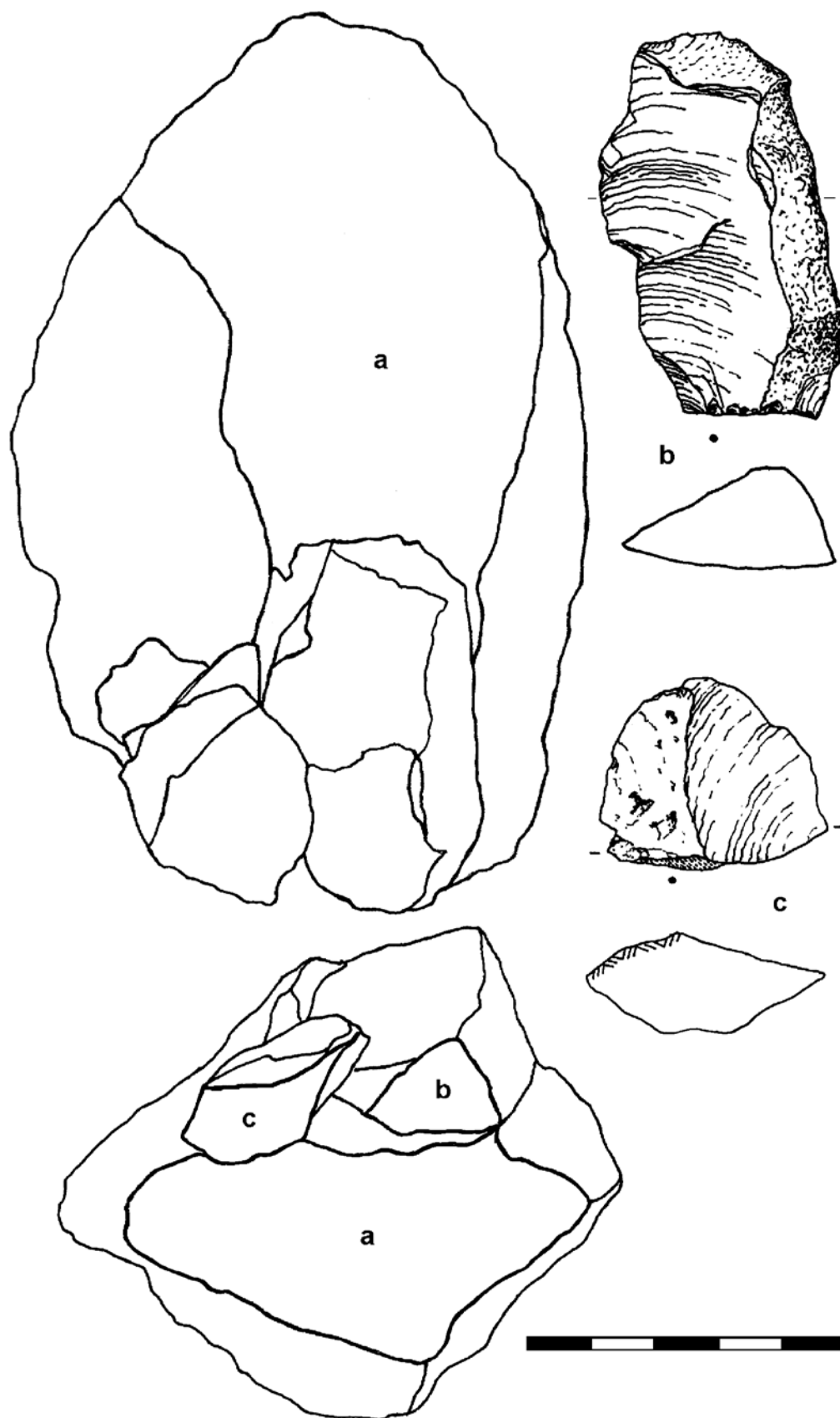


Obr. 26. Jeskyně Kůlna, vr. 11. Výběr kostěných předmětů se stopami manipulace. 1-4, 12 – retušéry; 5-11 – kosti s rytými (?) rýhami. Podle Valoch 1988b.

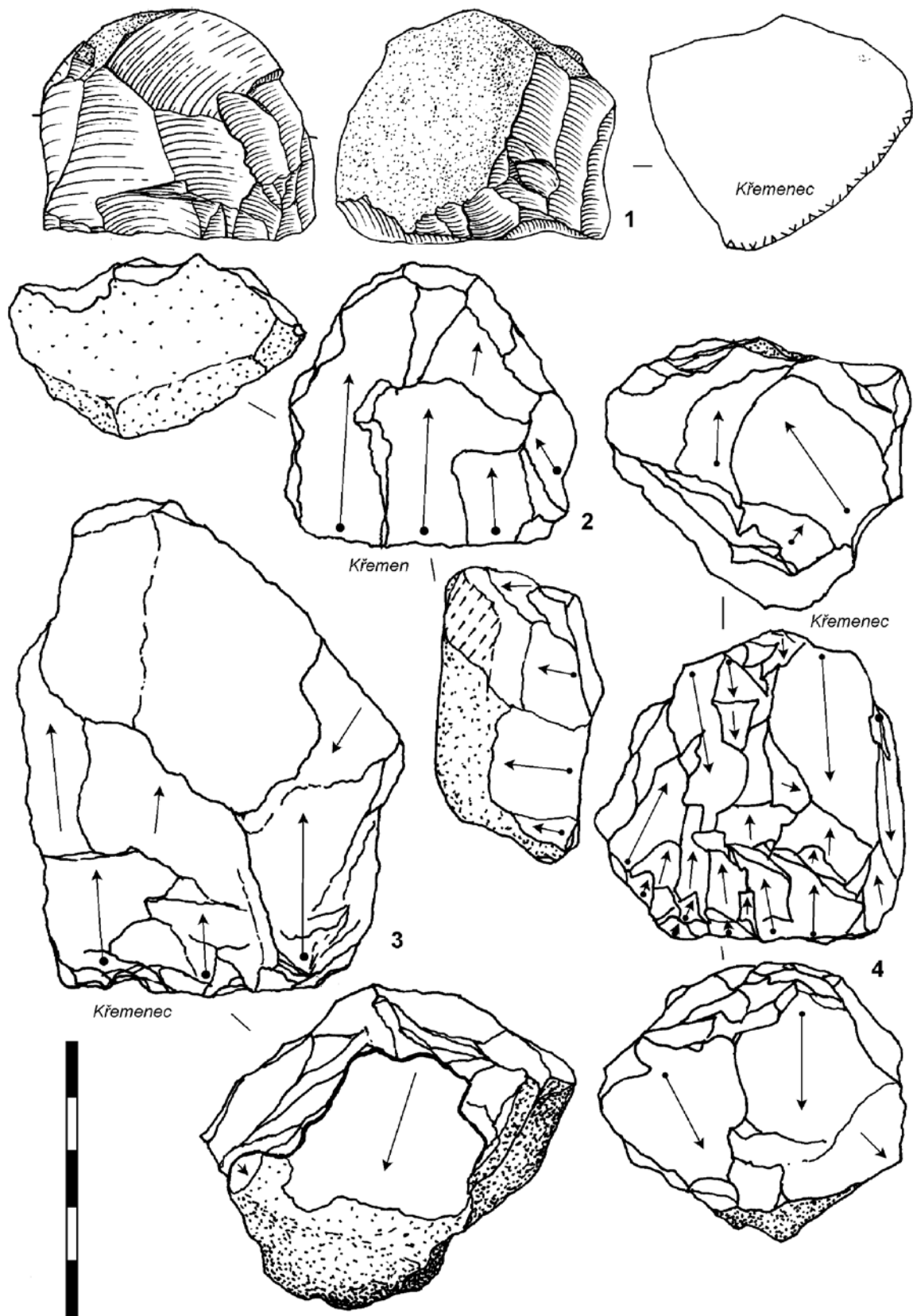
Fig. 26. Kůlna Cave, layer 11. Selection of bones with traces of work. 1-4, 12 – soft-hammers (retouchers); 5-11 – bones with engraved (?) grooves. After Valoch 1988b.



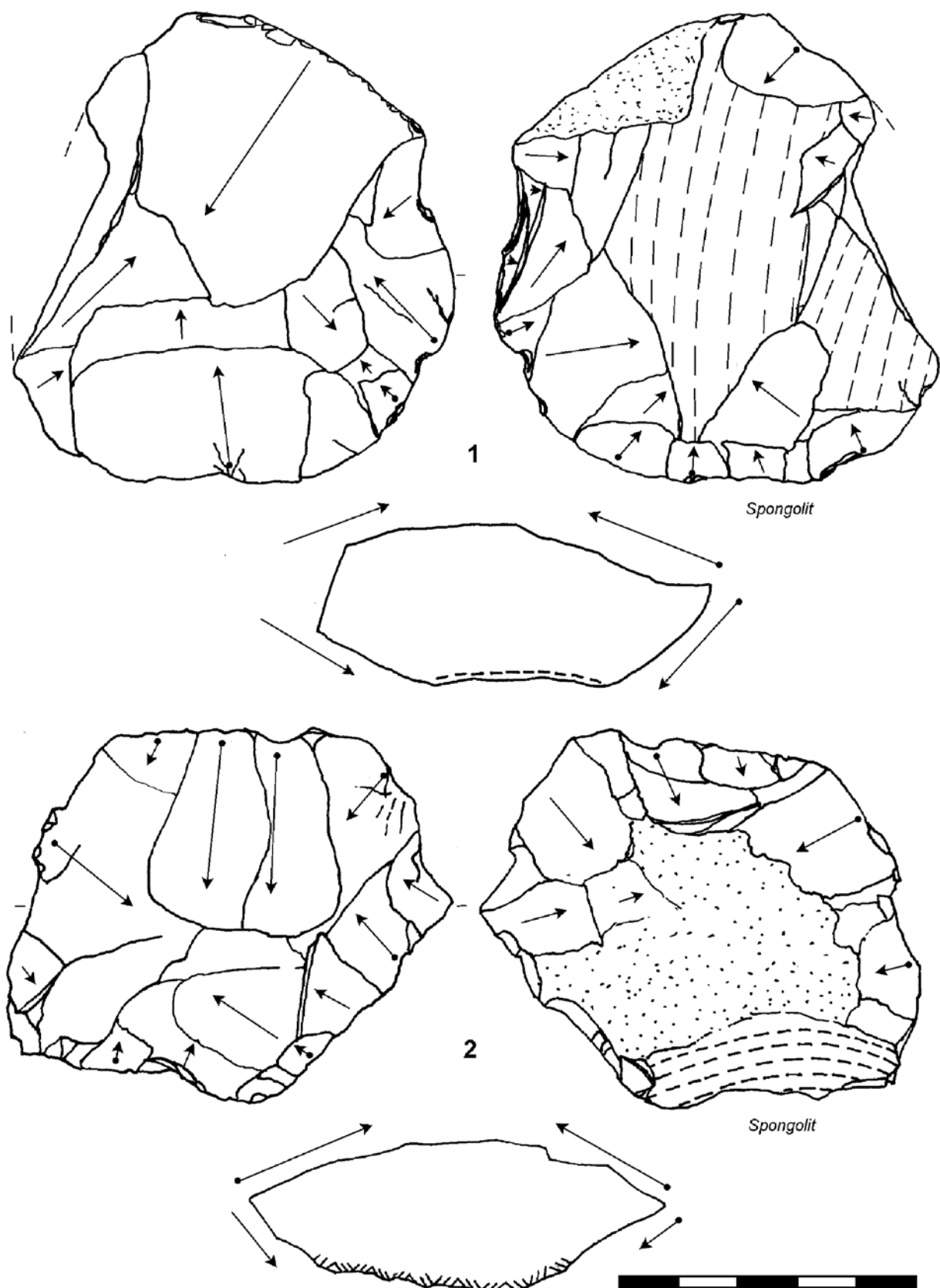
Obr. 27. Jeskyně Kůlna, vr. 11. Sekáče. 1–2 podle Valoch 1988b.
 Fig. 27. Kůlna Cave, layer 11. Choppers. 1–2 after Valoch 1988b.



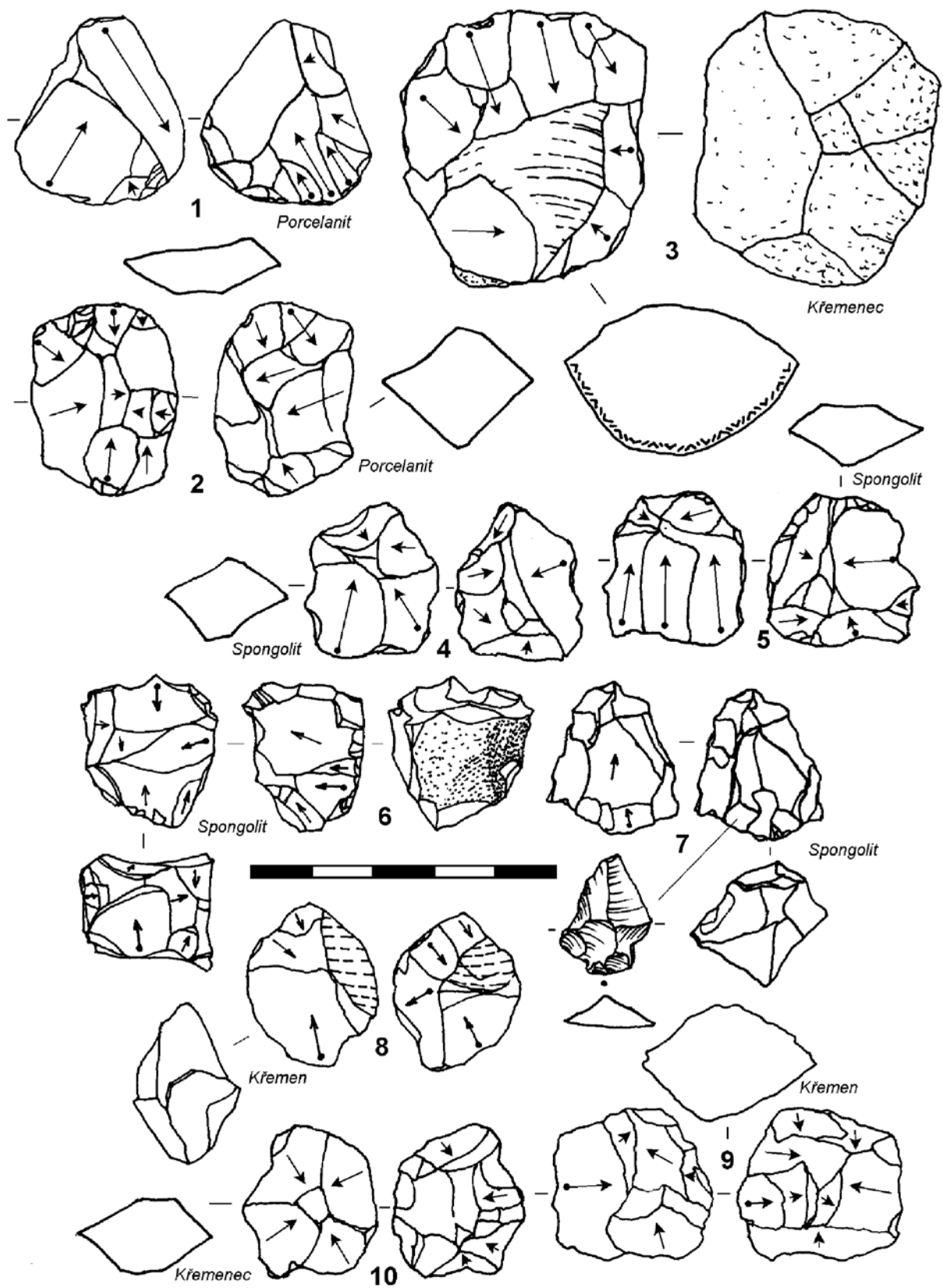
Obr. 28. Jeskyně Kůlna, vr. 11. Remontáž křemenného počátkového jádra (a) a dvou úštěpů (b–c).
Fig. 28. Kůlna Cave, layer 11. Refitting of quartz precore (a) and two flakes (b, c).



Obr. 29. Jeskyně Kůlna, vr. 11. Jádra s paralelní těžbou. 1-3 – jednopodstavová; 4 – dvoupodstavová. 1 – podle Valoch 1988b.
 Fig. 29. Kůlna Cave, layer 11. Cores with parallel exploitation. 1-3 – unidirectional; 4 – bidirectional. 1, 3-4 – quartzite, 2 – quartz.
 1 – after Valoch 1988b.

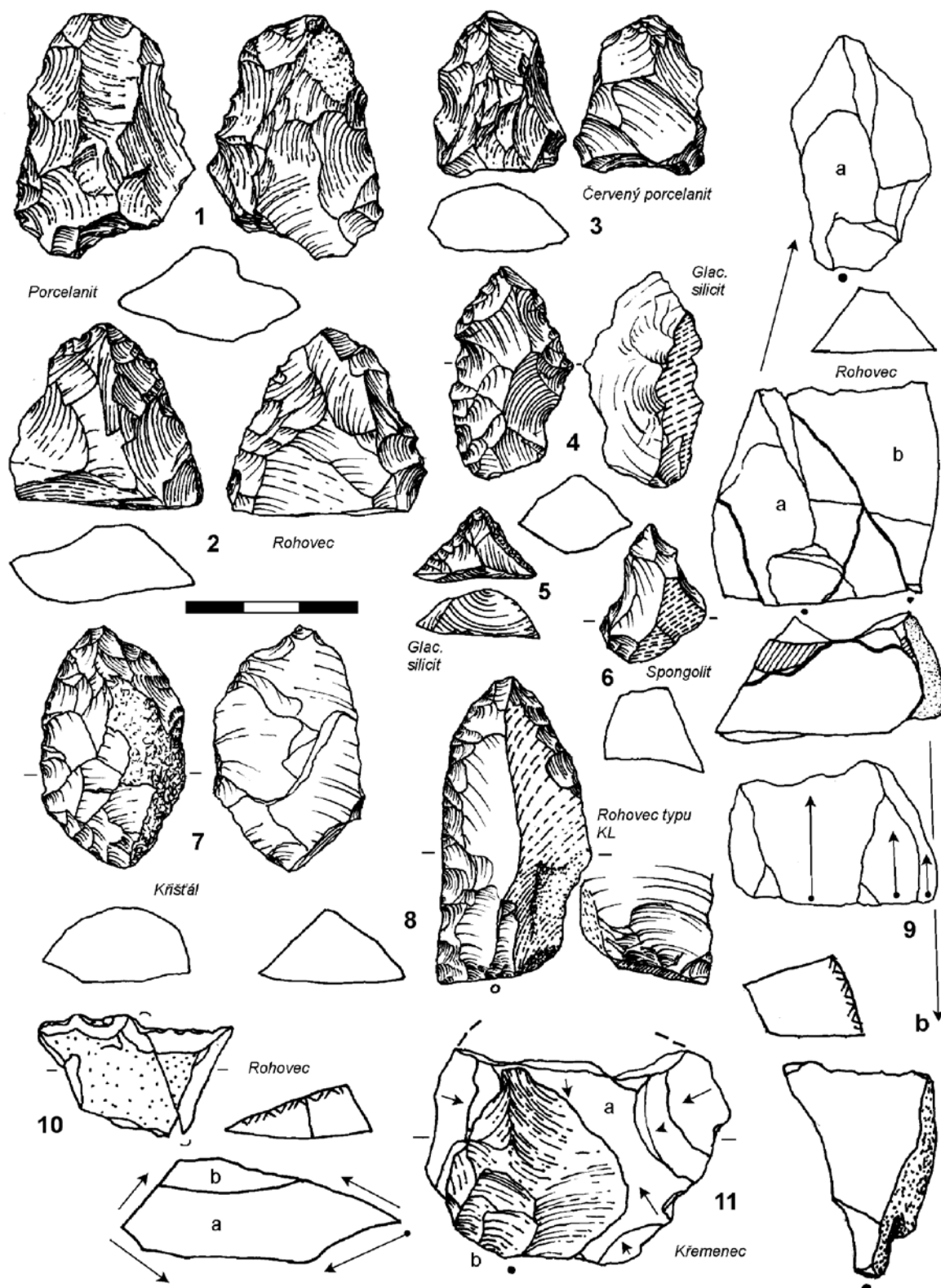


Obr. 30. Jeskyně Kůlna, vr. 11. Subdiskoidní jádra (s hierarchizovanými plochami).
 Fig. 30. Kůlna Cave, layer 11. Subdiscoid cores (with hierachical surfaces) from a cretaceous chert.



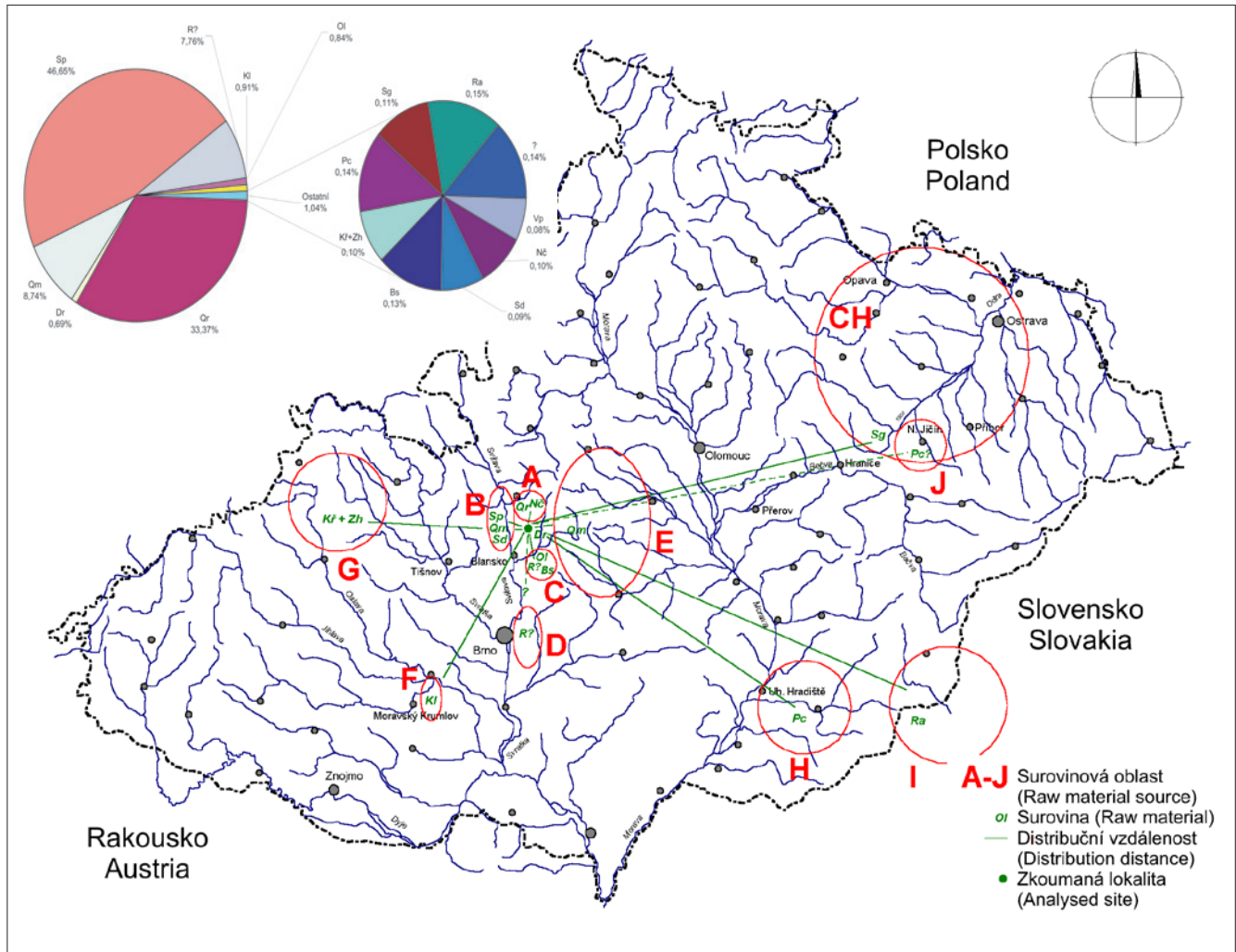
Obr. 31. Jeskyně Kůlna, vr. 11. 1–2, 4–5, 8–10 – zbytky diskoidních jader; 3 – unifaciální subdiskoidní jádro na úštěpu; 6–7 – zbytky jader se změněnou orientací; 7 – remontáž zbytku jádra s malým úštěpem.

Fig. 31. Kůlna Cave, layer 11. 1–2, 4–5, 8–10 – remainders of subdiscoid cores; 3 – unifacial subdiscoid core on a flake; 6–7 – core remains with changes in orientation; 7 – refitting of a core remnant with a small flake.



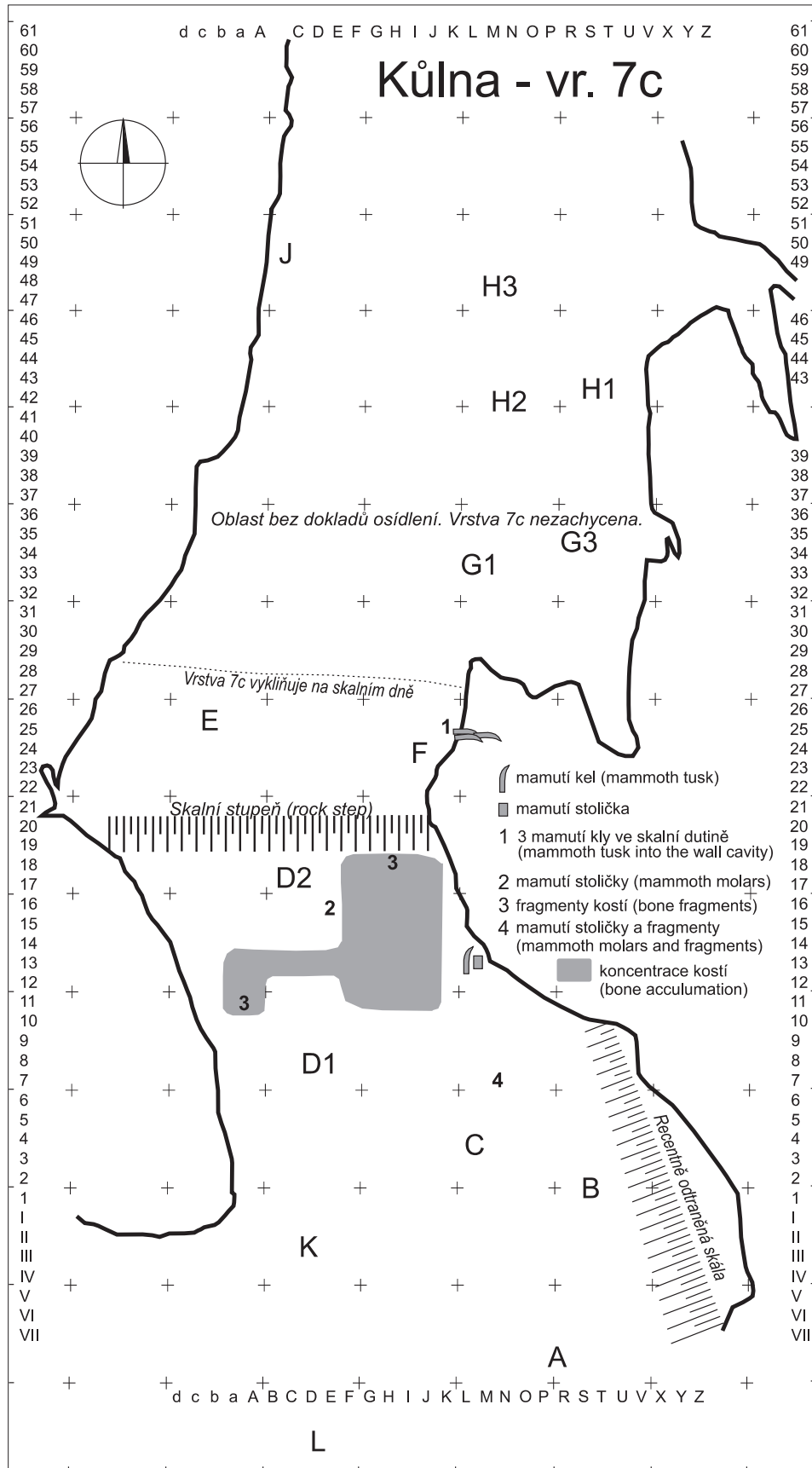
Obr. 32. Jeskyně Kůlna, vr. 11. 1–3 – bifaciální předměty; 4 – hrot typu Quinson; 5 – příčným úderem odlomený hrot; 6 – hrot typu Tayac; 7 – drasadlo; 8 – moustérienský hrot; 9 – remontáž jádra s paralelní těžbou s úštěpy „a“, „b“; 10 – remontáž zlomeného úštěpu; 11 – remontáž subdiskoidního jádra „a“ s úštěpem „b“.

Fig. 32. Kůlna Cave, layer 11. 1–3 – bifacial tools; 4 – Quinson point; 5 – point broken by a transverse strike; 6 – Tayac point; 7 – side scraper; 8 – Mousterian point; 9 – refitting of a parallel core and flakes „a“, „b“; 10 – refitting of a broken flake; 11 – refitting of subdiscoid core „a“ with flake „b“.

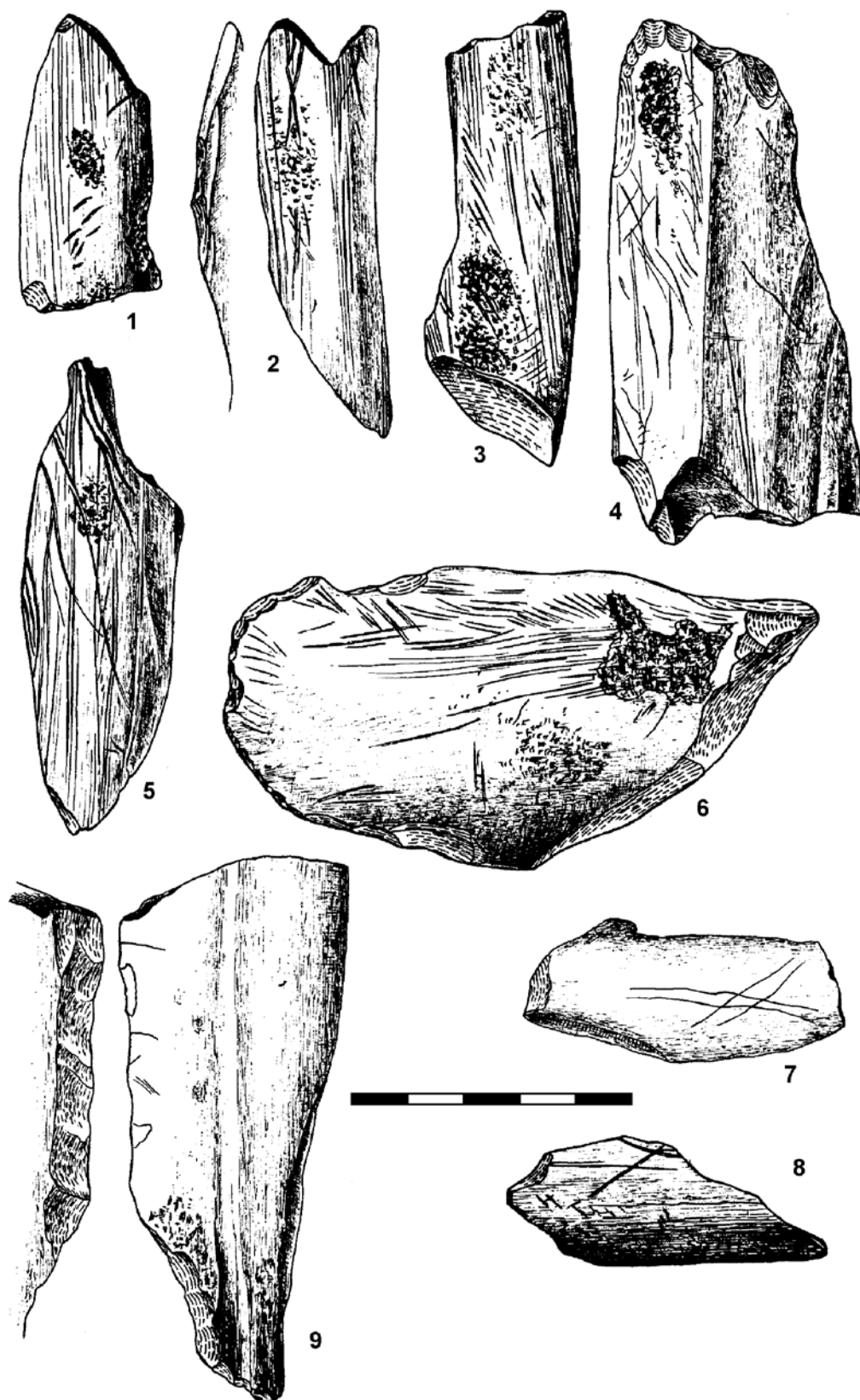


Obr. 33. Jeskyně Kůlna, vr. 11. Skladba kamenné suroviny a její distribuce v rámci Moravy. Zkratky viz příloha 1N.

Fig. 33. Kůlna Cave, layer 11. Composition of stone raw materials and Moravian distribution map. For abbreviations, see Appendix 1N.

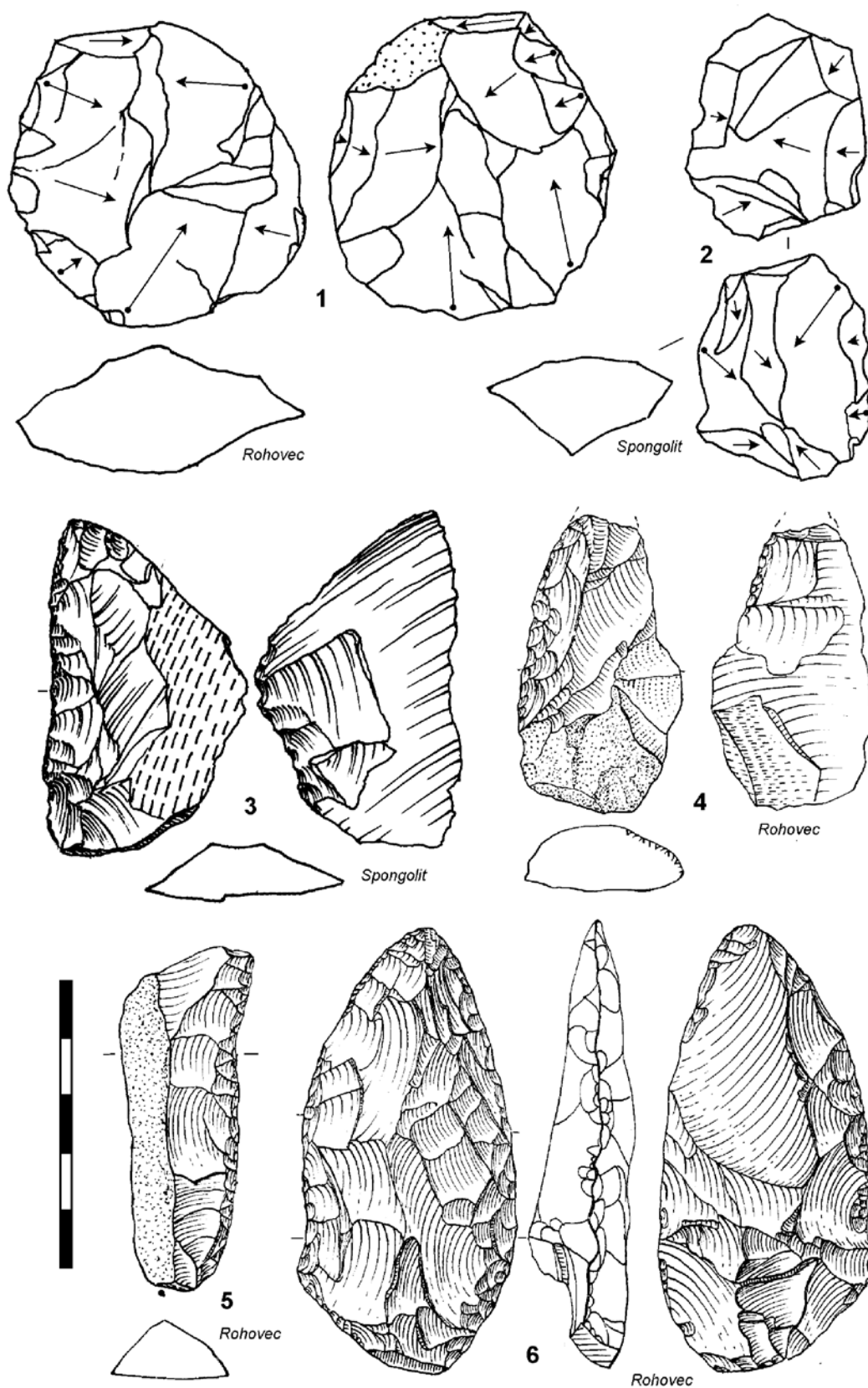


Obr. 34. Jeskyně Kůlna, vr. 7c. Prostorové členění.
 Fig. 34. Kůlna Cave, layer 7c. Spatial structure.



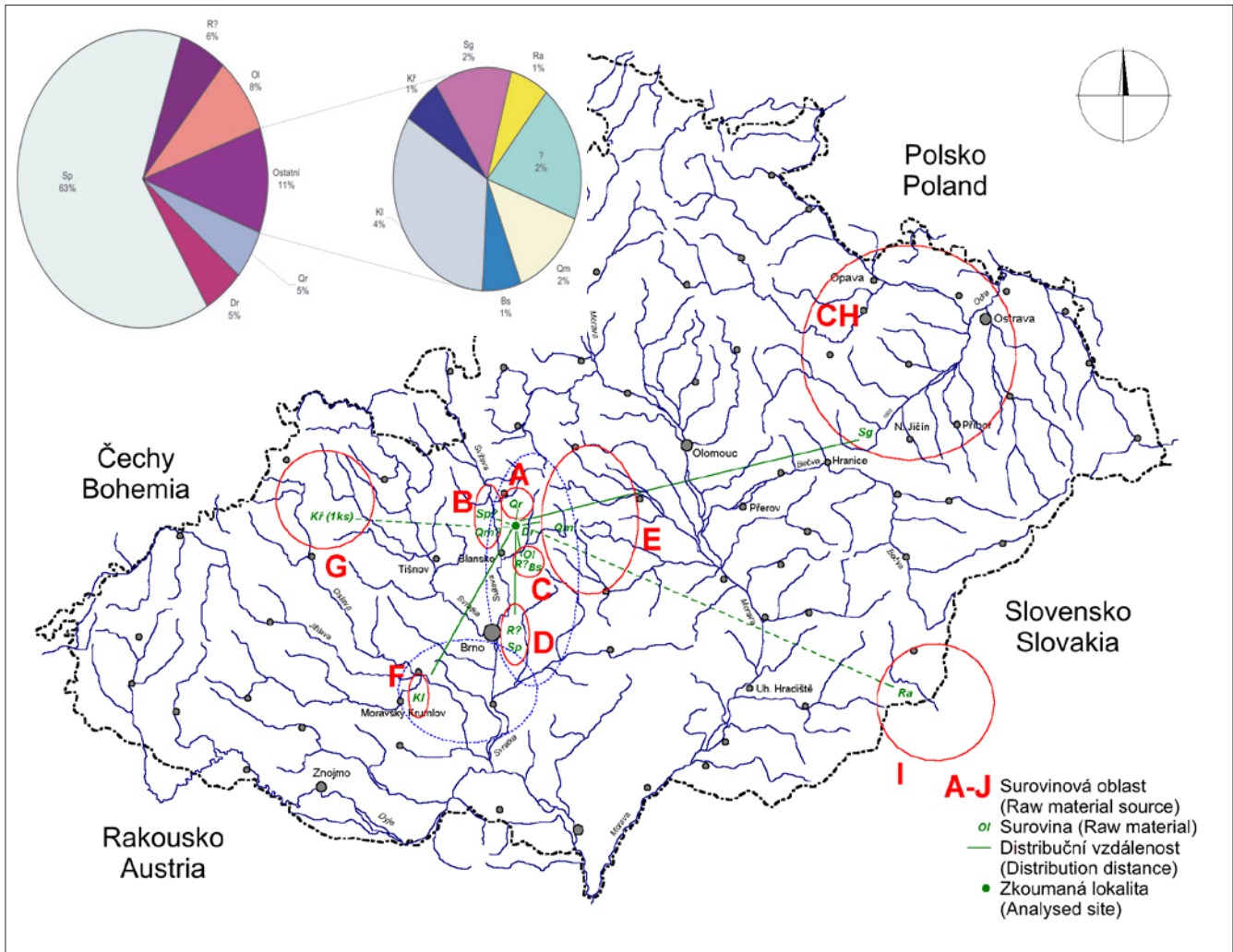
Obr. 35. Jeskyně Kůlna, vr. 7c. Výběr kostěných předmětů se stopami manipulace. 1-6 – retušéry; 5-6, 7-8 – kosti s rytými (?) rýhami; 9 – retušovaný (?) odštěp kosti. Podle Valoch 1988b.

Fig. 35. Kůlna Cave, layer 7c. Selection of bone artefacts with traces of work. 1-6 – soft-hammers (retouchers); 5-6, 7-8 – bones with incised (?) grooves; 9 – retouched (?) bone blank. After Valoch 1988b.

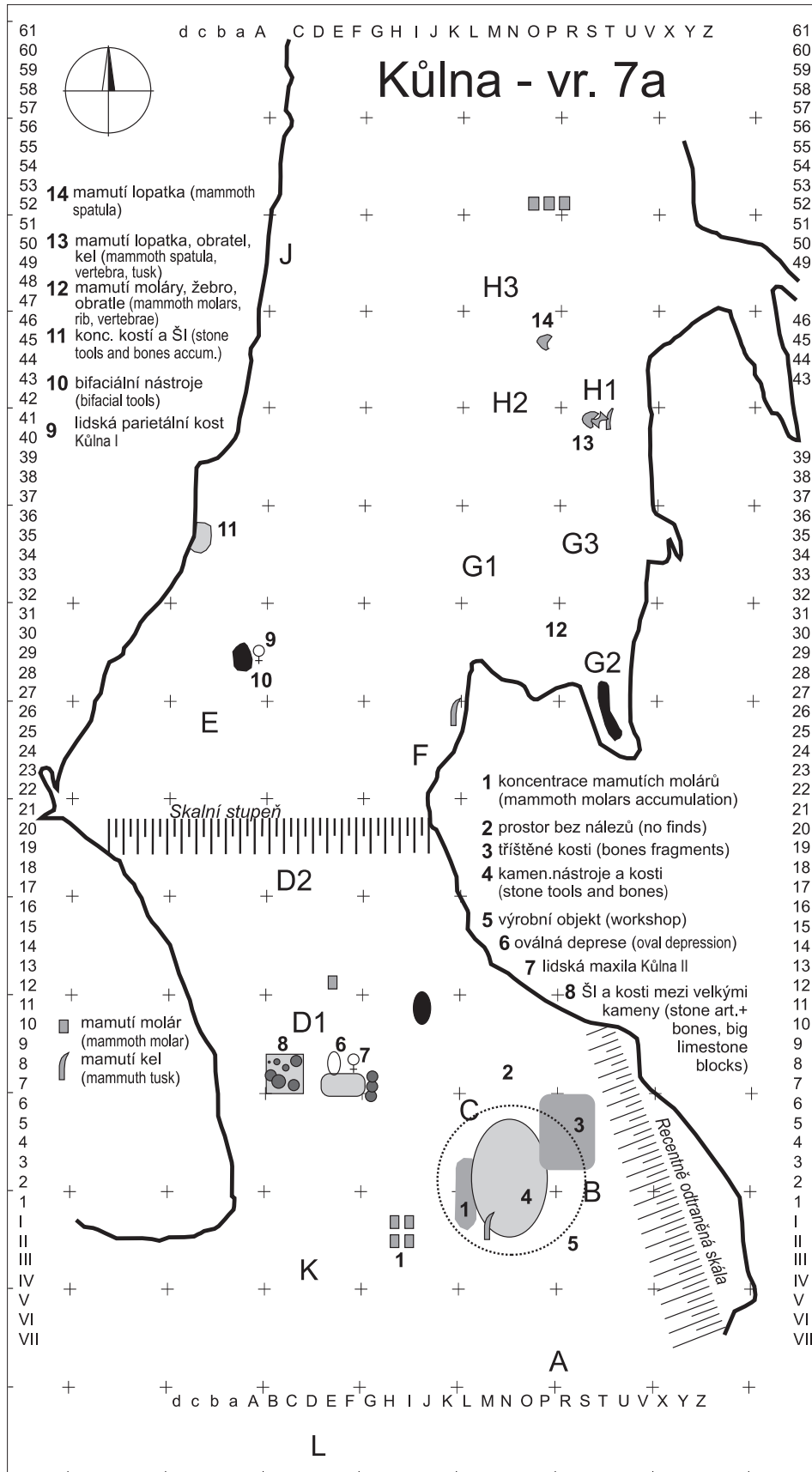


Obr. 36. Jeskyně Kůlna, vr. 7c. 1, 2 – diskoidní jádra; 3 – úhlové drasadlo se ztenčeným hřbetem; 4 – klínový nůž; 5 – retušovaná čepel; 6 – listovitý klínek. 4-6 podle Valoch 1988b.

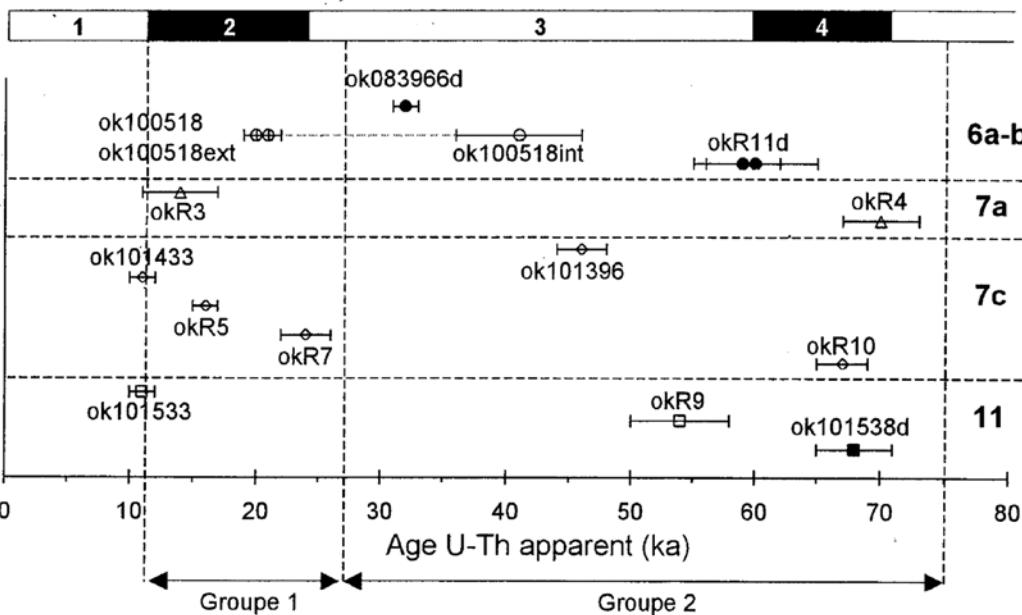
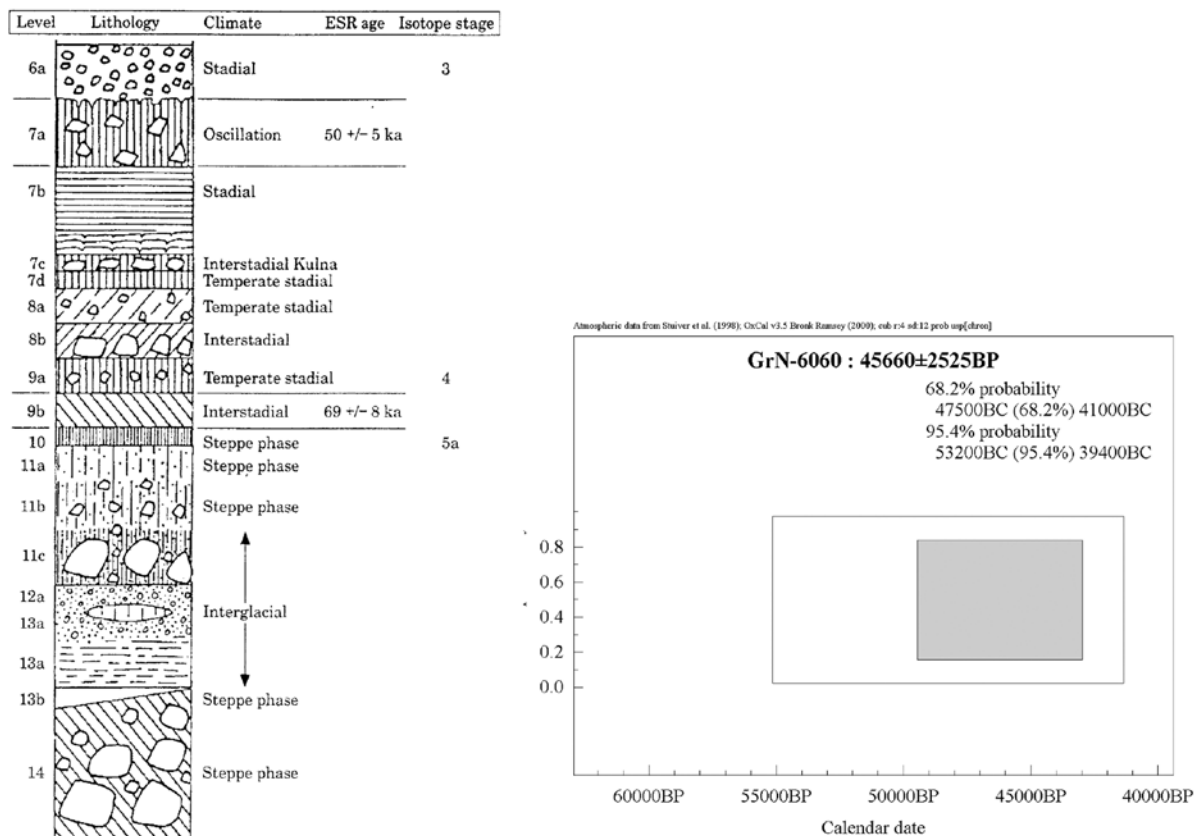
Fig. 36. Kůlna Cave, layer 7c. 1, 2 – discoid cores; 3 – offset (dējété) side scraper with thinned back; 4 – bifacial backed knives; 5 – retouched blade; 6 – small leaf-shaped hand-axe. 4-6 after Valoch 1988b.



Obr. 37. Jeskyně Kůlna, vr. 7c. Skladba kamenné suroviny a její distribuce v rámci Moravy. Zkratky viz příloha 1N.
 Fig. 37. Kůlna Cave, layer 7c. Composition of raw materials and Moravian distribution map. For abbreviations, see Appendix 1N.

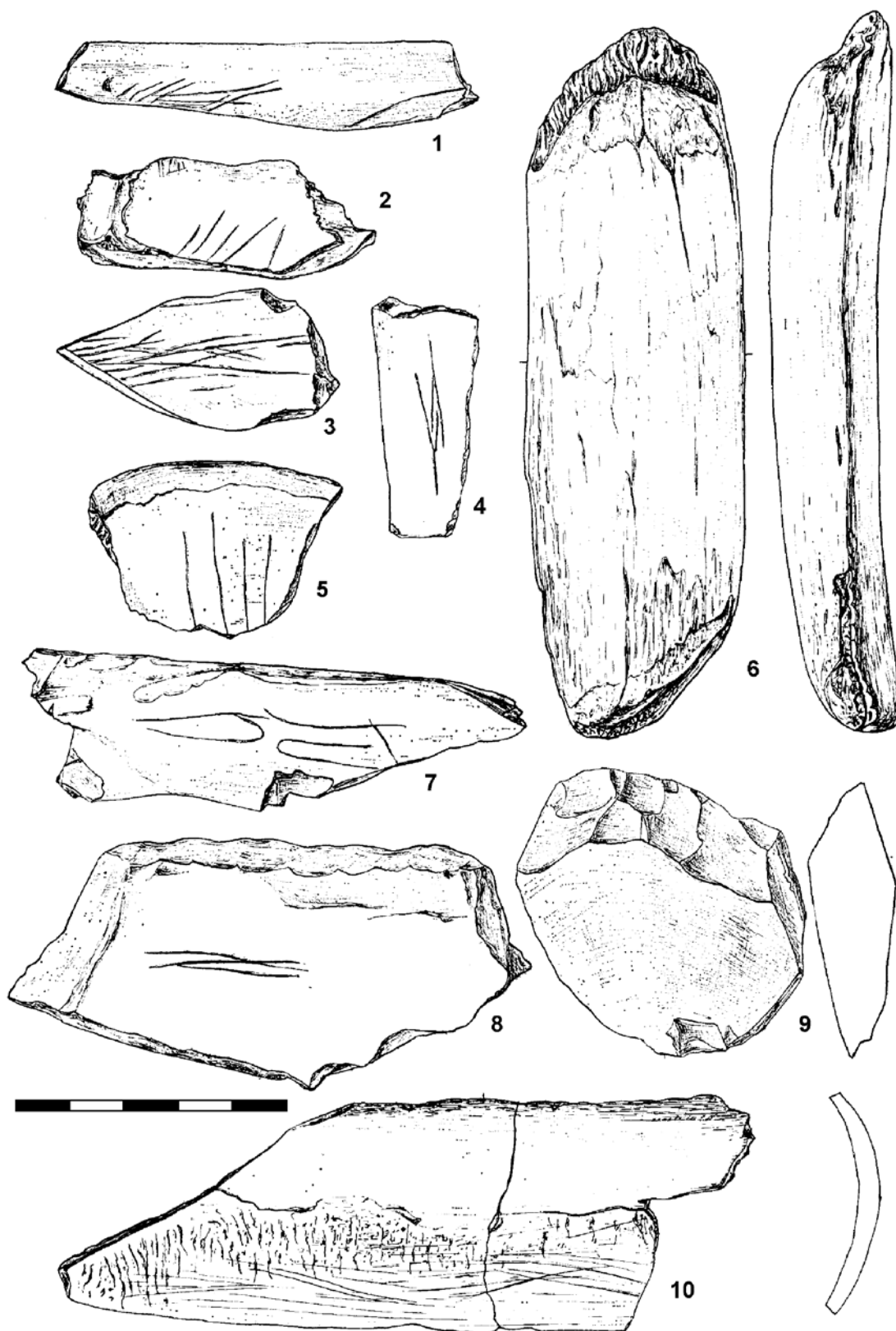


Obr. 38. Jeskyně Kůlna, vr. 7a. Prostorové členění.
 Fig. 38. Kůlna Cave, layer 7a. Spatial structure.



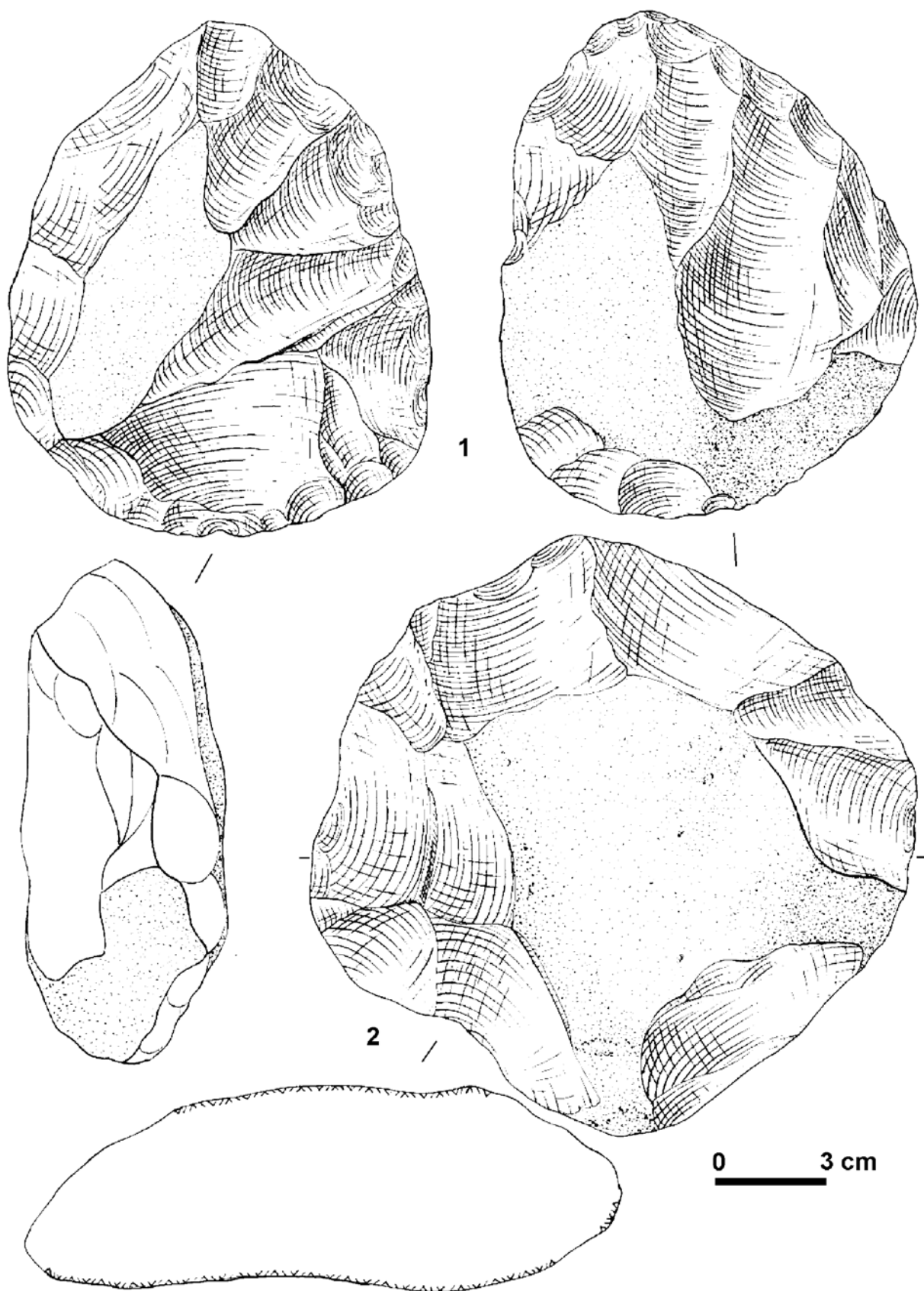
Obr. 39. Jeskyně Kůlna, vr. 7a. Stratigrafická a chronologická pozice vrstvy podle absolutních dat. a – Rink et al. 1996; b – Patou-Mathis et al. 2005; c – kalibrace dat ¹⁴C (Mook 1988) pomocí programu OxCal 3.0.

Fig. 39. Kůlna Cave, layer 7a. Stratigraphic and chronological position of layers. a – Rink et al. 1996; b – Patou-Mathis et al. 2005; c – ¹⁴C data (Mook 1988) and their calibration (OxCal 3.0).

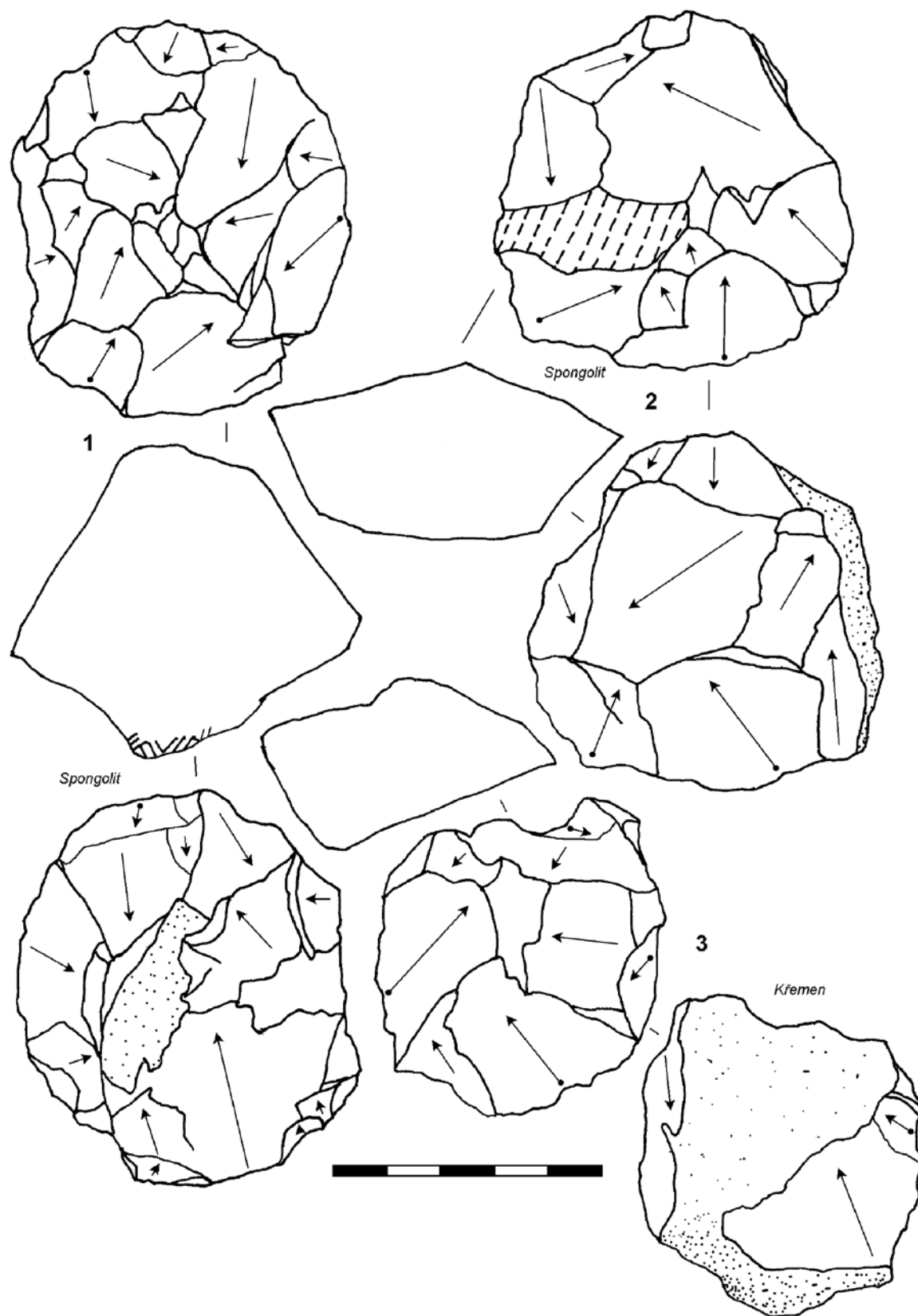


Obr. 40. Jeskyně Kůlna, vr. 7a. Výběr kostěných předmětů se stopami manipulace. 1–5, 7–8 – kosti s rytými (?) rýhami; 6 – žebro s obroušenými (?) konci; 9 – retušovaná štěpina kosti; 10 – retušér z lamely mamutiho klu. Upraveno podle Valoch 1988b.

Fig. 40. Kůlna Cave, layer 7a. Selection of bone artefacts with traces of work. 1–5, 7–8 – bones with incised (?) grooves; 6 – rib with modified (?) extremities; 9 – retouched bone fragment; 10 – soft-hammer (retoucher) of mammoth ivory lamella. After Valoch 1988b, modified.

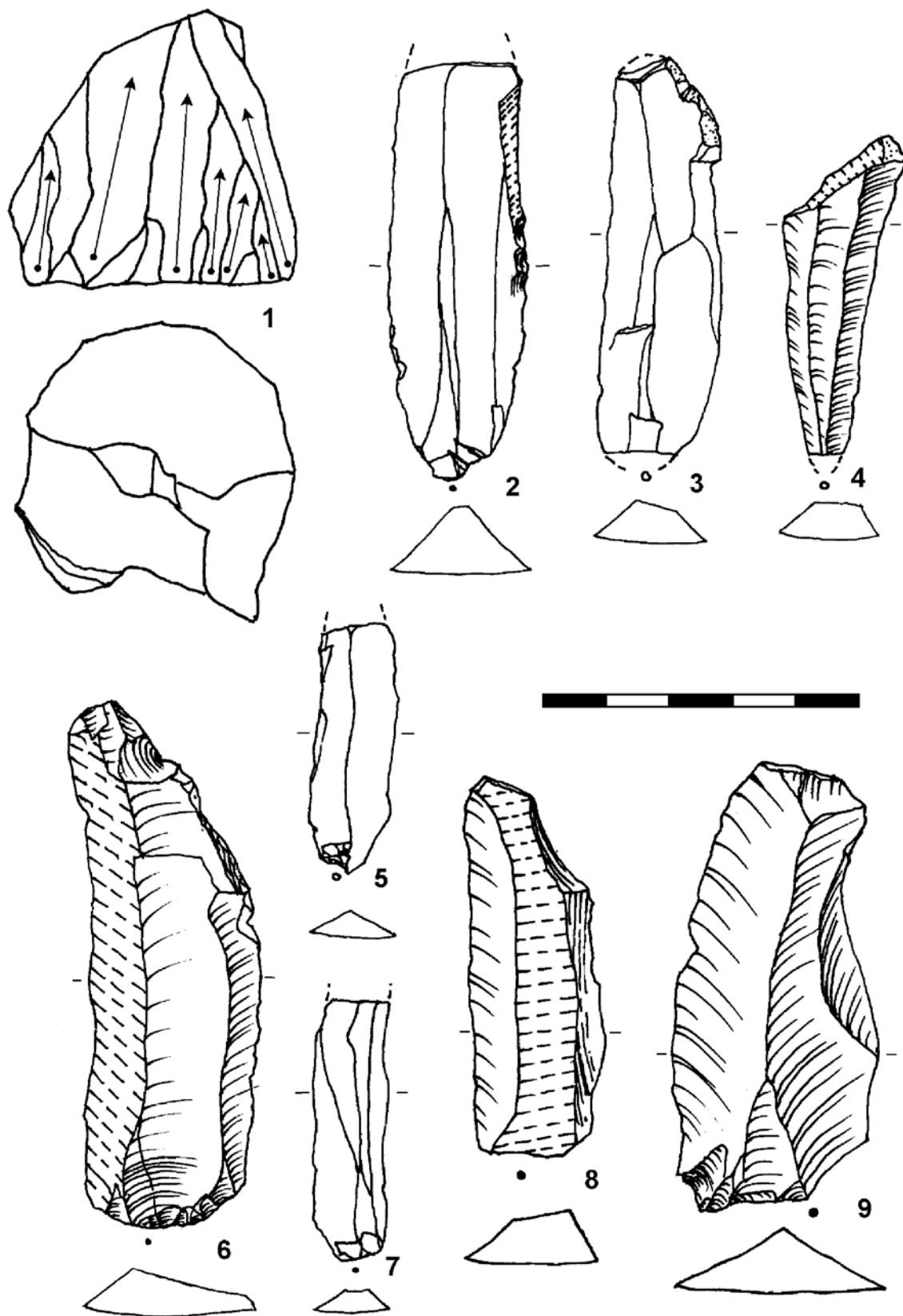


Obr. 41. Jeskyně Kůlna, vr. 7a. Sekáče (podle Valoch 1988b).
Fig. 41. Kůlna Cave, layer 7a. Chopping tools (after Valoch 1988b).



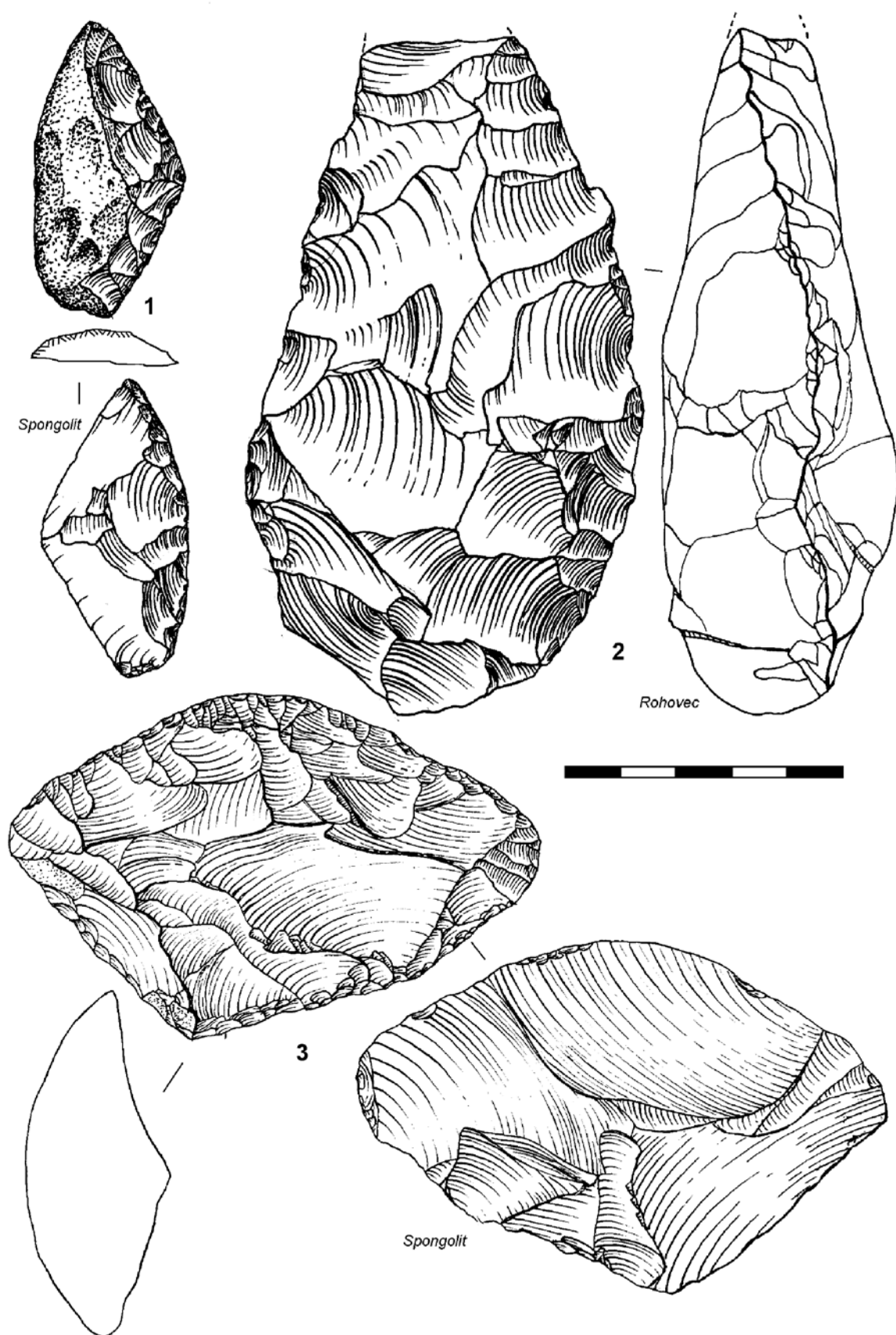
Obr. 42. Jeskyně Kůlna, vr. 7a. Diskoidní metoda. 1 – diskoidní jádro *sensu stricto*; 2–3 – subdiskoidní jádra s hierarchizovanými plochami.

Fig. 42. Kůlna Cave, layer 7a. Discoid method. 1 – discoid core *sensu stricto*; 2–3 – subdiscoid cores with hierarchical surfaces. 1, 2 – spongolith; 3 – quartz.

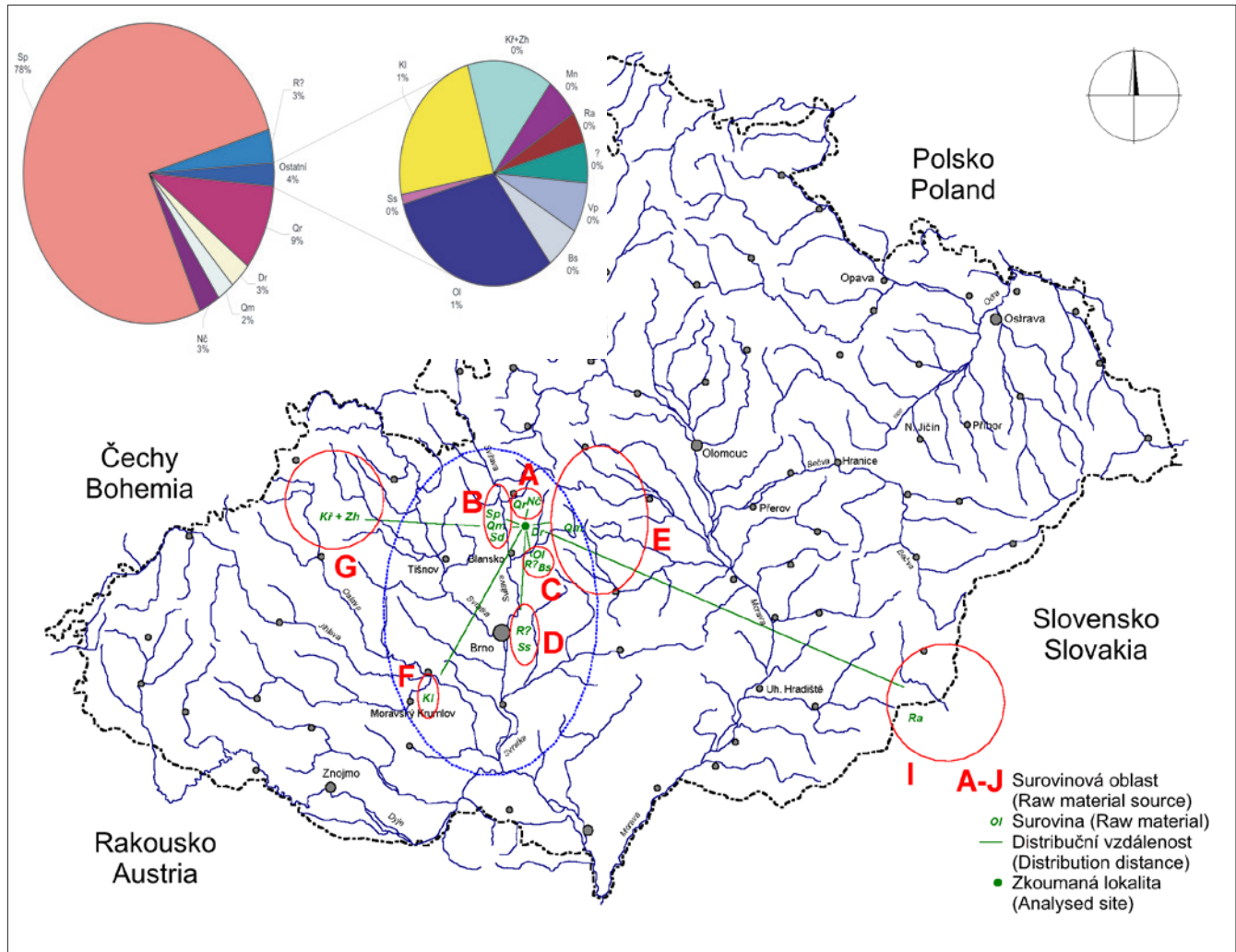


Obr. 43. Jeskyně Kůlna, vr. 7a. Prismatická metoda. 1 – pyramidální jádro s paralelní těžbou; 2–9 – výběr čepelových polotovarů; 2, 6 – čepele se stopami použití.

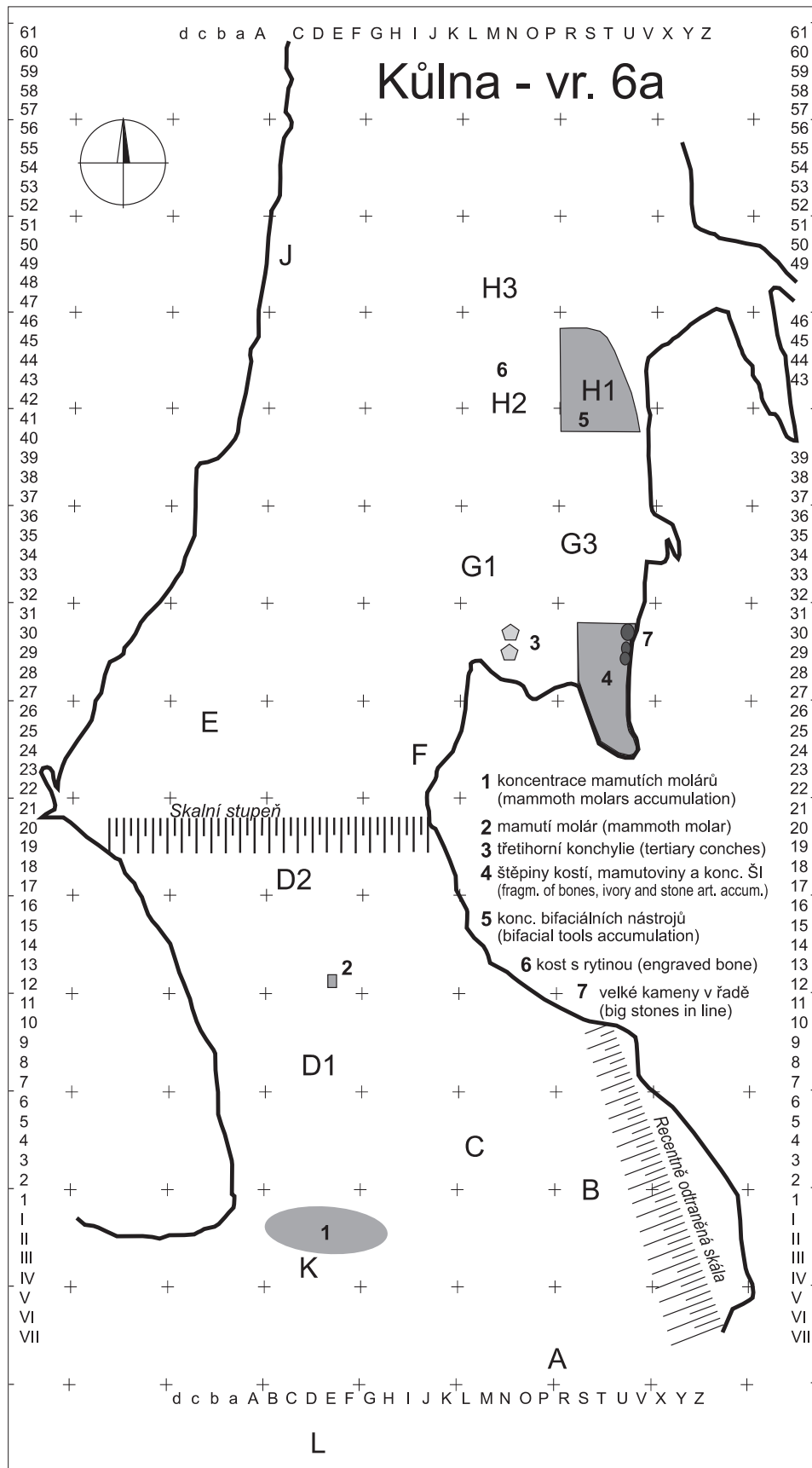
Fig. 43. Kůlna Cave, layer 7a. Prismatic method. 1 – pyramidal unidirectional cores; 2–9 – blade supports; 2, 6 – blades with traces of use.



Obr. 44. Jeskyně Kůlna, vr. 7a. Nástroje. 1, 3 – drasadlové kombinace; 2 – micoquienský pěstní klín. 3 – podle Valoch 1988b.
 Fig. 44. Kůlna Cave, layer 7a. Tools. 1, 3 – combination side scrapers; 2 – Micoquian hand-axe. 3 – after Valoch 1988b.



Obr. 45. Jeskyně Kůlna, vr. 7a. Skladba kamenné suroviny a její distribuce v rámci Moravy. Zkratky viz příloha 1N.
 Fig. 45. Kůlna Cave, layer 7a. Composition of raw materials and Moravian distribution map. For abbreviations, see Appendix 1N.

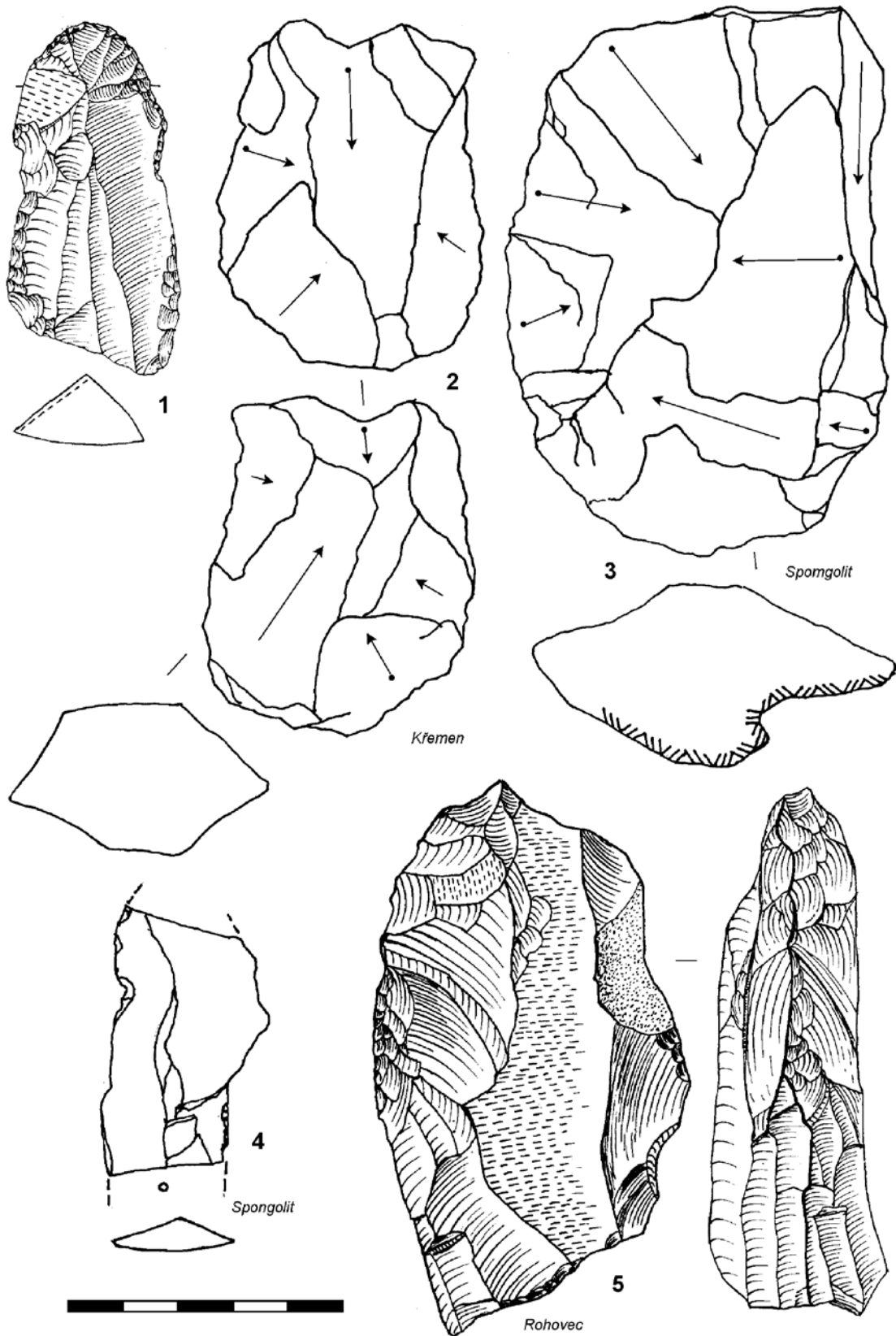


Obr. 46. Jeskyně Kůlna, vr. 6a. Prostorové členění.
 Fig. 46. Kůlna Cave, layer 6a. Spatial structure.



Obr. 47. Jeskyně Kůlna. Stratigrafická pozice vrstvy 6a. (a) – profil č. 8 ve čtvercích 13/A–F; (b) – profil č. 11 ve čtverci 29–37/P. Upraveno podle Valoch 1988b.

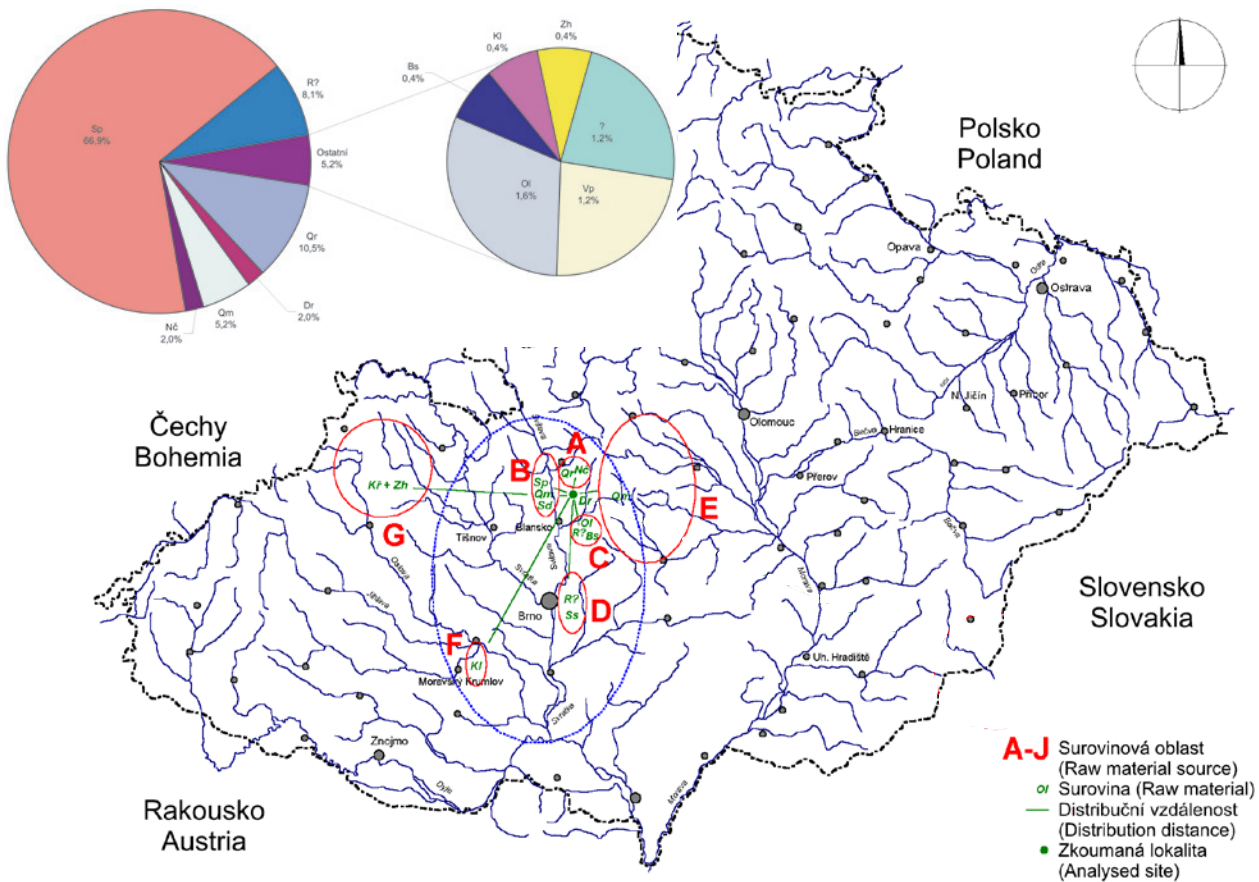
Fig. 47. Kůlna Cave. Stratigraphic position of layer 6a. (a) – profile n. 8 (13/A–F m²); (b) – profile n. 11 (29–37/P m²). After Valoch 1988b, modified.



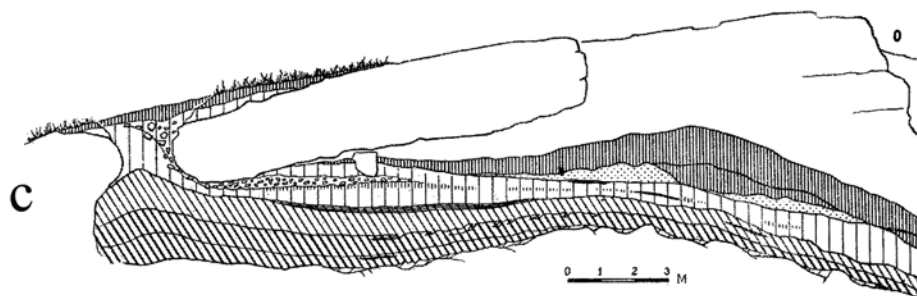
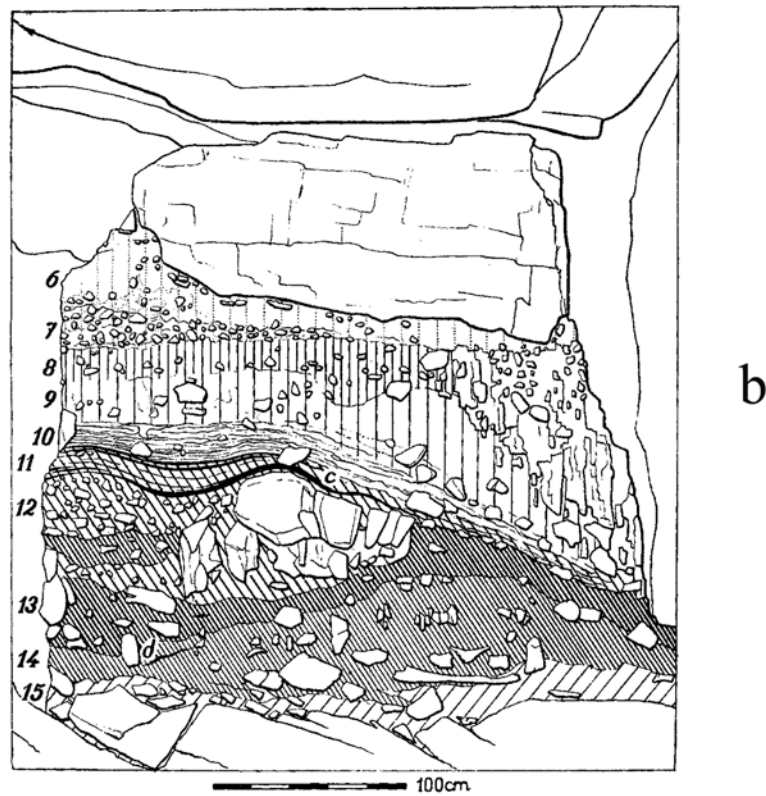
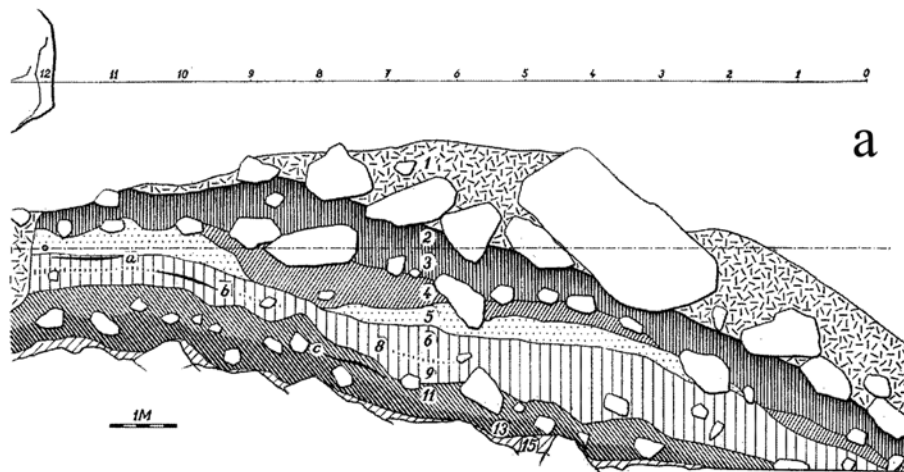
Obr. 48. Jeskyně Kůlna, vr. 6a. 1 – škrabadlo na retušované čepeli; 2–3 – subdiskoidní jádra s hierarchizovanými plochami; 4 – zlomek čepel se stopami použití; 5 – čepelové jádro na bifaciálním předmětu. 1, 5 – upraveno podle *Valoch 1988b*.
 Fig. 48. Kůlna Cave, layer 6a. 1 – end scraper on a retouched blade; 2–3 – subdiscoid cores with hierarchical surfaces; 4 – blade fragment with traces of use; 5 – blade core (unidirectional) on a bifacial support. 1, 5 – after *Valoch 1988b*, modified.



Obr. 49. Jeskyně Kůlna, vr. 6a. Dvolučí sekáč.
Fig. 49. Kůlna Cave, layer 6a. Chopping tool.

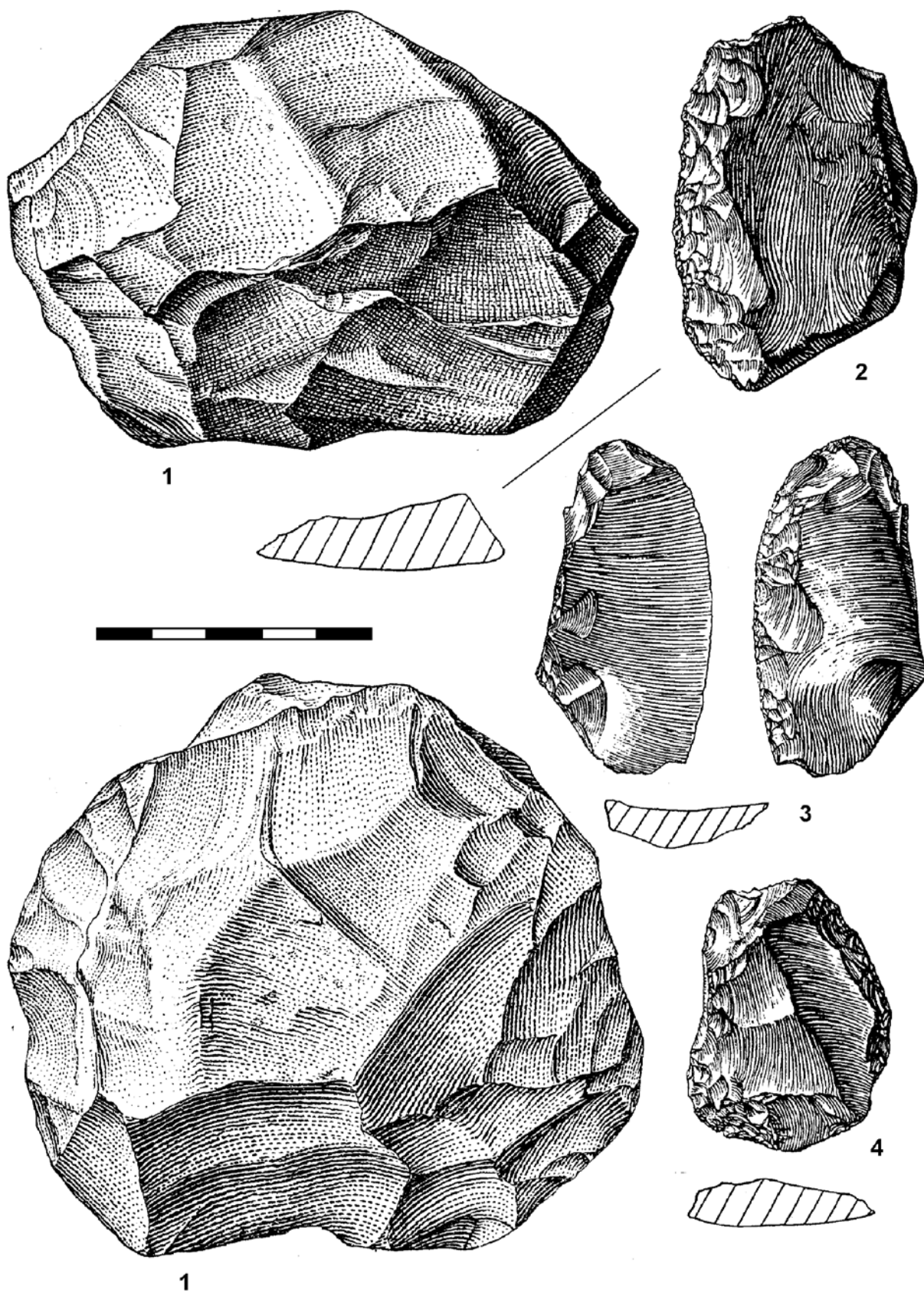


Obr. 50. Jeskyně Kůlna, vr. 6a. Skladba kamenné suroviny a její distribuce v rámci Moravy. Zkratky viz příloha 1N.
Fig. 50. Kůlna Cave, layer 6a. Composition of raw materials and Moravian distribution map. For abbreviations, see Appendix 1N.

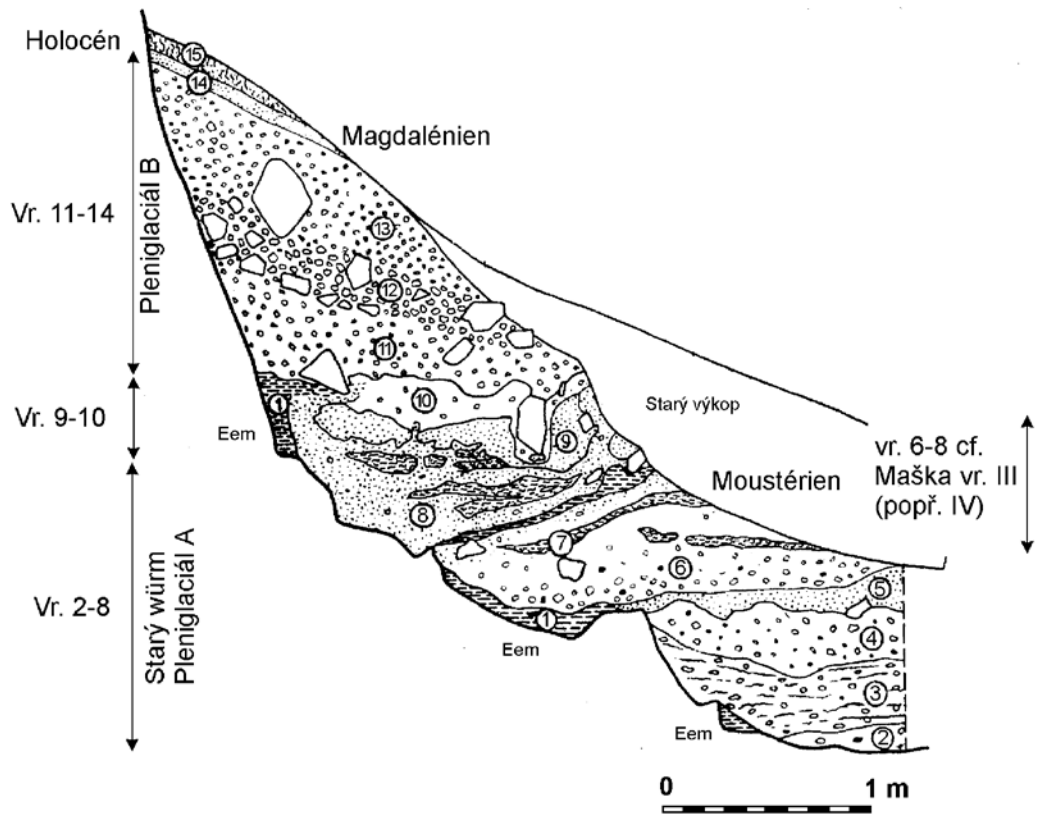


Obr. 51. Jeskyně Švédův stůl. Stratigrafická pozice středopaleolitických vrstev 11–14. a – sedimenty před jeskyní; b – příčný profil; c – podélný profil (podle Klíma 1962, Figs. 6, 7, 11).

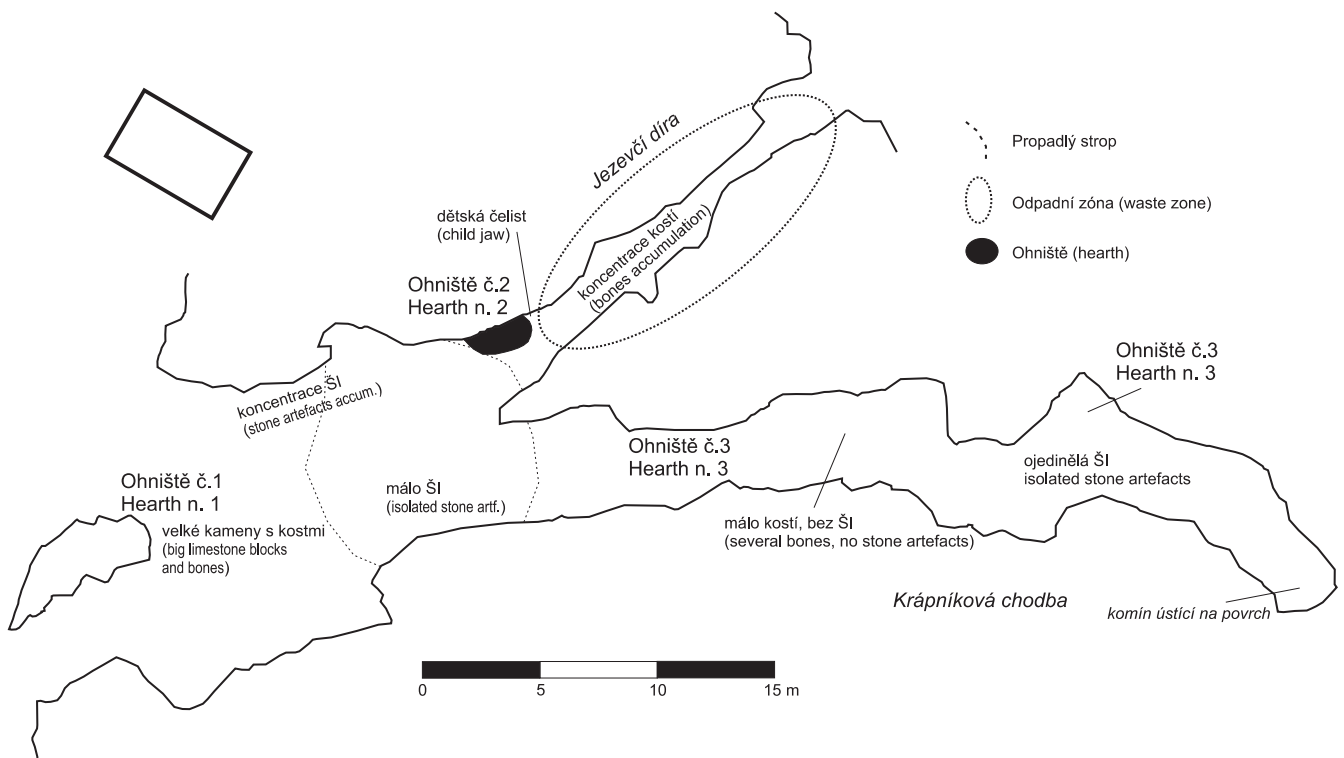
Fig. 51. Švédův stůl Cave. Stratigraphic position of Middle Palaeolithic layers 11–14. a – sediments in front of the cave; b – transverse profile; c – longitudinal profile (after Klíma 1962, Figs. 6, 7, 11).



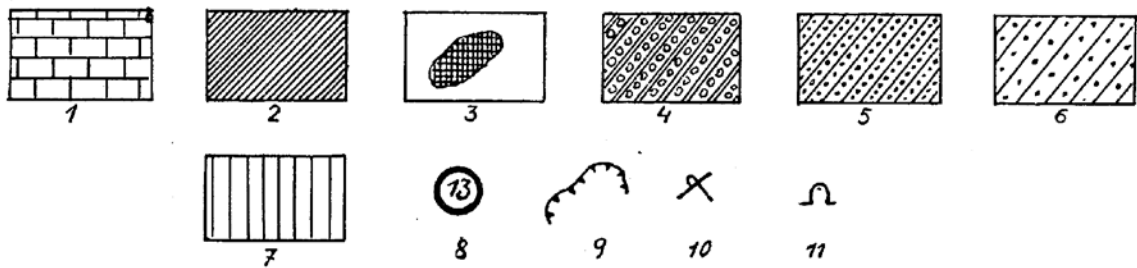
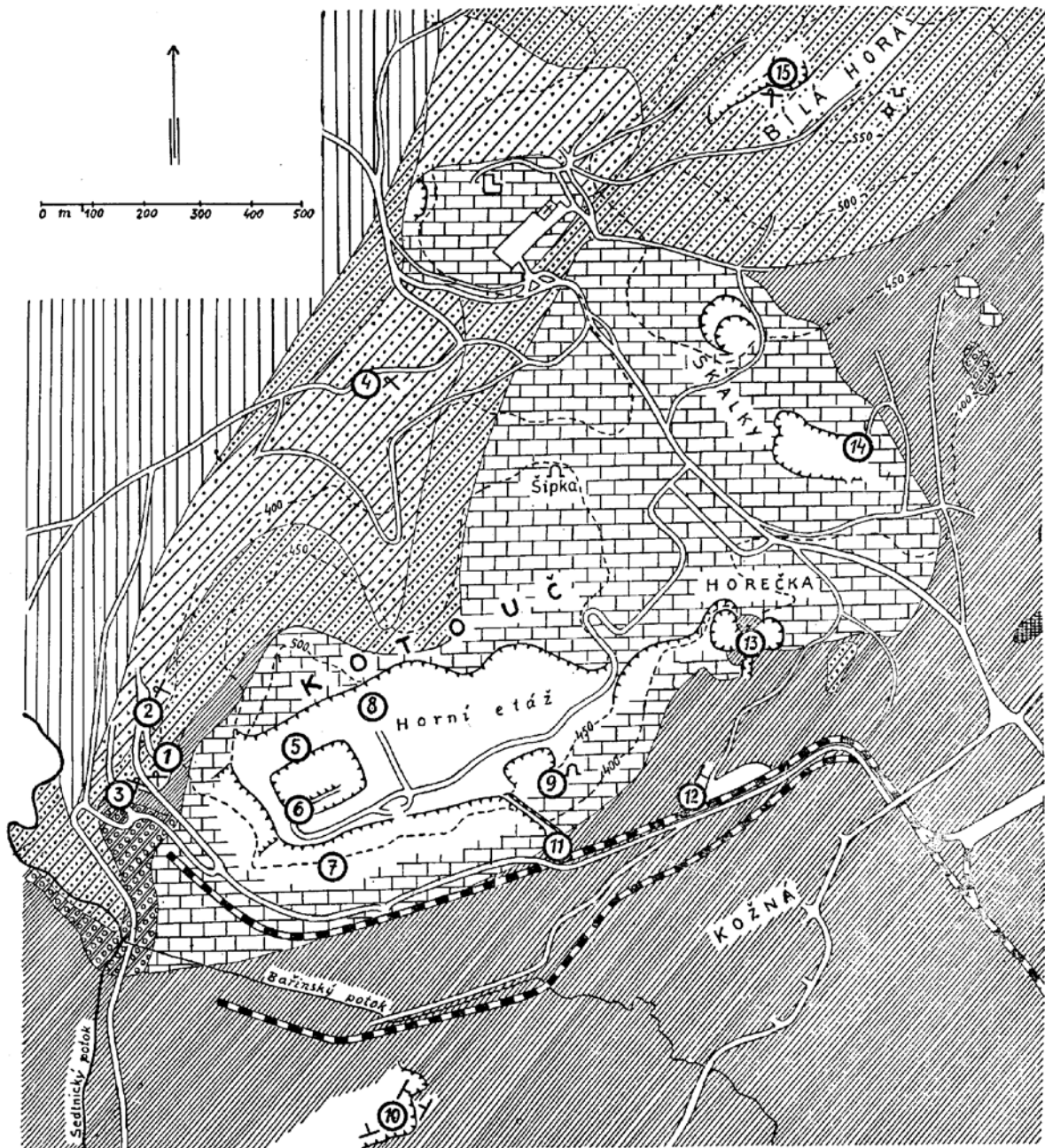
Obr. 52. Jeskyně Švédův stůl. Výběr kamenné industrie. 1 – diskoidní jádro; 2–4 – drasadla (podle Klíma 1962).
 Fig. 52. Švédův stůl Cave. Selection of stone products. 1 – discoid core; 2–4 – side scrapers (after Klíma 1962).



Obr. 53. Jeskyně Šipka. Chronostratigrafická pozice moustérienu. Korelace výzkumu K. J. Mašky a L. Proška (*Kukla 1954; Valoch 1965a*).
 Fig. 53. Šipka Cave. Mousterian chronostratigraphic position. Correlation of K. J. Maška's a L. Prošek's excavations (*Kukla 1954; Valoch 1965a*).

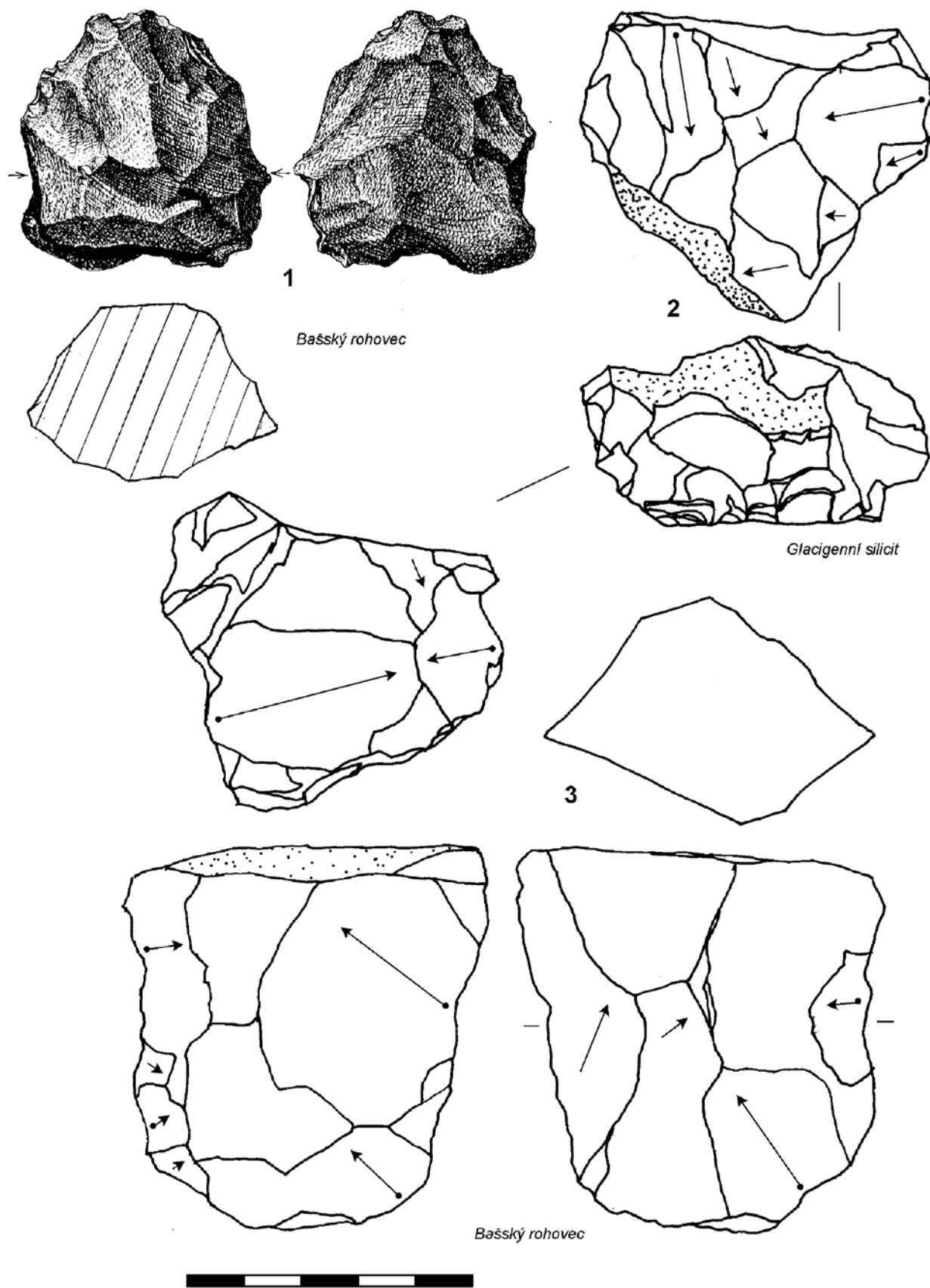


Obr. 54. Jeskyně Šipka. Prostorové členění.
 Fig. 54. Šipka Cave. Spatial structure.

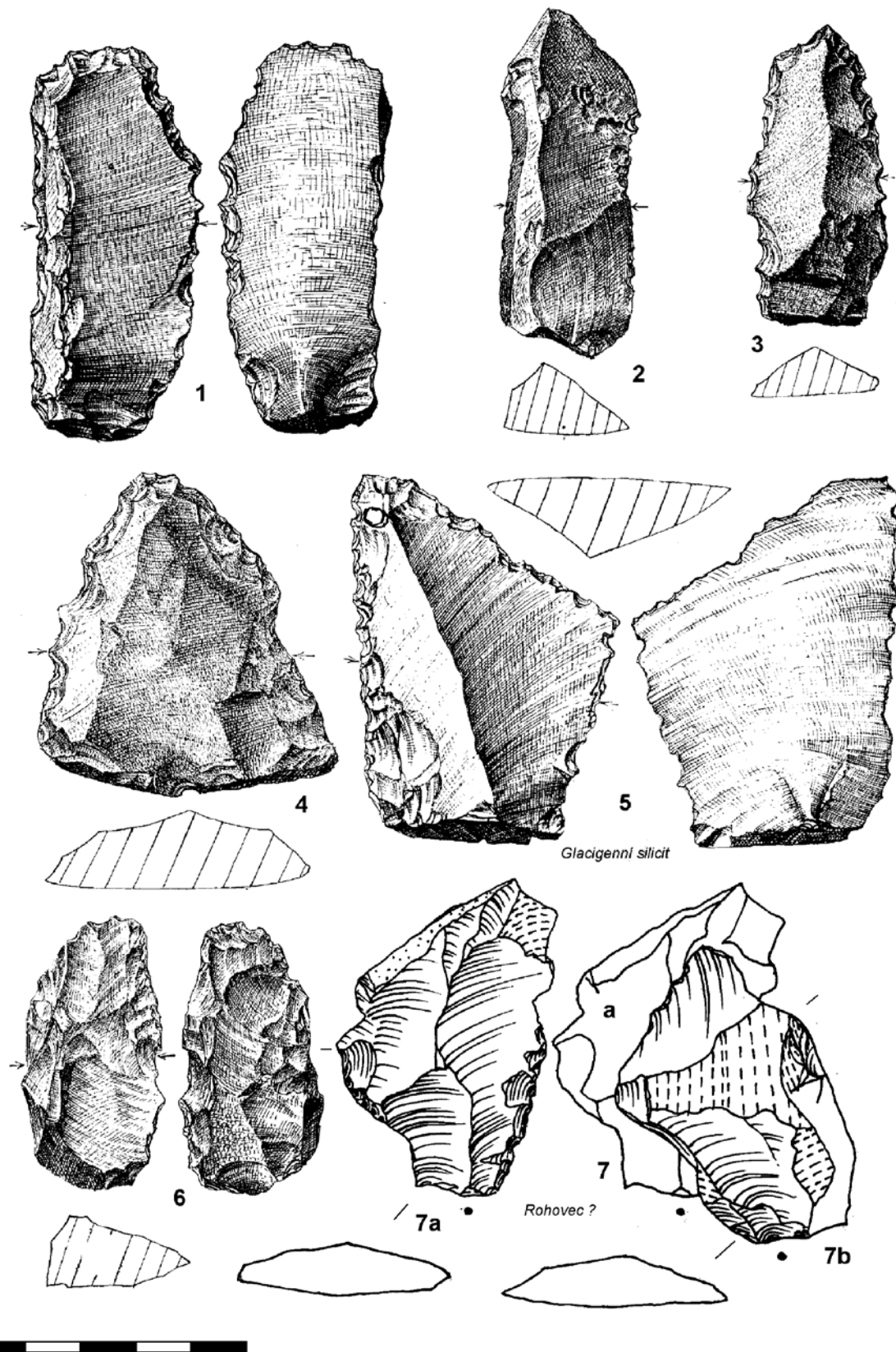


Obr. 55. Geologická mapa štramberkého okolí s pozicí jeskyně Šipky (Sekanina 1961). 1 – štramberký vápenec; 2 – těšínsko-hradištské vrstvy; 5 – baškové vrstvy, možné zdroje rohovců; 9 – jeskyně Psi kostelík.

Fig. 55. Geological map of the Štramberk region with the position of Šipka Cave (Sekanina 1961). 1 – limestone; 2 – "Těšínko-hradištské" layers; 5 – "Baška" layers, possible sources of chert; 9 – Psi kostelík Cave.

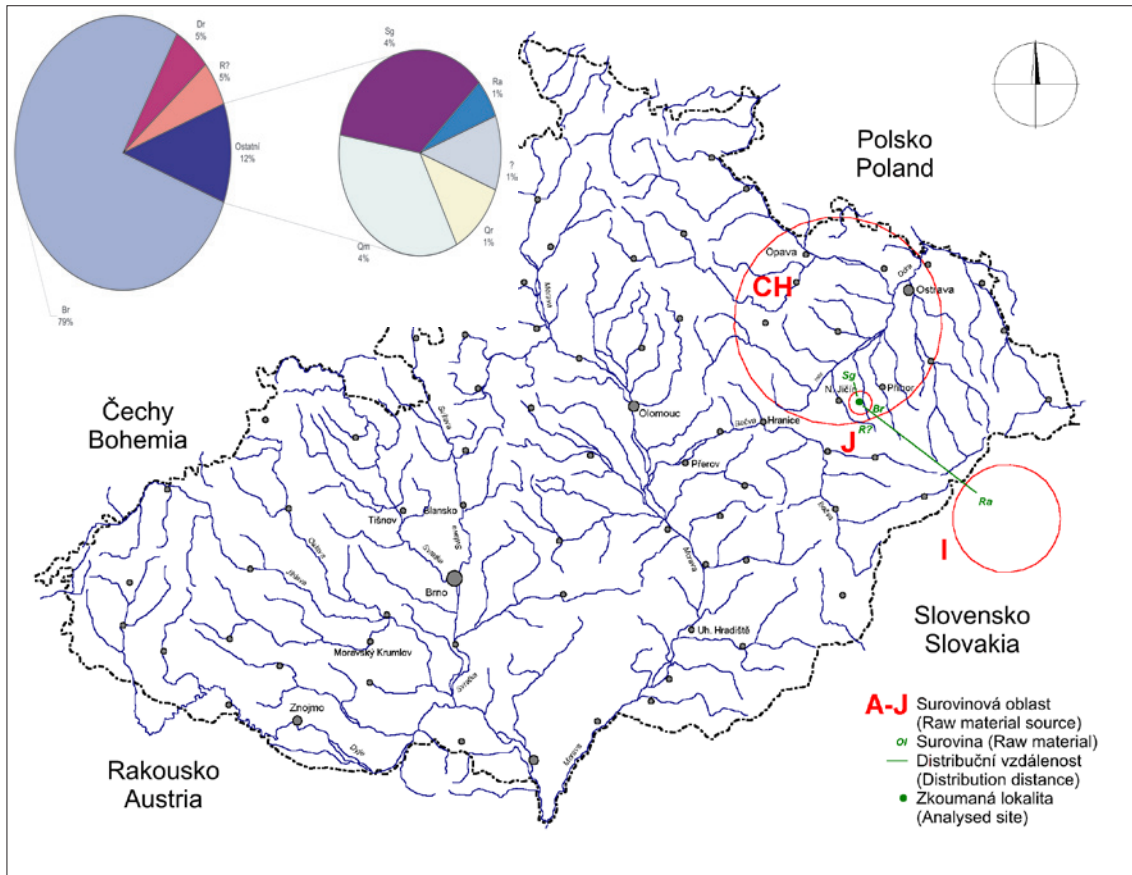


Obr. 56. Jeskyně Šipka. Subdiskoidní jádra. 1 – podle Valoch 1965a.
 Fig. 56. Šipka Cave. Subdiscoid cores. 1 – after Valoch 1965a.

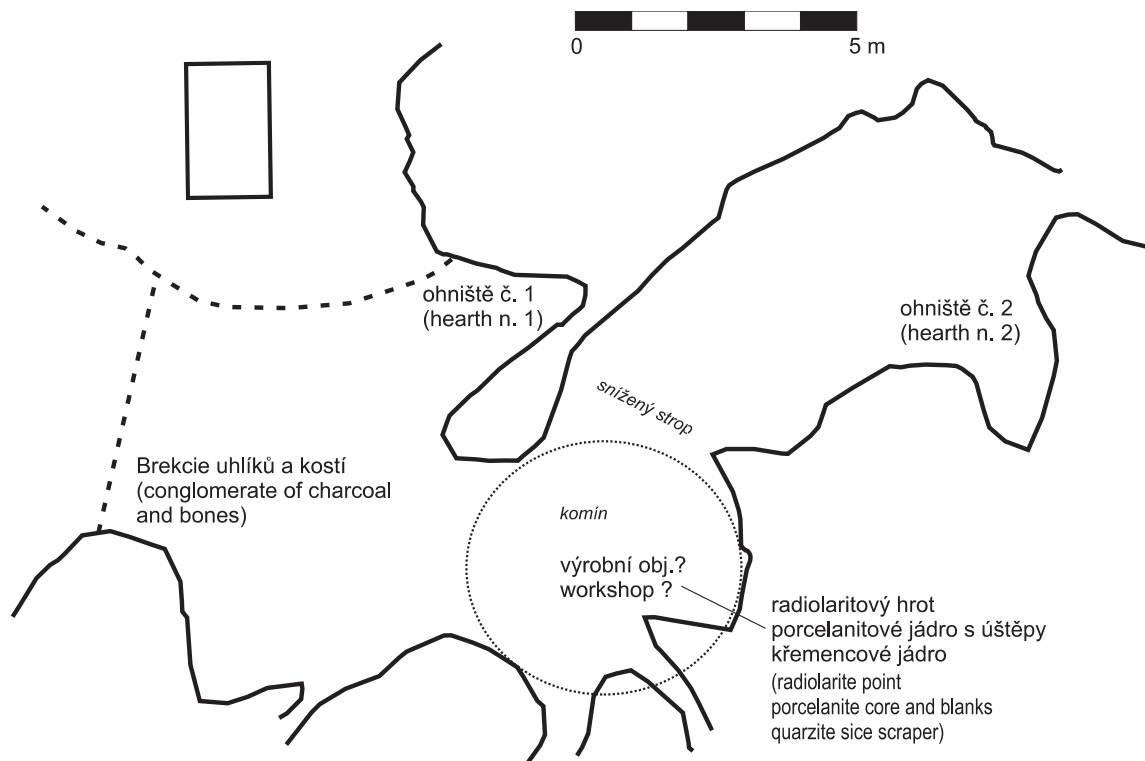


Obr. 57. Jeskyně Šipka. Nástroje. 1 – atypické škrabadlo; 2 – čepel se stopami opotřeby; 3 – retušovaná čepel; 4 – moustérienský hrot; 5 – úhlové drasadlo; 6 – klínový nůž; 7 – skládanka dvou ústěpů, a – drasadlo. 1–6 podle Valoch 1965a.

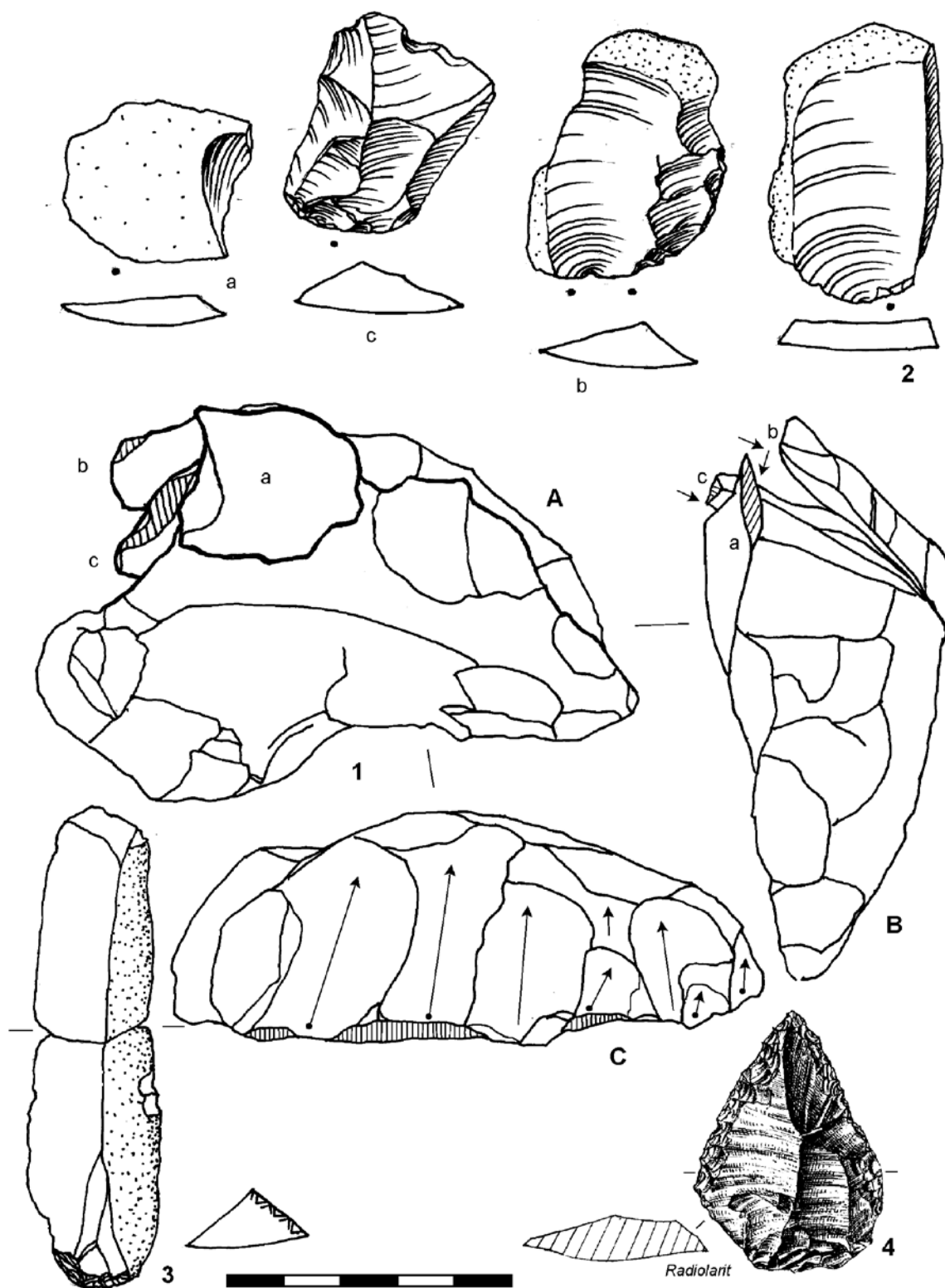
Fig. 57. Šipka Cave. Tools. 1 – atypical end scraper; 2 – blade with signs of wear from use; 3 – retouched blade; 4 – Mousterian point; 5 – offset (dájete) side scraper; 6 – backed knife; 7 – refitting of two flakes, a – side scraper. 1–6 after Valoch 1965a.



Obr. 58. Jeskyně Šipka. Skladba kamenné suroviny a její distribuce v rámci Moravy. Zkratky viz příloha 1N.
 Fig. 58. Šipka Cave. Composition of raw materials and Moravian distribution map. For abbreviations, see Appendix 1N.

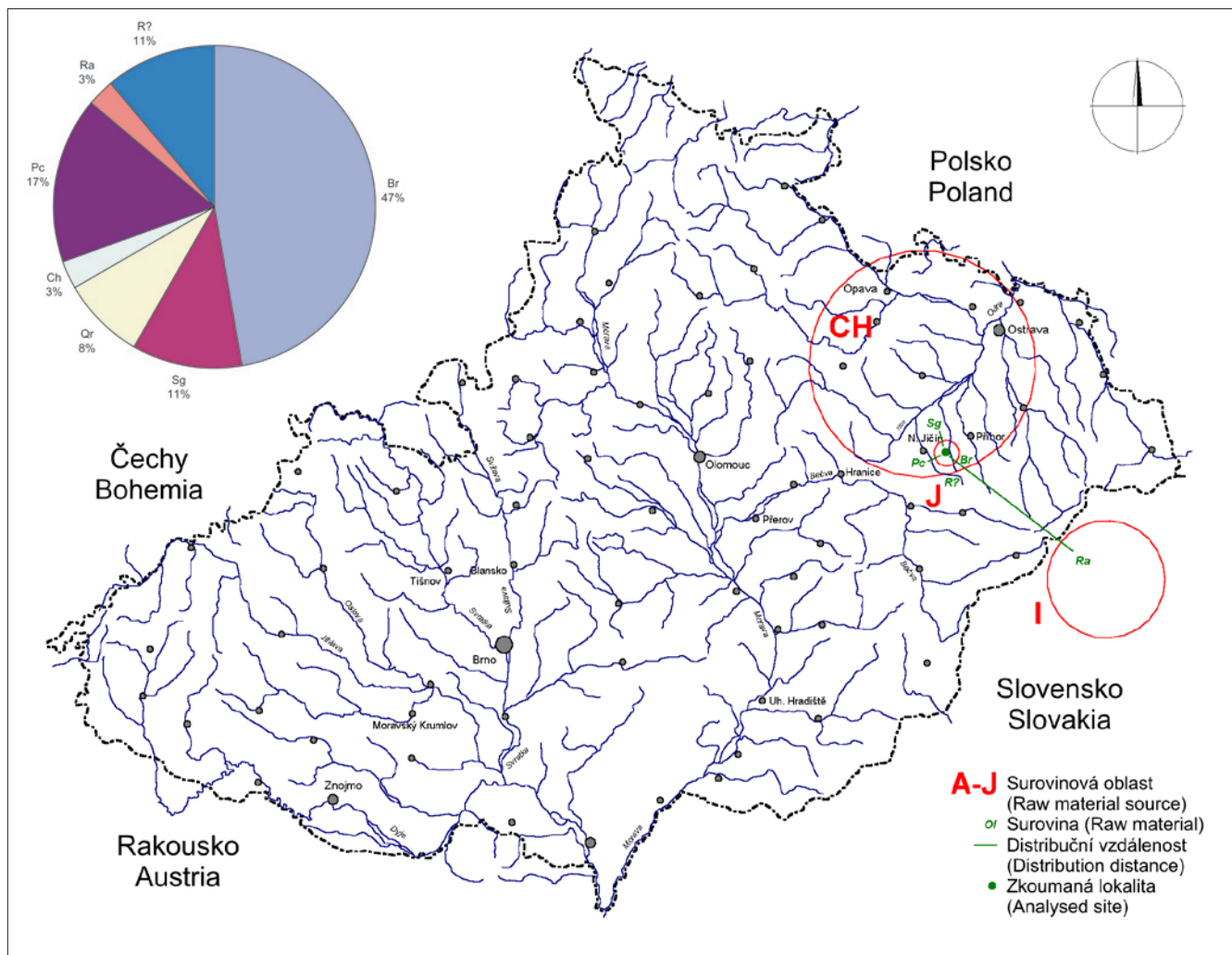


Obr. 59. Jeskyně Čertova díra. Prostorové členění (výchozí údaje: Maškovy výkopové deníky, Valoch 1965a).
 Fig. 59. Čertova díra Cave. Spatial structure (sources: Maška's field notebooks, Valoch 1965a).



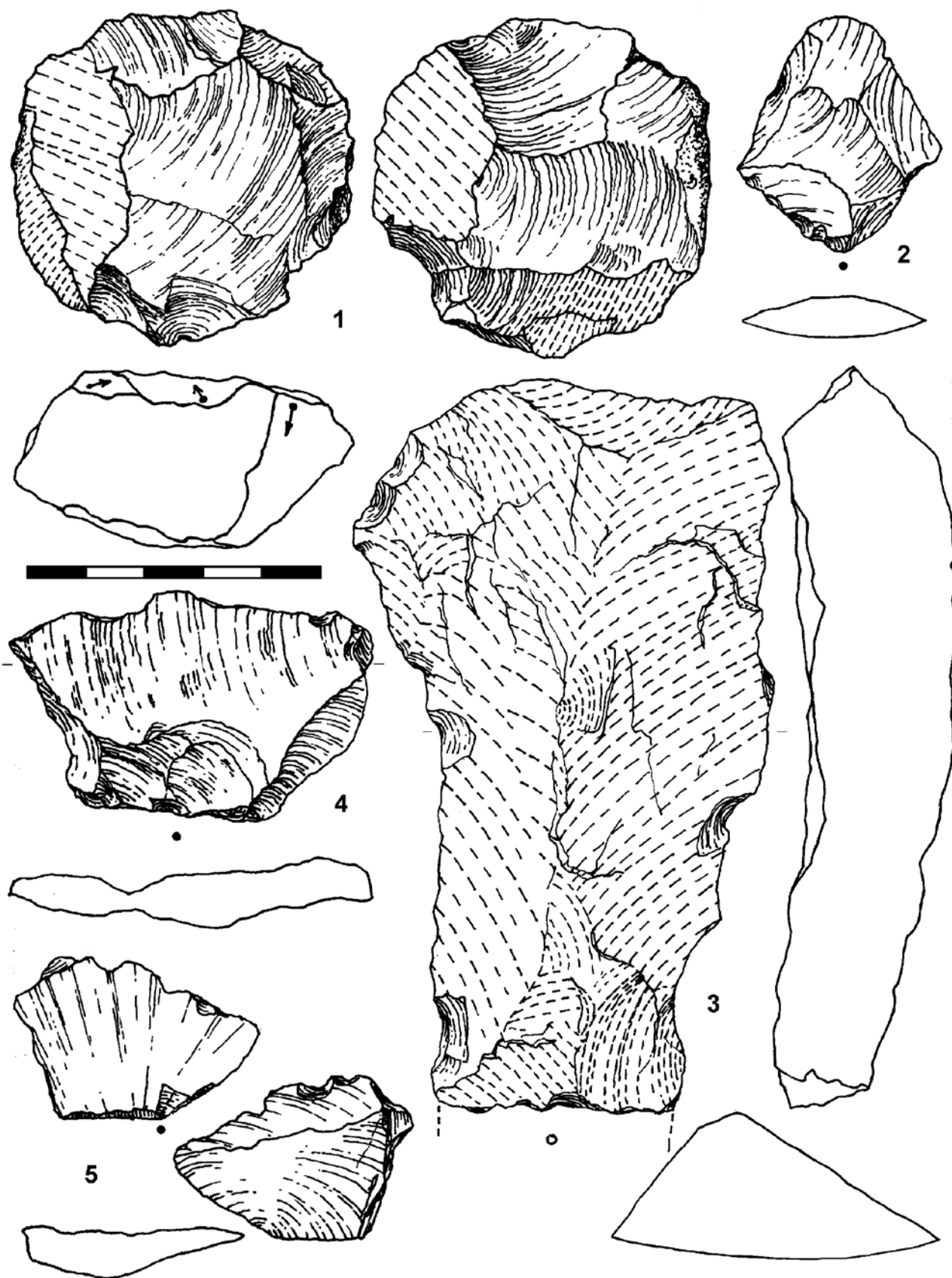
Obr. 60. Jeskyně Čertova díra. 1 – skládanka porcelanitového jádra s paralelní těžbou s úštěpem preparujícím úderovou plochu (a) a se dvěma úštěpy se zbytky kůry (b, c); A – pohled na úderovou plochu, B – boční pohled na skládanku, C – těžní plocha jádra; 2 – úštěp z místa pozice úštěpu b, ale bez styčné plochy; 3 – skládanka porcelanitové čepele; 4 – podle *Valoch 1965a*.

Fig. 60. Čertova díra Cave. Refitting of a porcelanite core (a) with parallel extraction of blanks (b, c with remainder of a cortex); A – striking platform view, B – side view, C – work surface; 2 – porcelanite blank, not refitted; 3 – refitting of porcelanite blade; 4 – Mousterian radiolarite point. 4 – after *Valoch 1965a*.

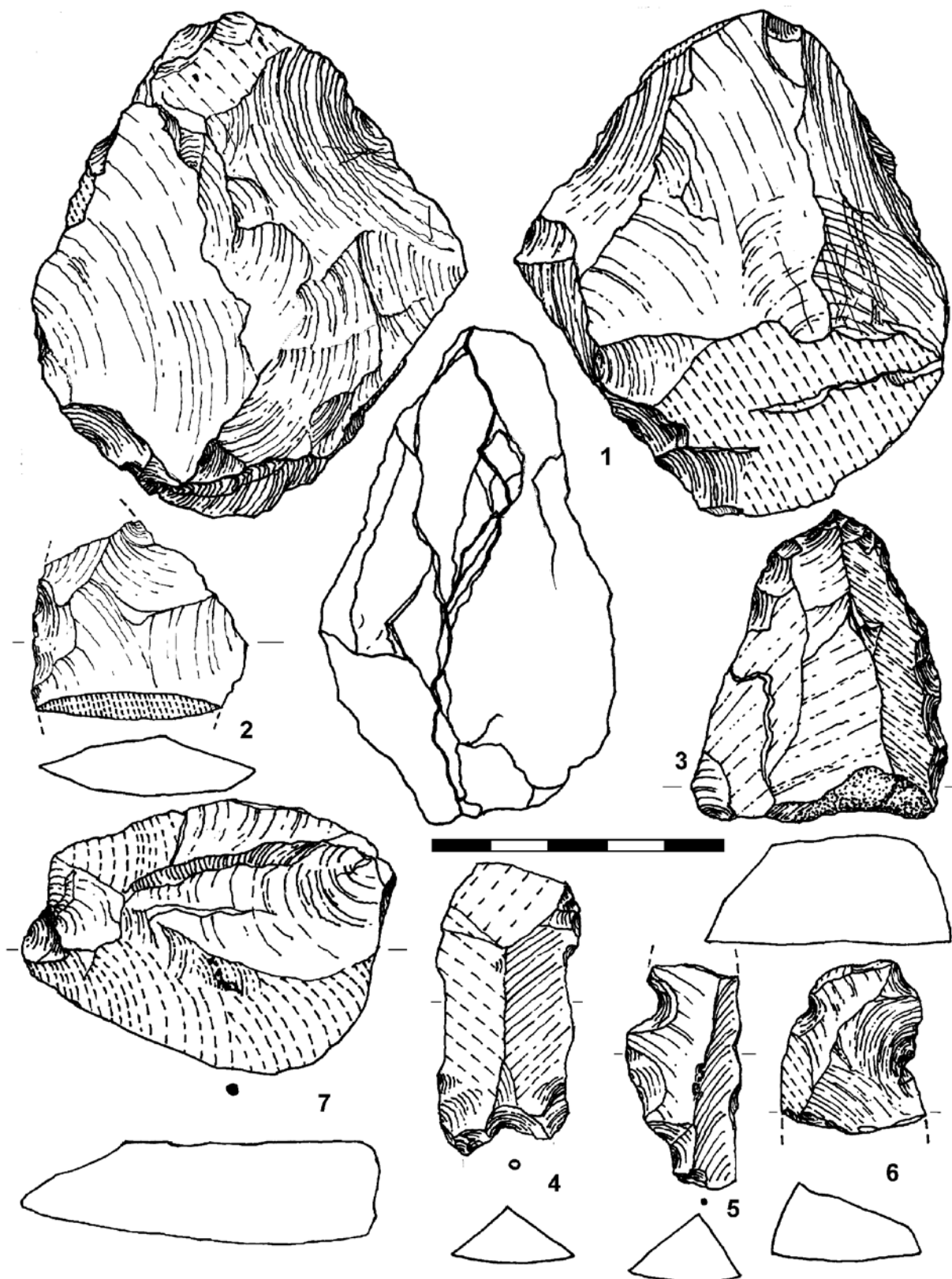


Obr. 61. Jeskyně Čertova díra. Skladba kamenné suroviny a její distribuce v rámci Moravy. Zkratky viz příloha 1N.

Fig. 61. Čertova díra Cave. Composition of raw materials and Moravian distribution map. For abbreviations, see Appendix 1N.

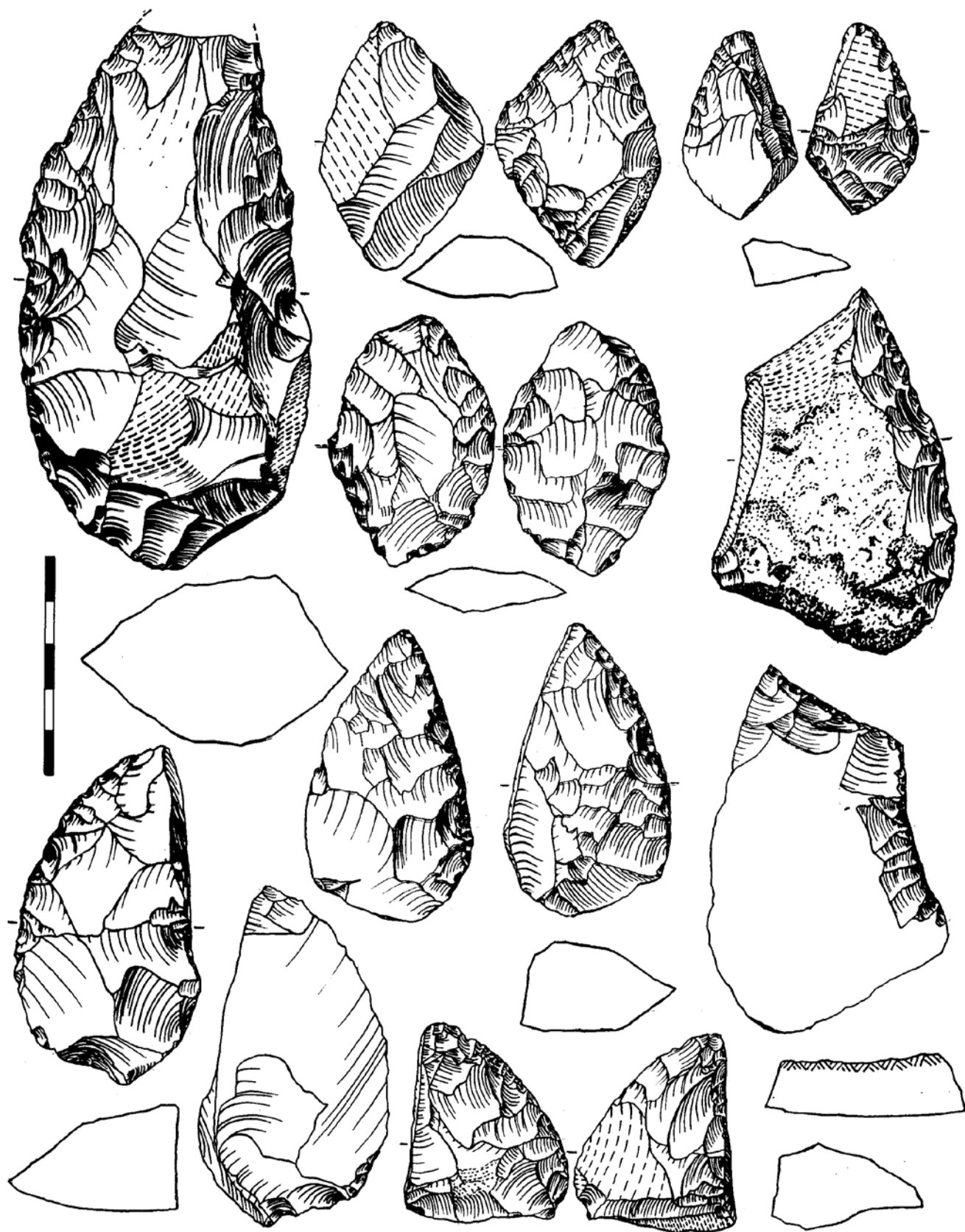


Obr. 62. NĚMČICE (okr. Blansko). Křemenná industrie. 1 – diskoidní jádro; 2–5 – odštěpy.
 Fig. 62. NĚMČICE, Blansko area. Quartz artefacts. 1 – discoid core; 2–5 – blanks.

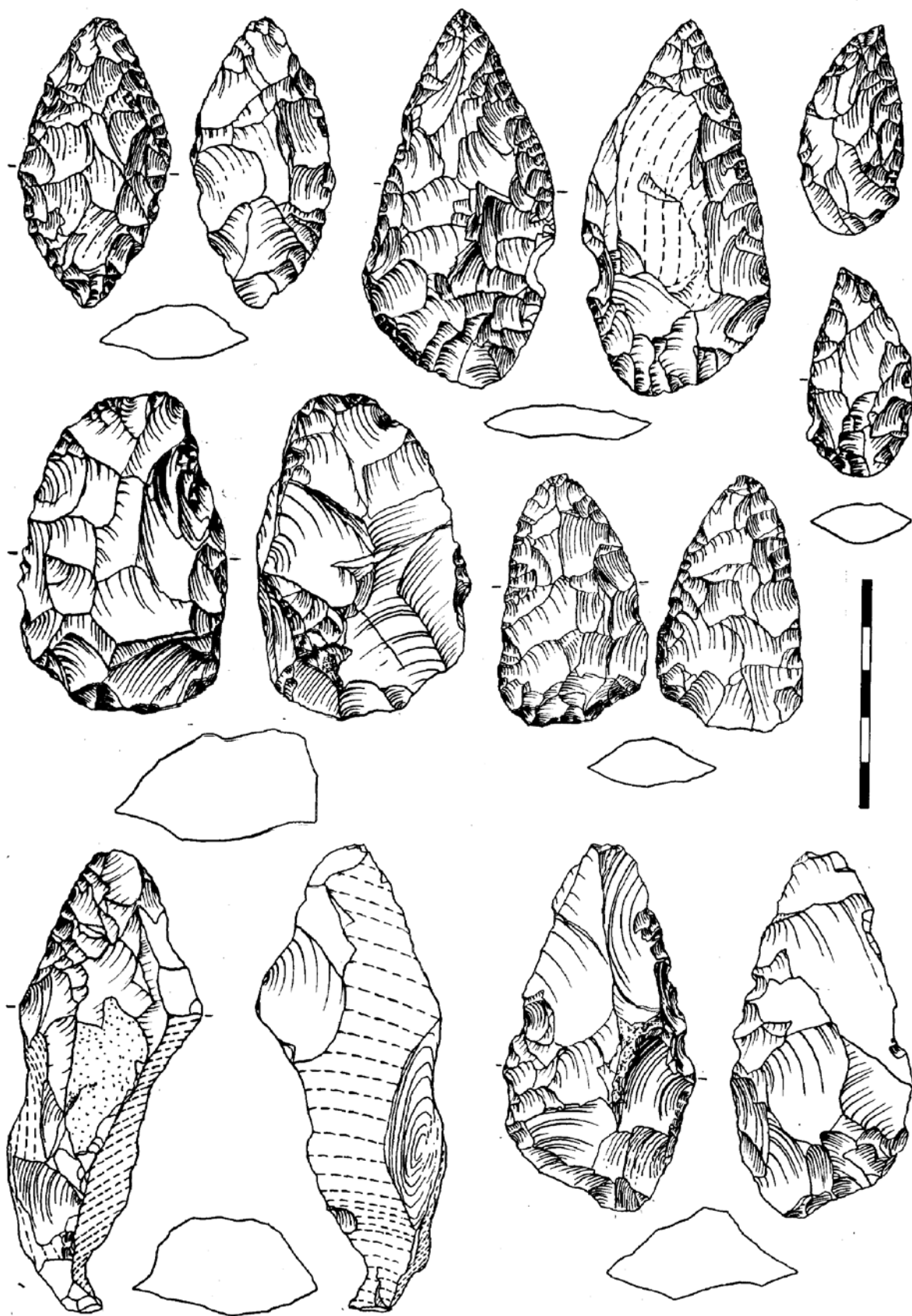


Obr. 63. Němčice (okr. Blansko). Křemenná industrie. 1 – diskoidní jádro; 2 – zlomek bifaciálního nástroje; 3 – strmě retušovaný blok křemene; 4–6 – odštěpy s vruby; 7 – úštěp s částečnou kůrou z Němčického potoka na soutoku s pravobřežním přítokem nedaleko obce Sloup.

Fig. 63. Němčice, Blansko area. Quartz artefacts. 1 – discoid core; 2 – fragment of bifacial tool; 3 – retouched block of quartz; 4–6 – flakes with notches; 7 – semicortical flake from the Němčice stream.



Obr. 64. Výběr micoquienských bifaciálních nástrojů.
Fig. 64. Selection of Micoquian bifacial tools.



Obr. 65. Výběr szeletienských bifaciálních nástrojů.
Fig. 65. Selection of Szeletian bifacial tools.